

# **Projekt drvenog krovišta obiteljske stambene zgrade s analizama postojeće konstrukcije i zamjenskih varijanti**

---

**Kocjan, Robert**

**Master's thesis / Diplomski rad**

**2020**

*Degree Grantor / Ustanova koja je dodijelila akademski / stručni stupanj:* **University of Rijeka, Faculty of Civil Engineering / Sveučilište u Rijeci, Građevinski fakultet**

*Permanent link / Trajna poveznica:* <https://urn.nsk.hr/urn:nbn:hr:157:476165>

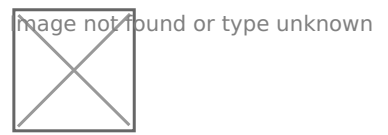
*Rights / Prava:* [In copyright/Zaštićeno autorskim pravom.](#)

*Download date / Datum preuzimanja:* **2025-03-21**



*Repository / Repozitorij:*

[Repository of the University of Rijeka, Faculty of Civil Engineering - FCERI Repository](#)



**SVEUČILIŠTE U RIJECI  
GRAĐEVINSKI FAKULTET**

**Robert Kocjan**

**Projekt drvenog krovišta obiteljske stambene zgrade s analizama  
postojeće konstrukcije i zamjenskih varijanti**

**Design of the Roof Structure of Family Dwelling House with the  
Analysis of Existing Timber Structure and Alternative Variants**

**Diplomski rad**

**Rijeka, veljača 2020.**

**SVEUČILIŠTE U RIJECI  
GRAĐEVINSKI FAKULTET**

**Diplomski sveučilišni studij građevinarstva  
Konstrukcije  
Drvene konstrukcije**

**Robert Kocijan**

**JMBAG: 0114026529**

**Projekt drvenog krovišta obiteljske stambene zgrade s analizama  
postojeće konstrukcije i zamjenskih varijanti**

**Design of the Roof Structure of Family Dwelling House with the  
Analysis of Existing Timber Structure and Alternative Variants**

**Diplomski rad**

**Rijeka, veljača 2020.**

Naziv studija: Sveučilišni diplomski studij Građevinarstvo

Znanstveno područje: Tehničke znanosti

Znanstveno polje: Građevinarstvo

Znanstvena grana: Nosive konstrukcije

Tema diplomskog rada

**PROJEKT DRVENOG KROVIŠTA OBITELJSKE STAMBENE ZGRADE S ANALIZAMA POSTOJEĆE  
KONSTRUKCIJE I ZAMJENSKIH VARIJANTI**

**DESIGN OF THE ROOF STRUCTURE OF FAMILY DWELLING HOUSE WITH THE ANALYSIS OF  
EXISTING TIMBER STRUCTURE AND ALTERNATIVE VARIANTS**

Kandidat: ROBERT KOCIJAN

Kolegij: DRVENE KONSTRUKCIJE

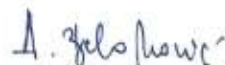
Diplomski rad broj: K-2019-34

**Zadatak:**

U diplomskom radu treba analizirati postojeću krovnu konstrukciju obiteljske stambene zgrade, predložiti i analizirati moguće varijante njene zamjene novim konstrukcijskim rješenjem. Za odabrani sustav treba razraditi tehničko rješenje uobičajeno u praksi projektiranja drvenih konstrukcija: dokazati uporabljivost, mehaničku otpornost i stabilnost drvene konstrukcije, proračunati karakteristične detalje, priložiti potrebne nacrte i iskaze količina materijala. Rad treba sadržavati Uvodni dio, poglavlja relevantna za temu rada i projektni zadatak, zaključak s prikazom rezultata provedene analize i preporuke koje iz njih proizlaze te popis literature.

Tema rada je uručena: 18. veljače 2019.

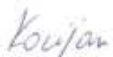
**Mentorica:**



izv. prof. dr. sc. Adriana Bjelanović,  
dipl. ing. građ.

## **IZJAVA**

Diplomski rad sam izradio samostalno, u suradnji s mentoricom i uz poštivanje pozitivnih građevinskih propisa i znanstvenih dostignuća iz područja građevinarstva. Građevinski fakultet u Rijeci je nositelj prava intelektualnog vlasništva u odnosu na ovaj rad.



Robert Kocjan

U Rijeci, 14. veljače 2020.

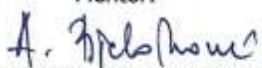
## **IZJAVA**

Diplomski rad izrađen je u sklopu znanstvenog projekta  
**Poboljšanje proračunskih modela za ocjenu stanja građevinskih konstrukcija**

Voditelj projekta Izv.prof.dr.sc. Ivana Štimac Grandić  
Šifra projekta uniri-technic-18-127  
Financijer projekta Sveučilište u Rijeci  
Pravna nadležnost Sveučilište u Rijeci

U Rijeci, 12. veljače 2020.

Mentor:

  
Izv.prof.dr.sc. Adriana Bjelanović



## **SAŽETAK**

U diplomskome radu je provedena analiza postojeće drvene krovne konstrukcije obiteljske stambene zgrade te vrednovana prikladnost mogućih varijanti njene zamjene novim konstrukcijskim rješenjima. Krovište natkriva potkrovље iznad prizemlja zgrade, koje se u postojećim okolnostima ne koristi, a treba ga prenamijeniti u stambeni prostor. Prenamjena ne predviđa bitne izmjene postojeće arhitekture i građevinske konstrukcije zgrade. Izmjene i dopune arhitektonskog rješenja pretpostavljaju promjenu pokrova i djelomičnu promjenu nagiba krovne plohe zbog zamjene postojeće južne fasade potkrovla novim i višim ostakljenim zidom potkrovla s pratećim nužnim promjenama građevinske konstrukcije. Rad je fokusiran na moguće izmjene i dopuna građevinskog projekta u dijelu u kojem se to odnosi samo na drveno krovište jer je nužna zamjena konstrukcije u kojoj je vidljivo propadanje materijala zbog neprikladnog pokrova i dugotrajne izloženosti vlazi. Predmet provedenih analiza su moguće izmjene statičkog sustava krovišta. Primjenjeni su postupci uobičajeni u praksi projektiranja drvenih konstrukcija te priloženi odgovarajući proračuni i nacrti. Prikladnost tehničkih rješenja je vrednovana prema kriterijima iskaza količina materijala i izvedivosti rekonstrukcije uzimajući u obzir i izvođenje priključaka.

Ključne riječi: drveno krovište, postojeća drvena konstrukcija, analize i ocjene izvedivosti zamjenskih varijanti krovišta, prijedlog tehničkog rješenja.

## **ABSTRACT**

In diploma thesis an analysis was conducted of the existing timber roof structure of the family residential building and evaluated the suitability of possible variants of its replacement with new structural solutions. The roof covers the attic above the ground floor of the building, which is not used in the present circumstances, and needs to be converted into a living space. The redevelopment does not foresee significant changes to the existing architecture and construction of the building. Changes and additions to the architectural solution presuppose a change of the roof and partial change of the roof surface slope due to the replacement of the existing southern facade of the attic with a new and higher glazed attic wall with the accompanying necessary changes of the building structure. The paper focuses on possible modifications and additions to construction project in so far it only concerns the timber roof, since it is necessary to replace the structure in which material deterioration is visible due to inadequate cover and long exposure to humidity. The subject of the analysis is the possible changes to the static roofing system. Procedures common in the design of timber structures have been applied and appropriate calculations and plans have been provided. The appropriateness of technical solutions have been evaluated according to the bill of materials and feasibility of reconstruction, taking into account the execution of joints.

Keywords: timber roof, existing timber structure, analysis and evaluation of feasibility assesment of replacement roofing variants, proposal of technical solutions.

# Sadržaj

|        |   |    |
|--------|---|----|
| 1.     | UVOD .....  | 1  |
| 2.     | TEHNIČKI PODATCI O POSTOJEĆOJ KONSTRUKCIJI .....                      | 1  |
| 2.1.   | Tehnički opis postojeće drvene konstrukcije krova .....               | 2  |
| 2.2.   | Ocjena stanja postojeće drvene konstrukcije krova.....                | 4  |
| 3.     | RAZMATRANA NOVA TEHNIČKIH RJEŠENJA KROVIŠTA .....                     | 6  |
| 3.1.   | Osnovne proračunske varijable – djelovanja i svojstva materijala..... | 8  |
| 4.     | ANALIZE PRORAČUNSKIH MODELA KE .....                                  | 9  |
| 4.1.   | Model 0 – postojeća krovna konstrukcija.....                          | 9  |
| 4.1.1. | Rezultati analize Modela 0.....                                       | 10 |
| 4.1.2. | Provjera graničnog stanja nosivosti GNK.....                          | 15 |
| 4.1.3. | Provjera graničnog stanja uporabljivosti GNK .....                    | 19 |
| 4.1.4. | Iskaz materijala.....   | 21 |
| 4.2.   | Model A .....   | 22 |
| 4.2.1. | Rezultati analize modela A .....                                      | 23 |
| 4.2.2. | Provjera graničnog stanja nosivosti GNK.....                          | 26 |
| 4.2.3. | Provjera graničnog stanja uporabljivosti GNK .....                    | 29 |
| 4.2.4. | Iskaz materijala.....   | 30 |
| 4.3.   | Model B1.....   | 31 |
| 4.3.1. | Rezultati analize modela B1 .....                                     | 32 |
| 4.3.2. | Provjera graničnog stanja nosivosti GNK.....                          | 35 |
| 4.3.3. | Provjera graničnog stanja uporabljivosti GNK .....                    | 36 |
| 4.3.4. | Iskaz materijala.....   | 37 |
| 4.4.   | Model B2.....   | 38 |
| 4.4.1. | Rezultati analize modela .....  | 39 |
| 4.4.2. | Provjera graničnog stanja nosivosti GNK.....                          | 42 |
| 4.4.3. | Provjera graničnog stanja uporabljivosti GNK .....                    | 43 |
| 4.4.4. | Iskaz materijala.....   | 44 |
| 4.5.   | Model C1.....   | 45 |
| 4.5.1. | Rezultati analize modela .....  | 46 |
| 4.5.2. | Provjera graničnog stanja nosivosti GNK.....                          | 48 |
| 4.5.3. | Provjera graničnog stanja uporabljivosti GNK .....                    | 51 |
| 4.5.4. | Iskaz materijala.....   | 51 |

|   |    |
|---|----|
| 4.6. Model C2.....  | 52 |
| 4.6.1. Rezultati analize modela .....   | 53 |
| 4.6.2. Provjera graničnog stanja nosivosti GNK.....                             | 55 |
| 4.6.3. Provjera graničnog stanja uporabljivosti GNK .....                       | 58 |
| 4.6.4. Iskaz materijala.....  | 59 |
| 5. REKAPITULACIJA – OCJENA PRIKLADNOSTI RAZMATRANIH TEHNIČKIH<br>RJEŠENJA ..... | 60 |
| 6. PRORAČUN SPOJEVA .....   | 62 |
| 6.1. Spoj rogova u sljemenu – spoj sa čeličnom trakom .....                     | 62 |
| 6.2. Spoj rogova i pajante – spoj s vijkom.....                                 | 64 |
| 6.3. Spoj rogova na AB gredu – spoj sa kutnicima.....                           | 65 |
| 7. ZAKLJUČAK.....   | 69 |
| 8. LITERATURA .....   | 70 |
| 9. PRILOZI .....  | 71 |

## **POPIS TABLICA:**

*Tablica 1: Pregledni prikaz modela dopunjen osnovnim karakteristikama*

*Tablica 2: Mehaničke karakteristike i gustoća materijala – cjelovito drvo C24*

*Tablica 3. Izmjerene i proračunske širine te visine presjeka i duljine konstrukcijskih elemenata za Model 0*

*Tablica 4: Prikaz maksimalnih reznih sila dobivenih KE analizom za Model 0*

*Tablica 5: Prikaz maksimalnih pomaka glavne nosive konstrukcije krovišta dobivenih KE analizom za Model 0*

*Tablica 6: Provjera otpornosti presjeka rogova na savijanje POZ 102-4*

*Tablica 7: Provjera otpornosti presjeka rogova na tlak II s vlknima POZ 103-5*

*Tablica 8: Provjera presjeka rogova na posmik POZ 102-2*

*Tablica 9: Proračun izvijanja rogova POZ 101-104*

*Tablica 10: Interakcija tlaka + izvijanja i savijanja rogova POZ 101-3*

*Tablica 11: Proračun izvijanja rogova POZ 102-103*

*Tablica 12: Interakcija tlaka + izvijanja i savijanja rogova POZ 102-2*

*Tablica 13: Proračun izvijanja pajante POZ P102*

*Tablica 14: Interakcija tlaka + izvijanja pajante POZ P102-2*

*Tablica 15: Proračun izvijanja stupa POZ S*

*Tablica 16: Interakcija tlaka + izvijanja stupa POZ S5*

*Tablica 17: Prikaz dozvoljenih progiba rogova POZ 101-104*

*Tablica 18: Provjera GSU početnih i konačnih progiba rogova POZ 101-3*

*Tablica 19: Prikaz dozvoljenih progiba rogova POZ 102-103*

*Tablica 20: Provjera GSU početnih i konačnih rogova POZ 102-2*

*Tablica 21: Iskaz materijala za Model 0*

*Tablica 22. Proračunske širine te visine presjeka i duljine konstrukcijskih elemenata za Model A*

*Tablica 23: Prikaz maksimalnih reznih sila dobivenih KE analizom za Model A*

*Tablica 24: Prikaz maksimalnih pomaka glavne nosive konstrukcije krovišta dobivenih KE analizom za Model A*

*Tablica 25: Proračun izvijanja rogova POZ 102-103*

*Tablica 26: Interakcija tlaka + izvijanja i savijanja rogova POZ 102-2*

*Tablica 27: Proračun izvijanja pajante POZ P102*

*Tablica 28: Interakcija tlaka + izvijanja pajante POZ P102-6*

*Tablica 29: Proračun izvijanja stupa POZ S*

*Tablica 30: Interakcija tlaka + izvijanja stupa POZ S4*

*Tablica 31: Prikaz dozvoljenih progiba rogova POZ 102-103*

*Tablica 32: Provjera GSU početnih i konačnih progiba rogova POZ 102-3*

*Tablica 33: Iskaz materijala za Model A*

*Tablica 34: Proračunske širine te visine presjeka i duljine konstrukcijskih elemenata za Model B1*

*Tablica 35: Prikaz maksimalnih reznih sila dobivenih KE analizom za model B1*

*Tablica 36: Prikaz maksimalnih pomaka glavne nosive konstrukcije krovišta dobivenih KE analizom za Model B1*

*Tablica 37: Proračun izvijanja rogova POZ 102-103*

*Tablica 38: Interakcija tlaka + izvijanja i savijanja rogova POZ 102-2*

*Tablica 39: Prikaz dozvoljenih progiba rogova POZ 102-103*

*Tablica 40: Provjera GSU početnih i konačnih progiba rogova POZ 102-3*

*Tablica 41: Iskaz materijala za model B1*

*Tablica 42: Proračunske širine te visine presjeka i duljine konstrukcijskih elemenata za Model B2*

*Tablica 43: Prikaz maksimalnih reznih sila dobivenih KE analizom za model B2*

*Tablica 44: Prikaz maksimalnih pomaka glavne nosive konstrukcije krovišta dobivenih KE analizom za Model B2*

*Tablica 45: Proračun izvijanja rogova POZ 102-103*

*Tablica 46: Interakcija tlaka + izvijanja i savijanja rogova POZ 102-3*

*Tablica 47: Prikaz dozvoljenih progiba rogova POZ 102-103*

*Tablica 48: Provjera GSU početnih i konačnih progiba rogova POZ 102-2*

*Tablica 49: Iskaz materijala za model B2*

*Tablica 50. Proračunske širine te visine presjeka i duljine konstrukcijskih elemenata za Model C1*

*Tablica 51: Prikaz maksimalnih reznih sila dobivenih KE analizom za Model C1*

*Tablica 52: Prikaz maksimalnih pomaka glavne nosive konstrukcije krovišta dobivenih KE analizom za Model C1*

*Tablica 53: Provjera presjeka rogova na posmik POZ 102-6*

*Tablica 54: Proračun izvijanja rogova POZ 102-103*

*Tablica 55: Interakcija tlaka + izvijanja i savijanja rogova POZ 102-3*

*Tablica 56: Proračun izvijanja pajante POZ P102*

*Tablica 57: Interakcija tlaka + izvijanja pajante POZ P102-6*

*Tablica 58: Prikaz dozvoljenih progiba rogova POZ 102-103*

*Tablica 59: Provjera GSU početnih i konačnih POZ 102-2*

*Tablica 60: Iskaz materijala za model C1*

*Tablica 61: Proračunske širine te visine presjeka i duljine konstrukcijskih elemenata za Model C2*

*Tablica 62: Prikaz maksimalnih reznih sila dobivenih KE analizom za Model C2*

*Tablica 63: Prikaz maksimalnih pomaka glavne nosive konstrukcije krovišta dobivenih KE analizom za Model C2*

*Tablica 64: Provjera presjeka na posmik rogova POZ 102-6*

*Tablica 65: Proračun izvijanja rogova POZ 102-103*

*Tablica 66: Interakcija tlaka + izvijanja i savijanja rogova POZ 102-1*

*Tablica 67: Proračun izvijanja pajante POZ P102*

*Tablica 68: Interakcija tlaka + izvijanja pajante POZ P102-4*

*Tablica 69: Prikaz dozvoljenih progiba rogova POZ 102-103*

*Tablica 70: Provjera GSU početnih i konačnih progiba rogova POZ 102-2*

*Tablica 71: Iskaz materijala za model C2*

*Tablica 72: Rezultati analize modela i ocjena prikladnosti sustava*

*Tablica 73: Komentar prikladnosti sustava i preporuke izbora*

*Tablica 74: Mjerodavne proračunske sile u provjerama nosivosti spoja*

*Tablica 75: Vrsta spojnih sredstava u spoju GNK u sljemenu*

*Tablica 76: Prijenos tlačne sile preko kosog sudara*

*Tablica 77: Mjerodavna proračunska sila u provjerama nosivosti spoja*

*Tablica 78: Vrsta spojnog sredstva u spoju rogova i pajante*

*Tablica 79: Provjera otpornosti spajala na bočno opterećenje*

*Tablica 80: Mjerodavne sile u provjerama nosivosti spoja,*

*Tablica 81: Provjera nalijeganja rogova na nazidnicu*

*Tablica 82: Vrsta spojnih sredstava u spoju rogova i nazidnice – spoj sa kutnikom*

*Tablica 83: Provjera otpornosti spajala na bočno opterećenje – spoj kutnika sa rogovima*

*Tablica 84: Provjera otpornosti sidra na bočno opterećenje – spoj kutnika sa nazidnicom i AB gredom*

*Tablica 85: Minimalni razmaci čavala LBA u rogovima bez predbušenja za kut sile  $\alpha=0^\circ$  (iz kataloga LBA high bond nail; Rothoblass)*

*Tablica 86: Proračun koeficijenta oblika opterećenja snijegom*

*Tablica 87: Prikaz karakterističnog opterećenja snijegom,  $s_k$*

*Tablica 88: Vrijednosti koeficijenata vanjskog tlaka za dvostrešne krovove (smjer vjetra  $\theta=0^\circ$ )*

*Tablica 89: Vrijednosti koeficijenata vanjskog tlaka za dvostrešne krovove (smjer vjetra  $\theta=90^\circ$ )*

*Tablica 90: Površine vjetrovnih zona*

- Tablica 91: Koeficijenti vanjskog tlaka  $C_{pe}$  za površine vjetronih zona između 1 m<sup>2</sup> i 10 m<sup>2</sup>*
- Tablica 92: Rezultantni pritisak vjetra na krov ( $\theta=0^\circ$ ;  $\alpha=40^\circ$ )*
- Tablica 93: Rezultantni pritisak vjetra na krov ( $\theta=0^\circ$ ;  $\alpha=33^\circ$ )*
- Tablica 94: Rezultantni pritisak vjetra na krov ( $\theta=90^\circ$ ;  $\alpha=33^\circ$  i  $40^\circ$ )*
- Tablica 95: Popis kombinacija opterećenja provedenih za sve varijante konstrukcija*
- Tablica 96: Karakteristike i opis statičkog sustava OSB/3 ploča*
- Tablica 97: Osnovna kombinacija za stalne/prolazne situacije (GSN)*
- Tablica 98: Nazovistalna proračunska kombinacija – početna deformiranja (GSU)*
- Tablica 99: Nazovistalna proračunska kombinacija – konačna deformiranja (GSU)*
- Tablica 100: Provjera otpornosti na savijanje OSB/3 ploča*
- Tablica 101: Provjera otpornosti na posmik OSB/3 ploča*
- Tablica 102: Prikaz dozvoljenih progiba OSB/3 ploča*
- Tablica 103: Provjera GSU početnih i konačnih OSB/3 ploča*
- Tablica 104: Čvrstoće betona C20/25 i armature B500B*
- Tablica 105: Zaštitni sloj betona*
- Tablica 106: Dimenzije poprečnog presjeka grede i stupa*
- Tablica 107: Dimenzioniranje betonskog presjeka grede*
- Tablica 108: Dimenzioniranje betonskog presjeka grede na poprečne sile*
- Tablica 109: Proračun vitkosti stupa*
- Tablica 110: Dimenzioniranje armiranobetonskog stupa*

## **POPIS SLIKA:**

Slika 1: Pokrov bitumenskom ljepenkom na daščanoj oplati – prikaz zapadne strane krova i pročelja zgrade

Slika 2: Spoj pajante i vertikalne kladice

Slika 3: Primarni i sekundarni nosivi sustav

Slika 4: Ispucala drvena građa od utjecaja vlage i stanje daščane oplate (trula oplata krovišta i zahvaćene grede glavne konstrukcije s dubokim površinskim raspuklinama)

Slika 4a: Tragovi modrine zbog vlage

Slika 4b: Površinske pukotine od skupljanja

Slika 4c: Modrina na daščanoj oplati i raspucalost

Slika 4d: Trulež rogova

Slika 5.a i 5.b: Trula konstrukcija drvenog veznog sustava iznad masivnog nadozida na zapadnom pročelju

Slika 6: Konstrukcijsko oštećenje zbog stepenastog zasijecanja kombinirano s utjecajem vlage (spoj na sljemenu)

Slika 7: Primjeri korišteni za modele A, B1/2 i C1

Slika 8: Primjer korišten u modelu C2

Slika 7: Primjer polaganja OSB/3 ploča korišten za modele 0, A, B1/2 i C1

Slika 8: Primjer polaganja OSB/3 ploča korišten u modelu C2

Slika 9: Prikaz modela početnog stanja (Model 0)

Slika 9.a: Prikaz modela orijentiran J-S

Slika 9.b: Tlocrtni prikaz modela

Slike 9.c: Vizualizacija modela

Slika 10: Prikaz najvećeg momenta savijanja POZ 102-4

Slika 11: Prikaz najveće tlačne sile POZ 103-5

Slika 12: Prikaz najveće poprečne sile POZ 102-2

Slika 13 : Prikaz maksimalnog tlaka + izvijanja i savijanja POZ 102-2

Slika 14 : Prikaz maksimalnog tlaka + izvijanja i savijanja POZ 101-3

Slika 15: Prikaz najveće tlačne sile u pajanti POZ P102-2

Slika 16: Prikaz najveće tlačne sile u stupovima/kosnicima POZ S5

Slika 17: Prikaz najvećeg početnog pomaka POZ 101-3

Slika 18: Prikaz najvećeg početnog pomaka POZ 102-2

Slika 19: Prikaz najvećeg konačnog pomaka POZ 101-3

Slika 20: Prikaz najvećeg konačnog pomaka POZ 102-2

Slika 21: Prikaz modela A

Slika 21.a. Prikaz modela orijentiran J-S

Slika 21.b. Tlocrtni prikaz modela

Slika 21.c. Vizualizacija modela

Slika 22: Prikaz najvećeg momenta savijanja POZ 102-5

Slika 23: Prikaz najveće tlačne sile POZ 103-2

Slika 24: Prikaz najveće poprečne sile POZ 102-6

Slika 25 : Prikaz maksimalnog tlaka + izvijanja i savijanja POZ 102-2

Slika 26: Prikaz najveće tlačne sile u pajanti POZ P102-6

Slika 27: Prikaz najveće tlačne sile u stupovima/kosnicima POZ S4

Slika 28: Prikaz najvećeg početnog pomaka POZ 102-3

Slika 29: Prikaz najvećeg konačnog pomaka POZ 102-2

Slika 26: prikaz Modela B1

Slika 26.a: Prikaz modela orijentiran J-S

Slika 26.b: Tlocrtni prikaz modela

Slika 26c: Vizualizacija modela

Slika 27: Prikaz najvećeg momenta savijanja POZ 102-4

Slika 28: Prikaz najveće tlačne sile POZ 103-2

Slika 29: Prikaz najveće poprečne sile POZ 102-6

Slika 30: Prikaz maksimalnog tlaka + izvijanja i savijanja POZ 102-2

Slika 31: Prikaz najveće tlačne sile u pajanti POZ P102-6

Slika 32: Prikaz najveće tlačne sile u kosniku POZ K1-102

Slika 33: Prikaz najvećeg početnog pomaka POZ 102-3

Slika 34: Prikaz najvećeg konačnog pomaka POZ 102-3

Slika 35: Prikaz modela B2

Slika 35.a: Prikaz modela orijentiran J-S

Slika 35.b: Tlocrtni prikaz modela

Slika 35.c: Vizualizacija modela

Slika 36: Prikaz najvećeg momenta savijanja POZ 102-5

Slika 37: Prikaz najveće tlačne sile POZ 103-3

Slika 38: Prikaz najveće poprečne sile POZ 103-4

Slika 39: Prikaz maksimalnog tlaka + izvijanja i savijanja POZ 102-3

Slika 40: Prikaz najveće tlačne sile u pajanti POZ P102-6

Slika 41: Prikaz najveće tlačne sile u kosnicima POZ K1-102-3

Slika 42: Prikaz najvećeg početnog pomaka POZ 102-2

Slika 43: prikaz najvećeg konačnog pomaka POZ 102-2

Slika 44: Prikaz modela C1

Slika 44.a: Prikaz modela orijentiran J-S

Slika 44.b: Tlocrtni prikaz modela

Slika 44.c: Vizualizacija modela

Slika 45: Prikaz najvećeg momenta savijanja POZ 102-4

Slika 46: Prikaz najveće tlačne sile POZ 102-6

Slika 47: Prikaz najveće poprečne sile POZ 102-6

Slika 48 : Prikaz maksimalnog tlaka + izvijanja i savijanja POZ 102-3

Slika 49: Prikaz najveće tlačne sile u pajanti POZ P102-6

Slika 50: Prikaz najvećeg početnog pomaka POZ 102-2

Slika 51: Prikaz najvećeg konačnog pomaka POZ 102-2

Slika 52: Prikaz modela C2

Slika 52.a:Prikaz modela orijentiran J-S

Slika 52.b: Tlocrtni prikaz modela

Slika 52.c: Vizualizacija modela

Slika 53: Prikaz najvećeg momenta savijanja POZ 102-2

Slika 54: Prikaz najveće tlačne sile POZ 102-4

Slika 55: Prikaz najveće poprečne sile POZ 102-4

Slika 56: Prikaz maksimalnog tlaka + izvijanja i savijanja POZ 102-1

Slika 57: Prikaz najveće tlačne sile u pajanti POZ P102-4

Slika 58: Prikaz najvećeg početnog pomaka POZ 102-2

Slika 59: Prikaz najvećeg konačnog pomaka POZ 102-2

Slika 60: Karakteristike LBA čavala (iz kataloga LBA high bond nail; Rothoblass)

Slika 61: Prikaz razmaka rupa LBB čelične trake (iz kataloga LBB Perforated tape;

Rothoblass)

Slika 62: Karakteristike KOS vijka (iz kataloga KOS-KOT Hexagonal/round head bolt; Rothoblass)

Slika 63: Prikaz WBO90 kutnika (iz kataloga WVB: WBO 70-90-100 Standard angle brackets without reinforcement; Rothoblass)

Slika 64: Karakteristike sidra AB12145 (iz kataloga AB7 Heavy-duty expansion anchor CE7; Rothoblass)

Slika 65: Karta snježnih područja RH (HRN EN 1991-1-3:2012/NA:2016)

Slika 66: Koeficijenti oblika opterećenja snijegom za dvostrešne krovove

Slika 67: Osnovna brzina vjetra  $v_{b,0}$  (HRN EN 1991-1-4:2012/NA:2016)

Slika 70: Prikaz vjetrovnih zona za smjer vjetra  $\theta = 0^\circ$  iz EN 1991-1-4:2012/NA:2012  
(HRN EN 1991-1-4:2012/NA:2016)

Slika 68: Prikaz vjetrovnih zona krovišta za smjer vjetra  $\theta = 0^\circ$

Slika 69: Prikaz vjetrovnih zona za smjer vjetra  $\theta = 90^\circ$  iz EN 1991-1-4:2012/NA:2012  
(HRN EN 1991-1-4:2012/NA:2016)

Slika 70: Prikaz vjetrovnih zona krovišta za smjer vjetra  $\theta = 90^\circ$

## **1. UVOD**

U postojećem stanju, potkrovле iznad etaže prizemlja obiteljske kuće je neiskorišten, negrijan i neprikladno natkriven prostor koji ne udovoljava zahtjevima svrhe radi koje je izgrađeno kao stambeni prostor. Projektnim zadatkom je predviđeno da se potkrovle stavi u funkciju, opseg intervencija u postojeće arhitektonsko rješenje s pratećim izmjenama i dopunama građevinskog projekta svede na minimum, a drveni elementi postojeće konstrukcije krovišta iskoriste u izvedivoj mjeri.

Izmjene i dopune postojećih tehničkih rješenja uključuju zamjenu pokrova i djelomičnu promjenu nagiba krovne plohe koja je rezultat zamjene postojeće južne fasade potkrovla novim i višim ostakljenim zidom.

U fokusu diplomskoga rada je ocjena prikladnosti mogućih varijanti zamjene postojeće drvene konstrukcije krova novim konstrukcijskim rješenjima. Izmjene geometrije krovišta koje su posljedica promjene poprečnog nagiba na dijelu južne strehe u manjoj mjeri utječu na potrebu zamjene postojećeg krovišta novim. Primarni razlog potrebe za rekonstrukcijom su vidljivo propadanje materijala zbog neprikladnog postojećeg načina pokrivanja koje je prouzročilo dugotrajno izlaganje nosive drvene konstrukcije vlazi (od padalina odozgo i prodora vlage iz uzdužnoga fasadnog ziđa u području oslonaca rogova).

Analizirane varijante zamjene drvenog krovišta uključuju prilagodbu postojećeg nosivog sustava novom rasteru rogova i novom pokrovu te moguće izmjene (pojednostavljenja) statičkog sustava krovne konstrukcije. Primijenjeni su svi postupci koji su uobičajeni u praksi projektiranja drvenih konstrukcija (modeliranje, statičke analize modela, proračuni graničnih stanja – provjere uporabljivosti te mehaničke otpornosti i stabilnosti elemenata i sustava te spojeva) i priloženi odgovarajući proračuni i nacrti. Prikladnost tehničkih rješenja je vrednovana prema kriterijima iskaza količina materijala i izvedivosti adaptacije uzimajući u obzir i izvođenje priključaka.

## **2. TEHNIČKI PODATCI O POSTOJEĆOJ KONSTRUKCIJI**

Lokacija obiteljske stambene zgrade s potkrovljem je Strahoninec (Međimurska županija). Zgrada vanjskih gabarita  $14,60 \times 13,37$  m je zidanica, s potkrovljem iznad etaže prizemlja. Stropna konstrukcija prizemlja je armiranobetonska ploča debljine 20 cm oslonjena na armiranobetonske serklaže u vanjskim zidovima i armiranobetonske grede iznad unutrašnjih zidova poprečnog i uzdužnog smjera (u svakom smjeru je jedan unutrašnji nosivi zid). U vanjskim uglovima zidova prizemlja i prvoga kata te na uzdužnim osnim rasterima od otprilike 5,0 m izvedeni su vertikalni armiranobetonski serklaži dimenzija  $30 \times 30$  cm. Horizontalni serklaži zidova su dimenzija  $30 \times 30$  cm. Zabati masivni, izvedeni u opeci i s armiranobetonskim serklažima. Masivna konstrukcija obiteljske zgrade nije predmet ovoga proračuna niti bilo kakve adaptacije. Osnovni geometrijski podatci i dispozicijski raspored konstrukcijskih elemenata vidljiv je iz priloženih nacrti (Prilog 5).

Potkrovje je izvedeno iznad masivne stropne konstrukcije prizemlja zgrade, s drvenom konstrukcijom krovišta koja zahtijeva adaptaciju i predmet je proračuna.

## 2.1. Tehnički opis postojeće drvene konstrukcije krova

Postojeća krovna konstrukcija je dvostrano drveno krovište kombiniranog sustava na nosivim nadozidima. Karakteristični tlocrtni prikazi s oznakama pozicija i položaja karakterističnih presjeka su dostupni u Prilogu 5 (Nacrti 1 i 2). Nagibi krovne konstrukcije su dijelom nesimetrični –  $33^{\circ}$  na istočnoj strehi, a  $40^{\circ}$  i  $33^{\circ}$  na zapadnoj (Slika 1). Na zapadnoj strani su rogovi strmijeg nagiba (ostakljeni dio fasade) oslonjeni na drveni okvir iznad armiranobetonske kontra-grede ukupne visine 78 cm (gornja kota masivnog nadozida je 48 cm izdignuta iznad stropne ploče), a duljina im varira između poprečnih presjeka 1-1 i 3-3 (Nacrt 2, Prilog 5). Podložna greda drvenog okvira ( $b/h = 14/16$  cm) nalazi se iznad nazidnice, sidrena je u masivni nadozid, stupovi ( $14/14$  cm) pozicionirani između ostakljenja, a gornja greda okvira (donja podrožnica rogova) je dimenzija  $14/16$  cm. Rogovi istočne plohe krova blažeg nagiba ( $33^{\circ}$ ) su oslonjeni na masivnu strehu – vanjsku istaku armiranobetonske stropne ploče. Na toj je strani zgrade izvedena nenatkrivena terasa trokutastog tlocrta pa se duljina rogova smanjuje od poprečnog presjeka 1-1 do 3-3 ( Nacrt 2, Prilog 5) . Rogovi istočne strane su kraći od onih na zapadnoj strani krova čija duljina također varira između presjeka 1-1 i 3-3. Preko drvene donje podrožnice ( $14/16$  cm) su oslonjeni na armiranobetonskih horizontalni serklaž iznad nosivog zida. Krajnji parovi rogova presjeka  $140/180$  cm su pozicionirani uz zabatne zidove potkrovlja. Raster rogova u svim poprečnim presjecima varira između 80 cm i 97 cm.

Na dijelu tlocrne površine potkrovlja izведен je središnji uzdužni nosivi zid s armiranobetonским serklažima presjeka  $30/40$  cm (Nacrt 2, Prilog 5) te poprečni nosivi zid čija je gornja visinska kota ispod uzdužnog serklaža sa (Nacrt 2, Prilog 5).



Slika 1: Pokrov bitumenskom ljepenkom na daščanoj oplati – prikaz zapadne strane krova i pročelja zgrade

Postojeći konstrukcijski sustav krovišta je kombiniran: ispod uzdužnog unutrašnjeg serklaža je pozicionirana pajanta presjeka  $2 \times 8 / 16$  cm i osnih duljina 6,82 m i 7,28 m koje povezuje rogove svakoga para. Pajanta je razmaknuto sastavljeni tlačni element s lokalnim bočnim ukrućenjima dijelova dvostrukog presjeka. Lokalna bočna ukrućenja dijelova dvostrukog presjeka pajante su rogovi (na krajevima) te na krajevima pajante su rogovi, a u središnjem dijelu su to vertikalne kladice (presjek  $14/20$  cm) koje istovremeno omogućavaju posredni priključak kosnika (presjek  $14/18$  cm) na pajantu i sidrenje u uzdužni serklaž (Slika 2). Te su vertikalne kladice smještene uz bočne stranice uzdužnoga serklaža pa je priključak

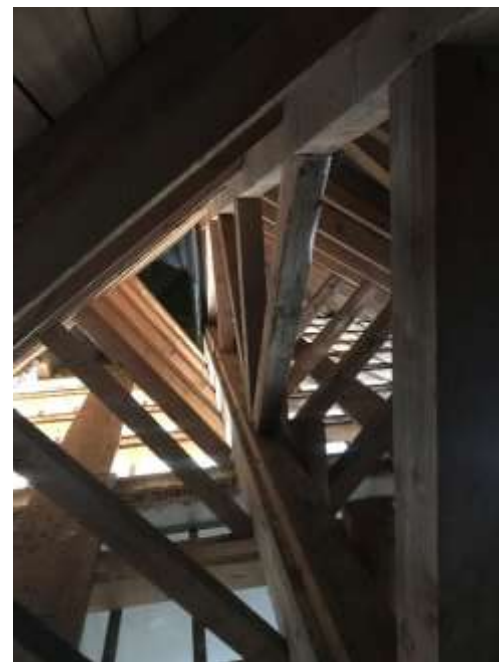
kosnika ekscentričan. Rogovi su u sljemenu povezani na kosi sudar i „zubom“ oslonjeni zubom na gornju podrožnicu (sljemenjača  $b/h = 14/18$  cm) po cijeloj duljini krovišta. Navedeni konstrukcijski elementi zajedno s rogovima formiraju sekundarni nosivi sustav krovišta.

Primarni nosivi sustav sadrži i dodatne konstrukcijske elemente – vertikalne stupove ( $b/b = 14/18$  cm) koji na rasterima od cca 2,5 m podupiru sljemenjaču, a oslonjeni su na daščani prag sidren u uzdužni serklaž.

U uzdužnom smjeru masivni središnji zid osigurava stabilnost u donjoj razini krova (oslonac je i pajantama). U gornjoj razini stabilnost osigurava “mekani uzdužni zid”: sustav sljemenjača – vertikalni stupovi s kosnicima na svakom drugom stupu (Nacrt 1, Prilog 5). Elementi i konstrukcijski sustav te priključci su vidljivi i na Slici 3.



Slika 2: Spoj pajante i vertikalne kladice



Slika 3: Primarni i sekundarni nosivi sustav

Ovakav sustav je karakterističan za dva poprečna presjeka krovišta (1-1 i 2-2) s duljinama rogov 9,01 m i 7,40 m na zapadnoj strani, dok duljina rogov na istočnoj strani varira od cca 8,95 m do 4,82 m.

U poprečnom presjeku 3-3, duljina rogov na istočnoj strani varira između 4,20 i 1,44 m te su zato slobodno oslonjeni na sljemenjaču i vanjski armiranobetonski serklaž. Konstrukcijski sustav u tom presjeku zato je drugačiji od sustava u presjecima 1-1 i 2-2 jer pajanta povezuje samo robove zapadne strehe, a na drugom je kraju pričvršćena na uzdužni unutrašnji serklaž. Stabilnost krova u uzdužnom smjeru, a poprečnom smjeru samo na zapadnoj strani, ostvarena je kao u presjecima 1-1 i 2-2.

## 2.2. Ocjena stanja postojeće drvene konstrukcije krova

Potkrovilo nije nikada bilo u uporabi; prvotni pokrov je odstranjen, a iznad postojeće daščane oplate izvedeno provizorno natkrivanje bitumenskom šindrom (ljepenka). Posljedice dugotrajnog vlaženja zato su vidljive i na cijeloj postojećoj konstrukciji krovišta koja zahtjeva zamjenu (Slike 4). Mjestimice su prisutna i oštećenja koje su prouzročili kombinirani utjecaji vlage i nepravilnog izvođenja spojeva stepenastim zasijecanjem (Slika 6).



Slika 4.a: Tragovi modrine zbog vlage



Slika 4.b: Površinske pukotine od skupljanja



Slika 4.c: Modrina na daščanoj oplati i raspucalost



Slika 4.d: Trulež rogova

Slika 4: Ispucala drvena građa od utjecaja vlage i stanje daščane oplate (trula oplata krovišta i zahvaćene grede glavne konstrukcije s dubokim površinskim raspuklinama)



Slika 5.a i 5.b: Trula konstrukcija drvenog veznog sustava iznad masivnog nadozida na zapadnom pročelju



Slika 6: Konstrukcijsko oštećenje zbog stepenastog zasijecanja kombinirano s utjecajem vlage (spoj na sljemenu)

Od cijelokupne građe krovišta u budućoj sanaciji (zamjeni) konstrukcije mogu se iskoristiti elementi pajante koji nisu pretrpili nikakva vidljiva oštećenja od utjecaja vlage.

### 3. RAZMATRANA NOVA TEHNIČKIH RJEŠENJA KROVIŠTA

Intervencije u zamjenu postojeće krovne konstrukcije dijelom su povezane i sa oživljavanjem stambene funkcije potkrovlja. Planirano je izvesti promjene nagiba na zapadnoj strani krovišta tj. postojeće nesimetrične nagibe zamijeniti jedinstvenim nagibom od  $33^\circ$ , a postojeću „mekanu“ ostakljenu stijenu zamijeniti masivnim armiranobetonskim okvirom. Nadalje, svi prijedlozi zamjene postojeće konstrukcije krovišta se zasnivaju na primjeni novog limenog pokrova, uklanjuju postojeće daščane oplate i zamjenu trule oplate OSB3 pločama (vodootporne, nosive) i prilagodbi rastera rogova na 1,25 m. OSB ploče su i u funkciji krovne dijafragme (pločasta ukrute) s dodatkom čeličnih stabilizacijskih (čavlanih) traka. Razmatrane su 3 osnovne zamjenske varijante (Modeli A – C) od kojih Modeli B i C imaju po dvije varijante. U Tablici 1.

Tablica 1: Pregledni prikaz modela dopunjeno osnovnim karakteristikama

| Model    | Prikaz poprečnog presjeka   | Statički sustav krovišta na nadozidu  | Raster rogova  | Nagibi rogova   | Uzdužna stabilizacija  |
|----------|---|---|----------------|---|--|
| Model 0  |  | Kombinirani sustav –pajantno krovište na nadozidu (donja razina) i podroženičko (gornja razina) s kosim potporama rogova POZ K1     | cca 80 - 97 cm | $\alpha_1 = 33^\circ$<br>$\alpha_{2,1} = 33^\circ$<br>$\alpha_{2,2} = 40^\circ$ | Sustav sljemenjače i vertikalnih stupova s kosnicima (POZ S, POZ VS, POZ K2) |
| Model A  |  |   |                |   |  |
| Model B1 |  | Pajantno krovište na nadozidu s kosim potporama rogova (POZ K1*).<br><sup>1)</sup> u Modelu B2 su kosnici iznad arm. betonske grede | 125 cm         | $\alpha_1 = 33^\circ$<br>$\alpha_2 = 33^\circ$                                  | Čelične trake / OSB krovna dijafragma  |
| Model B2 |  |   |                |   |  |
| Model C1 |  | Pajantno krovište na nadozidu   | 238 cm         |   | Čelične trake i podrožnice (rešetkasti spreg)                                |
| Model C2 |  | Pajantno krovište na nadozidu s podrožnicama (oslonci OSB ploča)  |                |   |  |

Legenda:

|  |   |
|--|---|
| $\alpha_1$ – nagib istočne krovne plohe  | $\alpha_2$ – nagib zapadne krovne plohe |
| POZ 101* i POZ 104*: parovi rogovog nagiba $\alpha_1 = 33^\circ$ i $\alpha_2 = 40^\circ$ |   |
| POZ 102* i POZ 103*: parovi rogovog nagiba $\alpha_1 = 33^\circ$ i $\alpha_2 = 33^\circ$ |   |
| POZ S: sljemenjača   | POZ P*: pajanta                         |
| POZ K1*: kosnici u poprečnom smjeru  | POZ K2: kosnici u uzdužnom smjeru       |
| POZ VS: stupovi  | POZ 105: podrožnice (Model C2)          |

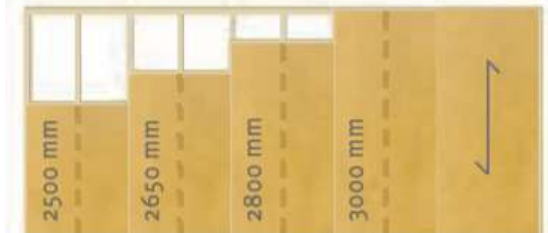
Napomena: Pozicije s različitim duljinama imaju oznaku\*.

Prikazi oblaganja OSB pločama u modelima: a) na robove (modeli 0, A, B1, B2 i C1) (Slika 7) b) na podrožnice (model C2 s većim rasterom rogovog) (Slika 8).



horizontalna montaža

Slika 7: Primjer polaganja OSB/3 ploča korišten za modele 0, A, B1/2 i C1



vertikalna montaža

Slika 8: Primjer polaganja OSB/3 ploča korišten u modelu C2

Prikazani su svi razmatrani modeli, zajedno s modelom postojećeg krovišta (Model 0). Zbog oštećenja prouzročenih vlagom, u modelu se pretpostavljene smanjene širine presjeka konstrukcijskih elemenata.

U modelu A zadržan je postojeći statički sustav, ali prilagođen novom nagibu na zapadnoj strani krova i rasteru rogovog. Prikazi razmatranih modela su u Tablici 1 dopunjeni i kratkim opisima te bitnim tehničkim podacima.

Za razmatrane varijante su priređeni KE modeli u Staad.pro programskom paketu, provedene provjere graničnih stanja i prikazane količine utrošene drvene građe.

### 3.1. Osnovne proračunske varijable – djelovanja i svojstva materijala

U proračunu je za postojeće tehničko rješenje i sve prijedloge novih primjenjena drvena građa prosječne kvalitete – konstrukcijsko drvo razreda čvrstoće C24 (HRN EN 338:2016) [5].

Tablica 2: Mehaničke karakteristike i gustoća materijala – cjelovito drvo C24

| Konstrukcijsko drvo C24                               |                     |                   |                   |
|---|---------------------|-------------------|-------------------|
| Razred čvrstoće                                       | C24                 | Razred uporabe    | 1                 |
| Karakteristična gustoća                               |                     |                   | kratko            |
| $\rho_k$  | 350                 | kg/m <sup>3</sup> |                   |
| Karakteristični modul elastičnosti                    | E <sub>0,05</sub>   | 7400              | N/mm <sup>2</sup> |
| Srednji modul posmika                                 | G <sub>mean</sub>   | 690               | N/mm <sup>2</sup> |
| Karakteristične čvrstoće                              |                     |                   |                   |
| Karakteristična čvrstoća na savijanje                 | f <sub>m,0,k</sub>  | 24                | N/mm <sup>2</sup> |
| Karakteristična čvrstoća na tlak paralelno s vlaknima | f <sub>c,0,k</sub>  | 21                | N/mm <sup>2</sup> |
| Karakteristična čvrstoća na tlak okomito na vlakna    | f <sub>c,90,k</sub> | 2,5               | N/mm <sup>2</sup> |
| Karakteristična posmična čvrstoća                     | f <sub>v,k</sub>    | 4                 | N/mm <sup>2</sup> |
| Koefficijenti potrebni za proračun                    |                     |                   |                   |
| Faktor izmjene čvrstoće                               | k <sub>mod</sub>    | 0,9               |                   |
| Faktor utjecaja pukotina                              | k <sub>cr</sub>     | 0,67              |                   |
| Faktor oblika presjeka                                | k <sub>m</sub>      | 0,7               |                   |
| Faktor visine presjeka                                | k <sub>h</sub>      | 1                 |                   |
| Faktor početnog deformiranja                          | $\beta_c$           | 0,2               |                   |
| Faktor sigurnosti za materijal                        | $\gamma_M$          | 1,3               |                   |
| Faktor deformiranja                                   | k <sub>def</sub>    | 0,8               |                   |
| Proračunske čvrstoće                                  |                     |                   |                   |
| Proračunska čvrstoća na savijanje                     | f <sub>m,d</sub>    | 16,62             | N/mm <sup>2</sup> |
| Proračunska tlačna čvrstoća paralelno s vlaknima      | f <sub>c,0,d</sub>  | 14,54             | N/mm <sup>2</sup> |
| Proračunska tlačna čvrstoća okomito na vlakna         | f <sub>c,90,d</sub> | 1,73              | N/mm <sup>2</sup> |
| Proračunska posmična čvrstoća                         | f <sub>v,d</sub>    | 2,77              | N/mm <sup>2</sup> |

Analize djelovanja su provedene za postojeći konstrukcijski sustav i nagibe krovnih ploha te prijedloge izmjena s novim, simetričnim krovnim plohama. Analize djelovanja i proračunske kombinacije korištene u analizama KE (konačni elementi) modela su sadržaj Priloga 1. U poglavljju 3 su prezentirani razmatrani proračunski modeli za postojeću konstrukciju i prijedlozi zamjenskih konstrukcijskih sustava koji su navedeni i opisani u Tablici 1 te prikazani rezultati proračuna.

## 4. ANALIZE PRORAČUNSKIH MODELA KE

Svrha priređenih štapnih modela jest usporedba rezultata statičkih analiza. Korišteni su "beam KE" (za robove i pajante opterećene masom podgleda od knaufa), "truss KE" (za stupove) i "compression only KE" (za kosnike POZ K1 i K2 koji stabilizirajući funkciju mogu obnašati samo kao tlačni elementi). Priklučci elemenata i rubni uvjeti na osloncima su modelirani pojednostavljeno te nisu uzeti u obzir: a) ekscentriciteti (npr. u posrednim priključcima kosnika u poprečnoj ravnini na pajantu, odnosno uzdužnu armiranobetonsku gredu, kao i veze između pajante i uzdužnog serklaža, gdje u stvarnoj konstrukciji postoje); b) stvarna krutost priključaka (posebno važna za tradicionalne priključke) i c) krutost oslonaca drvenog krovišta na armiranobetonsku podkonstrukciju i zidove.

Za početni model (0) te modele A – C koji se odnose na razmatrane varijante zamjene postojeće konstrukcije, provjere uporabljivosti su provedene za nepovoljniju situaciju: onu u kojoj se zanemaruje da podgled od knaufa djeluje kao dijafragma u ravnini pajante (zamjena za spreg u ravnini pajante) što bi sustav činilo horizontalno nepomičnim i povoljno utjecalo na deformiranja robova. U postojećem stanju i za sve razmatrane varijante adaptacije, podgled od knaufa (s metalnim držaćima) se nalazi u i donjoj razini robova te se može pretpostaviti da u području priključka pajante robovi imaju istu duljinu izvijanja u obje ravnine.

Pretpostavljeno je da će navedena pojednostavjenja biti prihvatljiva za ovu razinu provedbe projektne analize, primijene li se pod istim uvjetima na sve modele.

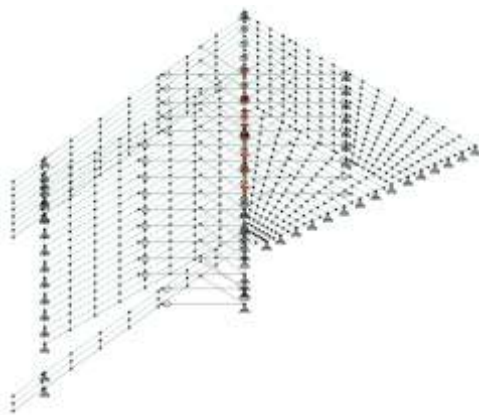
### 4.1. Model 0 – postojeća krovna konstrukcija

S obzirom na uočena propadanja materijala, stvarne (izmjerene) dimenzije presjeka su proračunskom modelu usvojene manjih vrijednosti, tj. izmjerene širine presjeka su umanjene za procijenjene vrijednosti dubine površinskih raspuklina. U provjerama uporabljivosti je zanemarena činjenica da se puzanje „već dogodilo“ zbog promjene modula krutosti iz srednjih u reološke vrijednosti. U provjerama posmične otpornosti su proračunske širine (iz Tablice 3) dodatno smanjene.

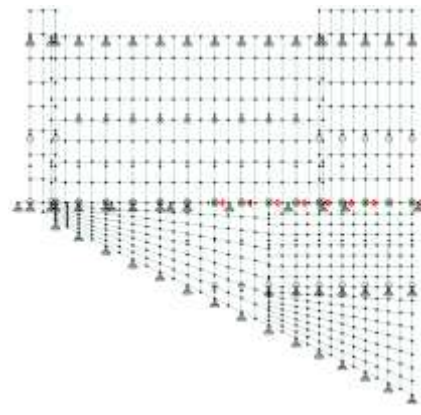
*Tablica 3. Izmjerene i proračunske širine te visine presjeka i duljine konstrukcijskih elemenata za Model 0*

| Konstrukcijski element              | Rogovi     | Pajante     | Stupovi | Kosnici (poprečni) | Kosnici (uzdužni) | Sljemenjača |
|-------------------------------------|------------|-------------|---------|--------------------|-------------------|-------------|
| Pozicija                            | 101-104    | P-101-104   | VS      | K1-101-104         | K2                | S           |
| Izmjerena širina presjeka, b [mm]   | 140        | 2 x 80      | 140     | 140                | 140               | 140         |
| Proračunska širina presjeka, b [mm] | 100        | 2 x 80      | 100     | 100                | 100               | 100         |
| Visina presjeka, h [mm]             | 140        | 160         | 100     | 100                | 100               | 140         |
| Osnova duljina elemenata, L [m]     | 9,01 -1,33 | 7,28 - 3,10 | 1,30    | 1,76 - 1,62        | 1,82              | 14,30       |

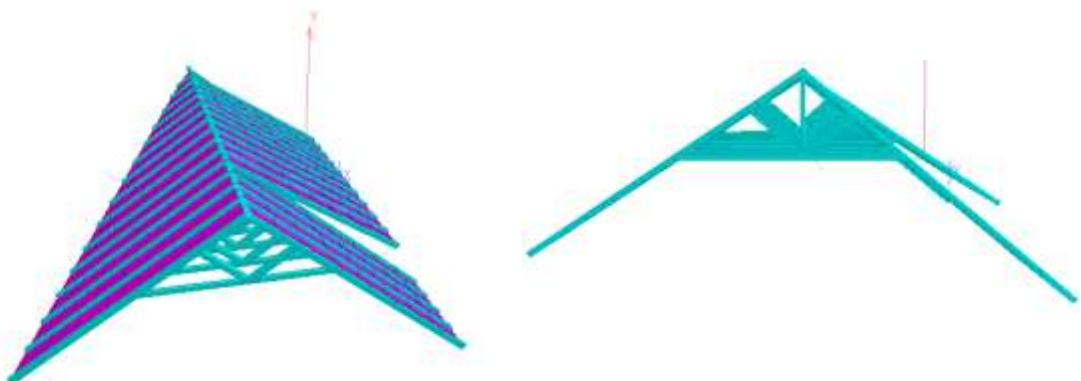
Napomena: duljine robova, pajante i poprečnih kosnika se mijenjaju po presjecima



Slika 9.a: Prikaz modela orijentiran J-S



Slika 9.b: Tlocrtni prikaz modela



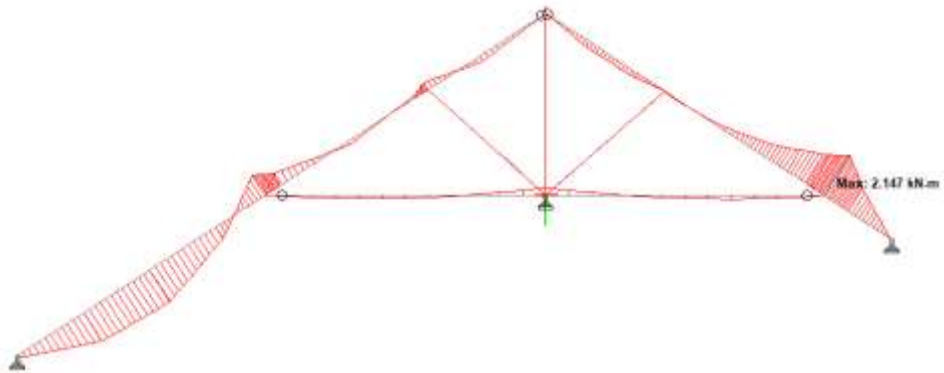
Slike 9.c: Vizualizacija modela

Slika 9: Prikaz modela početnog stanja (Model 0)

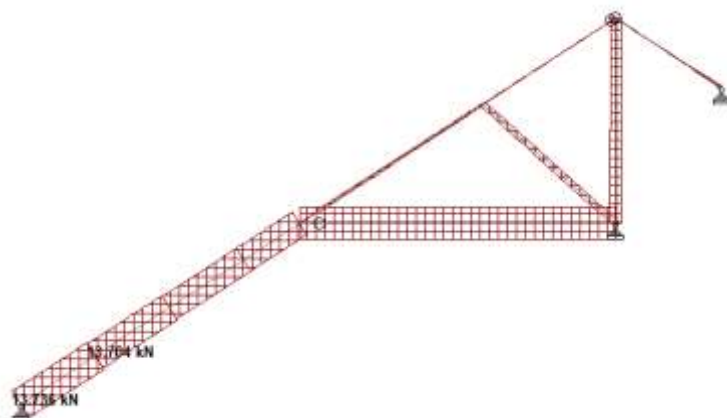
#### 4.1.1. Rezultati analize Modela 0

Tablica 4: Prikaz maksimalnih reznih sila dobivenih KE analizom za Model 0

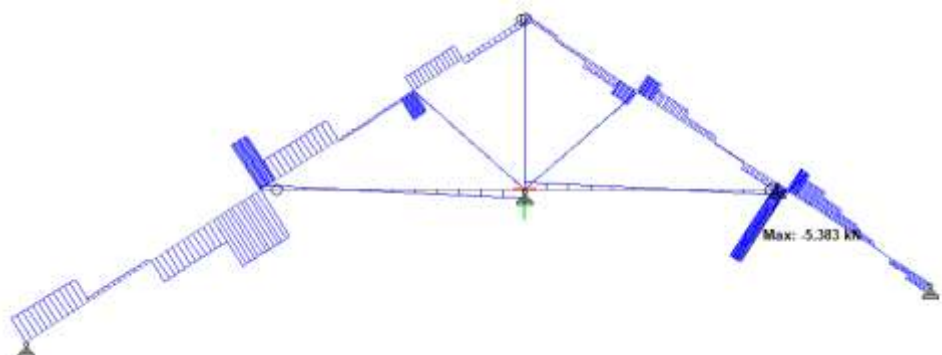
| Oznaka                            | Veličina | Mjerna jedinica | Kombinacija djelovanja | Pozicija   | Dijagram |
|-----------------------------------|----------|-----------------|------------------------|------------|----------|
| <b>Glavna nosiva konstrukcija</b> |          |                 |                        |            |          |
| $\max M_y$                        | 2,147    | kNm             | ST+SN1+VP              | POZ 102-4  | Slika 10 |
| $\max F_x$                        | 13,736   | kN              | ST+SS+VP               | POZ 103-5  | Slika 11 |
| $\max F_y$                        | 5,383    | kN              | ST+SN1+VP              | POZ 102-2  | Slika 12 |
| $M_y$                             | 1,802    | kNm             | ST+SS+VP               | POZ 102-2  | Slika 13 |
| $F_x$                             | 11,172   | kN              | ST+SS+VP               | POZ 101-3  | Slika 14 |
| <b>Pajanta</b>                    |          |                 |                        |            |          |
| $\max F_x$                        | 13,031   | kN              | ST+SS+VP               | POZ P102-2 | Slika 15 |
| <b>Stupovi/kosnici</b>            |          |                 |                        |            |          |
| $\max F_x$                        | 5,005    | kN              | ST+SS+VP               | POZ S5     | Slika 16 |



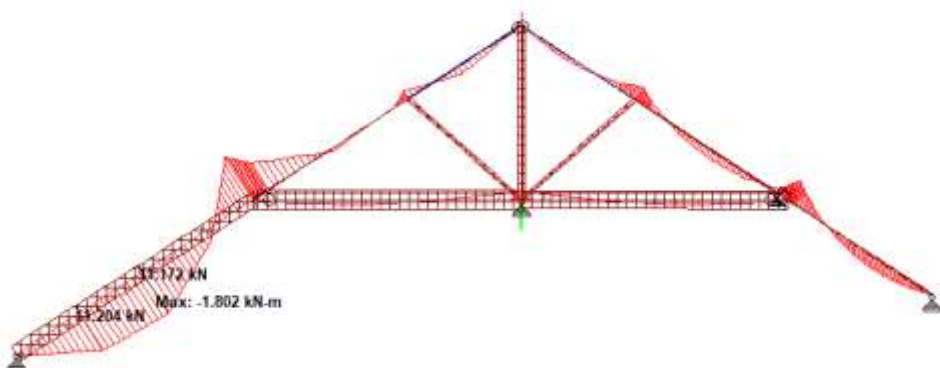
Slika 10: Prikaz najvećeg momenta savijanja POZ 102-4



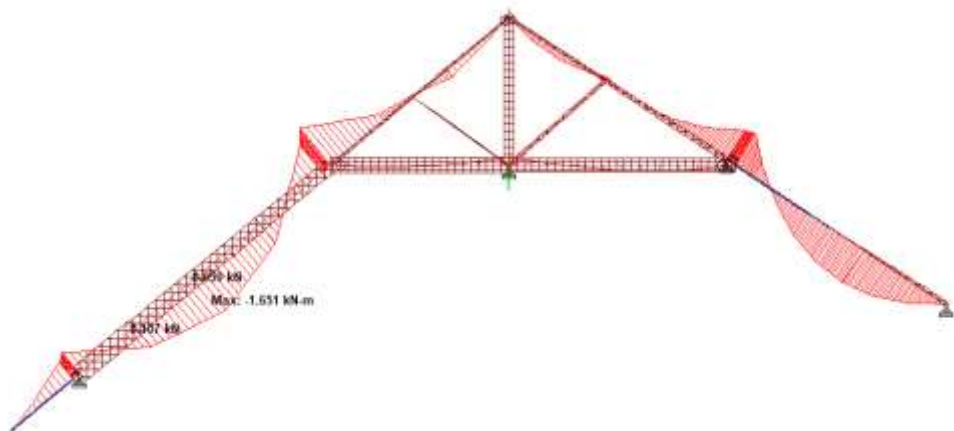
Slika 11: Prikaz najveće tlačne sile POZ 103-5



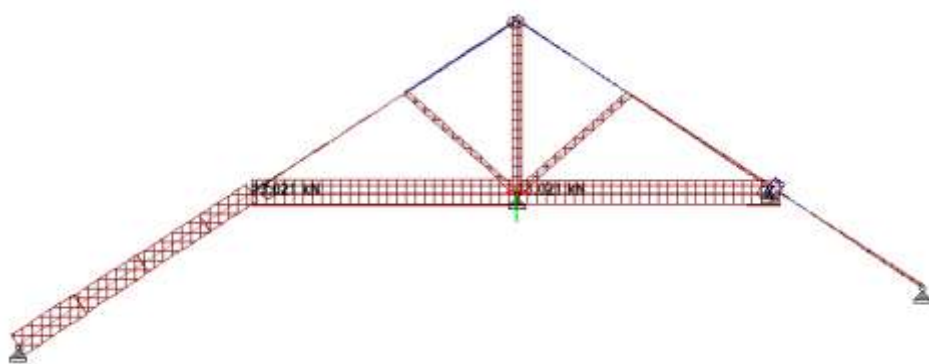
Slika 12: Prikaz najveće poprečne sile POZ 102-2



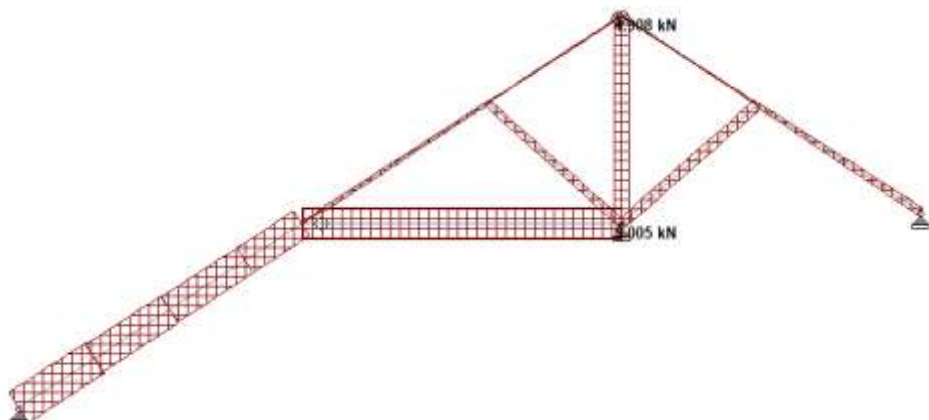
Slika 13 : Prikaz maksimalnog tlaka + izvijanja i savijanja POZ 102-2



Slika 14 : Prikaz maksimalnog tlaka + izvijanja i savijanja POZ 101-3



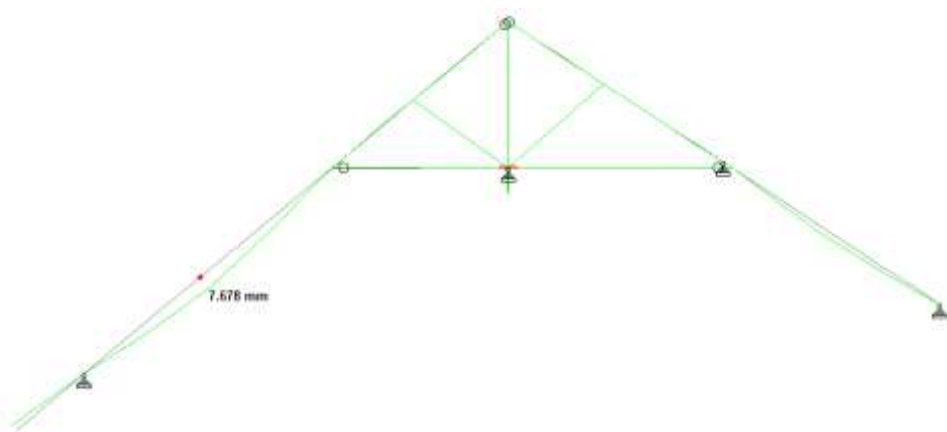
Slika 15: Prikaz najveće tlačne sile u pajanti POZ P102-2



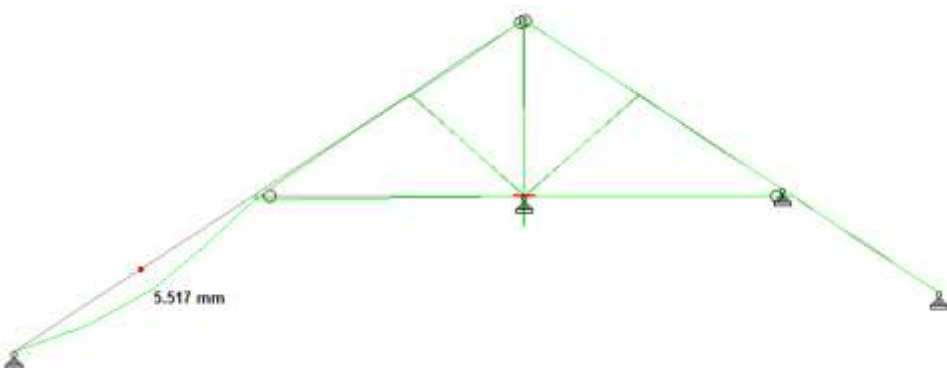
Slika 16: Prikaz najveće tlačne sile u stupovima/kosnicima POZ S5

Tablica 5: Prikaz maksimalnih pomaka glavne nosive konstrukcije krovišta dobivenih KE analizom za Model 0

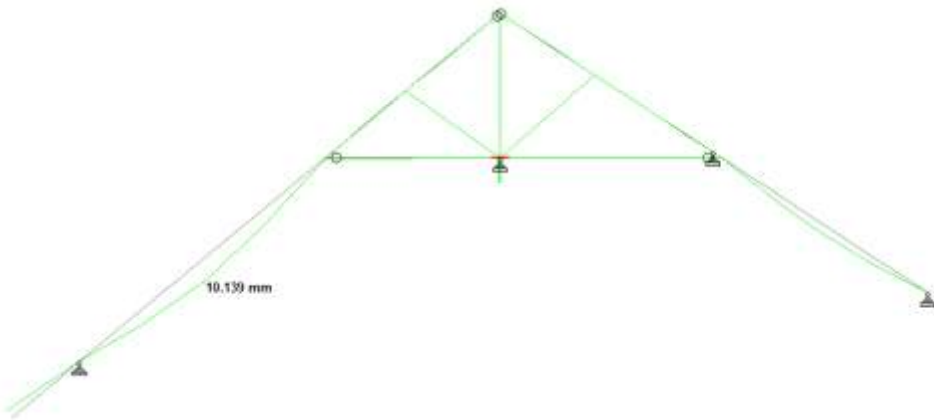
| Oznaka                     | Veličina | Mjerna jedinica | Kombinacija djelovanja | Pozicija  | Dijagram |
|----------------------------|----------|-----------------|------------------------|-----------|----------|
| <b>Početni pomaci</b>      |          |                 |                        |           |          |
| <b>maxW<sub>inst</sub></b> | 7,678    | mm              | ST+SN1+VP              | POZ 101-3 | Slika 17 |
| <b>maxW<sub>inst</sub></b> | 5,517    | mm              | ST+SN1+VP              | POZ 102-2 | Slika 18 |
| <b>Krajnji pomaci</b>      |          |                 |                        |           |          |
| <b>maxW<sub>fin</sub></b>  | 10,139   | mm              | ST+SN1+VP              | POZ 101-3 | Slika 19 |
| <b>maxW<sub>fin</sub></b>  | 6,973    | mm              | ST+SN1+VP              | POZ 102-2 | Slika 20 |



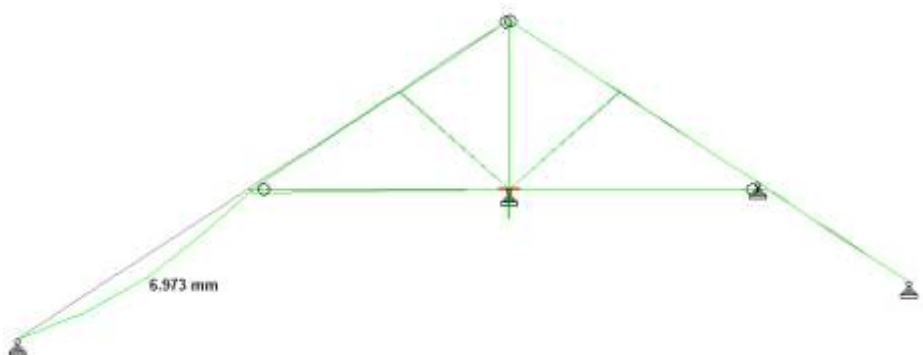
Slika 17: Prikaz najvećeg početnog pomaka POZ 101-3



Slika 18: Prikaz najvećeg početnog pomaka POZ 102-2



Slika 19: Prikaz najvećeg konačnog pomaka POZ 101-3



Slika 20: Prikaz najvećeg konačnog pomaka POZ 102-2

Prikazi deformiranja na slikama 17 –20 pokazuju da se postojeći konstrukcijski sustav "krut" i stabilan, sa zanemarivim deformiranjima rogova u gornjoj zoni iznad pajante. Krutost osigurava i uzdužna drvena podrožnica koju u modelu simulira dodatni ležaj rogova na istočnoj strani krova u presjecima 1-1 i djelomično 2-2. U planovima za adaptaciju krova jest uklanjanje ove podrožnice.

#### **4.1.2. Provjera graničnog stanja nosivosti GNK**

Provjera graničnog stanja nosivosti prema normi HRN EN 1995-1-1:2013 [6]. Provjere su provedene za glavne konstrukcijske elemente nosivih sustava (sekundarni i primarni).

##### **Rogovi POZ 101-104**

*Tablica 6: Provjera otpornosti presjeka rogova na savijanje POZ 102-4*

| <b>Provjera presjeka na savijanje POZ 102-4</b>        |                          |             |                 |
|--|--------------------------|-------------|-----------------|
| <b>Moment otpora na savijanje oko osi y-y</b>          | $W_y$                    | 326667      | $\text{mm}^3$   |
| <b>Proračunski moment savijanja oko osi y-y</b>        | $M_{y,Ed}$               | 2,15        | kNm             |
| <b>Proračunsko naprezanje na savijanje oko osi y-y</b> | $\sigma_{m,y,d}$         | 6,58        | $\text{N/mm}^2$ |
| <b>Otpornost presjeka na savijanje (y-y)</b>           | $\sigma_{m,y,d}/f_{m,d}$ | <b>0,40</b> |                 |

*Tablica 7: Provjera otpornosti presjeka rogova na tlak II s vlaknima POZ 103-5*

| <b>Provjera presjeka na tlak paralelno s vlaknima POZ 103-5</b> |                            |             |                 |
|---|----------------------------|-------------|-----------------|
| <b>Proračunska neto površina presjeka</b>                       | $A_{net}$                  | 12600       | $\text{mm}^3$   |
| <b>Proračunska tlačna sila</b>                                  | $F_{c,0,d}$                | 13,74       | kN              |
| <b>Proračunsko tlačno naprezanje paralelno s vlaknima</b>       | $\sigma_{c,0,d}$           | 1,09        | $\text{N/mm}^2$ |
| <b>Otpornost presjeka na tlak paralelno s vlaknima</b>          | $\sigma_{c,0,d}/f_{c,0,d}$ | <b>0,08</b> |                 |

*Tablica 8: Provjera presjeka rogova na posmik POZ 102-2*

| <b>Provjera presjeka na posmik POZ 102-2</b>                |                      |             |                 |
|---|----------------------|-------------|-----------------|
| <b>Proračunska širina presjeka - posmik pri savijanju</b>   | $b_{eff}$            | 67,00       | mm              |
| <b>Proračunska površina presjeka - posmik pri savijanju</b> | $A_{eff}$            | 9380        | $\text{mm}^2$   |
| <b>Proračunska poprečna sila pri kosom savijanju</b>        | $V_d$                | 5,38        | kN              |
| <b>Proračunsko posmično naprezanje</b>                      | $\tau_{v,d}$         | 0,86        | $\text{N/mm}^2$ |
| <b>Provjera otpornosti presjeka na posmik pri savijanju</b> | $\tau_{v,d}/f_{v,d}$ | <b>0,31</b> | < 1             |

Tablica 9: Proračun izvijanja rogova POZ 101-104

| Izvijanje (oko osi y)                |                     |         |                   |
|--------------------------------------|---------------------|---------|-------------------|
| <b>Moment tromosti presjeka</b>      | $I_y$               | 2,3E+07 | mm <sup>2</sup>   |
| <b>Duljina izvijanja</b>             | $l_{i,y}$           | 4,5     | m                 |
| <b>Vitkost izvijanja</b>             | $\lambda_y$         | 111,35  |                   |
| <b>Kritično naprezanje izvijanja</b> | $\sigma_{c,crit,y}$ | 5,89    | N/mm <sup>2</sup> |
| <b>Relativna vitkost izvijanja</b>   | $\lambda_{rel,y}$   | 1,888   |                   |
| <b>Pomoćni faktor za izvijanje</b>   | $k_y$               | 2,441   |                   |
| <b>Faktor za izvijanje</b>           | $k_{c,y}$           | 0,251   |                   |
| Izvijanje (oko osi z)                |                     |         |                   |
| <b>Moment tromosti presjeka</b>      | $I_z$               | 1,2E+07 | mm <sup>2</sup>   |
| <b>Duljina izvijanja</b>             | $l_{i,z}$           | 4,5     | m                 |
| <b>Vitkost izvijanja</b>             | $\lambda_z$         | 155,88  |                   |
| <b>Kritično naprezanje izvijanja</b> | $\sigma_{c,crit,z}$ | 3,01    | N/mm <sup>2</sup> |
| <b>Relativna vitkost izvijanja</b>   | $\lambda_{rel,z}$   | 2,643   |                   |
| <b>Pomoćni faktor za izvijanje</b>   | $k_z$               | 4,228   |                   |
| <b>Faktor za izvijanje</b>           | $k_{c,z}$           | 0,133   |                   |

Napomena: faktor smanjenja čvrstoće na savijanje zbog izbočivanja,  $k_{crit} = 1$

Tablica 10: Interakcija tlaka + izvijanja i savijanja rogova POZ 101-3

| Interakcija tlak + izvijanje i savijanje POZ 101-3                              |                  |        |                   |
|---|------------------|--------|-------------------|
| <b>Proračunski moment savijanja oko osi y-y</b>                                 | $M_{y,Ed}$       | 1,65   | kNm               |
| <b>Moment otpora na savijanje oko osi y-y</b>                                   | $W_y$            | 326667 | mm <sup>3</sup>   |
| <b>Proračunsko naprezanje na savijanje oko osi y-y</b>                          | $\sigma_{m,y,d}$ | 5,05   | N/mm <sup>2</sup> |
| <b>Proračunska tlačna sila</b>  | $F_{c,0,d}$      | 8,06   | kN                |
| <b>Proračunska površina presjeka</b>  | $A$              | 14000  | mm <sup>3</sup>   |
| <b>Proračunsko tlačno naprezanje paralelno s vlaknima</b>                       | $\sigma_{c,0,d}$ | 0,58   | N/mm <sup>2</sup> |
| Provjera otpornosti   |                  |        |                   |
| <b>Provjera otpornosti interakcije tlak + izvijanje (oko osi y) i savijanje</b> | 0,46             | <1     |                   |
| <b>Provjera otpornosti interakcije tlak + izvijanje (oko osi z) i savijanje</b> | 0,39             | <1     |                   |

Tablica 11: Proračun izvijanja rogova POZ 102-103

| Izvijanje (oko osi y)                |                     |         |                   |
|--------------------------------------|---------------------|---------|-------------------|
| <b>Moment tromosti presjeka</b>      | $I_y$               | 2,3E+07 | mm <sup>2</sup>   |
| <b>Duljina izvijanja</b>             | $l_{i,y}$           | 3,3     | m                 |
| <b>Vitkost izvijanja</b>             | $\lambda_y$         | 81,65   |                   |
| <b>Kritično naprezanje izvijanja</b> | $\sigma_{c,crit,y}$ | 10,95   | N/mm <sup>2</sup> |
| <b>Relativna vitkost izvijanja</b>   | $\lambda_{rel,y}$   | 1,385   |                   |
| <b>Pomoćni faktor za izvijanje</b>   | $k_y$               | 1,567   |                   |
| <b>Faktor za izvijanje</b>           | $k_{c,y}$           | 0,435   |                   |
| Izvijanje (oko osi z)                |                     |         |                   |
| <b>Moment tromosti presjeka</b>      | $I_z$               | 1,2E+07 | mm <sup>2</sup>   |
| <b>Duljina izvijanja</b>             | $l_{i,z}$           | 3,3     | m                 |
| <b>Vitkost izvijanja</b>             | $\lambda_z$         | 114,32  |                   |
| <b>Kritično naprezanje izvijanja</b> | $\sigma_{c,crit,z}$ | 5,59    | N/mm <sup>2</sup> |
| <b>Relativna vitkost izvijanja</b>   | $\lambda_{rel,z}$   | 1,938   |                   |
| <b>Pomoćni faktor za izvijanje</b>   | $k_z$               | 2,543   |                   |
| <b>Faktor za izvijanje</b>           | $k_{c,z}$           | 0,239   |                   |

Napomena: faktor smanjenja čvrstoće na savijanje zbog izbočivanja,  $k_{crit} = 1$

Tablica 12: Interakcija tlaka + izvijanja i savijanja rogova POZ 102-2

| Interakcija tlak + izvijanje i savijanje POZ 102-2                              |                  |        |                   |
|---|------------------|--------|-------------------|
| <b>Proračunski moment savijanja oko osi y-y</b>                                 | $M_{y,Ed}$       | 1,80   | kNm               |
| <b>Moment otpora na savijanje oko osi y-y</b>                                   | $W_y$            | 326667 | mm <sup>3</sup>   |
| <b>Proračunsko naprezanje na savijanje oko osi y-y</b>                          | $\sigma_{m,y,d}$ | 5,52   | N/mm <sup>2</sup> |
| <b>Proračunska tlačna sila</b>  | $F_{c,0,d}$      | 11,17  | kN                |
| <b>Proračunska površina presjeka</b>  | $A$              | 14000  | mm <sup>3</sup>   |
| <b>Proračunsko tlačno naprezanje paralelno s vlaknima</b>                       | $\sigma_{c,0,d}$ | 0,80   | N/mm <sup>2</sup> |
| Provjera otpornosti   |                  |        |                   |
| <b>Provjera otpornosti interakcije tlak + izvijanje (oko osi y) i savijanje</b> | <b>0,46</b>      | <1     |                   |
| <b>Provjera otpornosti interakcije tlak + izvijanje (oko osi z) i savijanje</b> | <b>0,34</b>      | <1     |                   |

**Pajanta POZ P101-P104**

Tablica 13: Proračun izvijanja pajante POZ P102

| <b>Izvijanje (oko osi y)</b>         |                     |         |                 |
|--------------------------------------|---------------------|---------|-----------------|
| <b>Moment tromosti presjeka</b>      | $I_y$               | 2,7E+07 | $\text{mm}^2$   |
| <b>Duljina izvijanja</b>             | $l_{i,y}$           | 6,47    | m               |
| <b>Vitkost izvijanja</b>             | $\lambda_y$         | 140,08  |                 |
| <b>Kritično naprezanje izvijanja</b> | $\sigma_{c,crit,y}$ | 3,72    | $\text{N/mm}^2$ |
| <b>Relativna vitkost izvijanja</b>   | $\lambda_{rel,y}$   | 2,375   |                 |
| <b>Pomoćni faktor za izvijanje</b>   | $k_y$               | 3,529   |                 |
| <b>Faktor za izvijanje</b>           | $k_{c,y}$           | 0,163   |                 |
| <b>Izvijanje (oko osi z)</b>         |                     |         |                 |
| <b>Moment tromosti presjeka</b>      | $I_z$               | 6826667 | $\text{mm}^2$   |
| <b>Duljina izvijanja</b>             | $l_{i,z}$           | 3,47    | m               |
| <b>Vitkost izvijanja</b>             | $\lambda_z$         | 150,26  |                 |
| <b>Kritično naprezanje izvijanja</b> | $\sigma_{c,crit,z}$ | 3,23    | $\text{N/mm}^2$ |
| <b>Relativna vitkost izvijanja</b>   | $\lambda_{rel,z}$   | 2,548   |                 |
| <b>Pomoćni faktor za izvijanje</b>   | $k_z$               | 3,971   |                 |
| <b>Faktor za izvijanje</b>           | $k_{c,z}$           | 0,143   |                 |

Tablica 14: Interakcija tlaka + izvijanja pajante POZ P102-2

| <b>Interakcija tlak + izvijanje POZ P102-2</b>                                     |                  |       |                 |
|--|------------------|-------|-----------------|
| <b>Proračunska tlačna sila</b>   | $F_{c,0,d}$      | 6,52  | kN              |
| <b>Proračunska površina presjeka</b>   | $A$              | 12800 | $\text{mm}^3$   |
| <b>Proračunsko tlačno naprezanje paralelno s vlaknima</b>                          | $\sigma_{c,0,d}$ | 0,51  | $\text{N/mm}^2$ |
| <b>Provjera otpornosti interakcije tlak + izvijanje (oko osi y(z)) i savijanje</b> | 0,21             | <1    |                 |
| <b>Provjera otpornosti interakcije tlak + izvijanje (oko osi z) i savijanje</b>    | 0,25             | <1    |                 |

## *Stupovi primarnog nosivog sustava POZ S*

*Tablica 15: Proračun izvijanja stupa POZ S*

| <b>Izvijanje (oko osi y i z)</b>     |                        |         |                 |
|--------------------------------------|------------------------|---------|-----------------|
| <b>Moment tromosti presjeka</b>      | $I_{y(z)}$             | 8333333 | $\text{mm}^2$   |
| <b>Duljina izvijanja</b>             | $l_{i,y(z)}$           | 1,3     | m               |
| <b>Vitkost izvijanja</b>             | $\lambda_{y(z)}$       | 45,03   |                 |
| <b>Kritično naprezanje izvijanja</b> | $\sigma_{c,crit,y(z)}$ | 36,01   | $\text{N/mm}^2$ |
| <b>Relativna vitkost izvijanja</b>   | $\lambda_{rel,y(z)}$   | 0,764   |                 |
| <b>Pomoćni faktor za izvijanje</b>   | $k_{y(z)}$             | 0,838   |                 |
| <b>Faktor za izvijanje</b>           | $k_{c,y(z)}$           | 0,845   |                 |

*Tablica 16: Interakcija tlaka + izvijanja stupa POZ S5*

| <b>Interakcija tlak + izvijanje POZ S5</b>   |                  |       |                 |
|--|------------------|-------|-----------------|
| <b>Proračunska tlačna sila</b>   | $F_{c,0,d}$      | 5,01  | kN              |
| <b>Proračunska površina presjeka</b>   | A                | 10000 | $\text{mm}^3$   |
| <b>Proračunsko tlačno naprezanje paralelno s vlaknima</b>                          | $\sigma_{c,0,d}$ | 0,50  | $\text{N/mm}^2$ |
| <b>Provjera otpornosti interakcije tlak + izvijanje (oko osi y(z)) i savijanje</b> | 0,04             | <1    |                 |

NAPOMENA: Nisu priložene provjere za kosnike POZ K1 i K2. Ocijenjeno je da nisu mjerodavne jer su osne tlačne sile su manje od onih u stupovima, a duljine izvijanja neznatno veće.

GNK zadovoljava provjeru graničnog stanja nosivosti.

### **4.1.3. Provjera graničnog stanja uporabljivosti GNK**

*Tablica 17: Prikaz dozvoljenih progiba rogova POZ 101-104*

| <b>Dozvoljeni progibi rogova POZ 101-104</b> |       |       |    |
|--|-------|-------|----|
| <b>Duljina grede</b>                         | L     | 8,94  | m  |
| <b>Početno nadvišenje</b>                    | wc    | 0     | mm |
| <b>Granični početni progib</b>               | L/300 | 29,80 | mm |
| <b>Granični neto konačni progib</b>          | L/250 | 35,76 | mm |

Tablica 18: Provjera GSU početnih i konačnih progova POZ 101-3

| <b>Provjera GSU - kriterij početnih progiba</b> |                            |             |     |
|---|----------------------------|-------------|-----|
| <b>Rezultantni početni progib</b>               | W <sub>inst</sub>          | 7,68        | mm  |
| <b>Provjera početnih progiba</b>                | W <sub>inst</sub> /(L/300) | <b>0,26</b> | < 1 |
| <b>Provjera GSU - kriterij konačnih progiba</b> |                            |             |     |
| <b>Rezultantni početni progib</b>               | W <sub>fin</sub>           | 10,14       | mm  |
| <b>Provjera konačnih progiba</b>                | W <sub>inst</sub> /(L/250) | <b>0,28</b> | < 1 |

Tablica 19: Prikaz dozvoljenih progiba rogova POZ 102-103

| <b>Dozvoljeni progibi rogova POZ 102-103</b> |       |       |    |
|--|-------|-------|----|
| <b>Duljina grede</b>                         | L     | 7,10  | m  |
| <b>Početno nadvišenje</b>                    | wc    | 0     | mm |
| <b>Granični početni progib</b>               | L/300 | 23,67 | mm |
| <b>Granični neto konačni progib</b>          | L/250 | 28,40 | mm |

Tablica 20: Provjera GSU početnih i konačnih progiba rogova POZ 102-2

| <b>Provjera GSU - kriterij početnih progiba</b> |                            |             |     |
|---|----------------------------|-------------|-----|
| <b>Rezultantni početni progib</b>               | W <sub>inst</sub>          | 5,52        | mm  |
| <b>Provjera početnih progiba</b>                | W <sub>inst</sub> /(L/300) | <b>0,23</b> | < 1 |
| <b>Provjera GSU - kriterij konačnih progiba</b> |                            |             |     |
| <b>Rezultantni početni progib</b>               | W <sub>fin</sub>           | 6,97        | mm  |
| <b>Provjera konačnih progiba</b>                | W <sub>inst</sub> /(L/250) | <b>0,25</b> | < 1 |

GNK zadovoljava provjeru graničnog stanja uporabljivosti.

#### 4.1.4. Iskaz materijala

Tablica 21: Iskaz materijala za Model 0

| Naziv elementa                              | Pozicija   | Komada | Duljina | Poprečni presjek |       | Volumen             |
|---|------------|--------|---------|------------------|-------|---------------------|
|   |            | [kom]  | L [m]   | b [m]            | h [m] | V [m <sup>3</sup> ] |
| <b>GNK</b>                                  |            |        |         |                  |       |                     |
|   | POZ 101-1  | 1      | 17,80   | 0,1              | 0,14  | 0,249               |
|   | POZ 101-2  | 1      | 17,32   | 0,1              | 0,14  | 0,242               |
|   | POZ 101-3  | 1      | 16,84   | 0,1              | 0,14  | 0,236               |
|   | POZ 101-4  | 1      | 16,35   | 0,1              | 0,14  | 0,229               |
|   | POZ 101-5  | 1      | 15,86   | 0,1              | 0,14  | 0,222               |
|   | POZ 102-1  | 1      | 7,40    | 0,1              | 0,14  | 0,104               |
|   | POZ 102-2  | 1      | 13,76   | 0,1              | 0,14  | 0,193               |
|   | POZ 102-3  | 1      | 13,20   | 0,1              | 0,14  | 0,185               |
|   | POZ 102-4  | 1      | 12,63   | 0,1              | 0,14  | 0,177               |
|   | POZ 102-5  | 1      | 12,05   | 0,1              | 0,14  | 0,169               |
|   | POZ 103-1  | 1      | 11,40   | 0,1              | 0,14  | 0,160               |
|   | POZ 103-2  | 1      | 10,92   | 0,1              | 0,14  | 0,153               |
|   | POZ 103-3  | 1      | 10,35   | 0,1              | 0,14  | 0,145               |
|   | POZ 103-4  | 1      | 9,78    | 0,1              | 0,14  | 0,137               |
|   | POZ 103-5  | 1      | 9,21    | 0,1              | 0,14  | 0,129               |
|   | POZ 103-6  | 1      | 7,40    | 0,1              | 0,14  | 0,104               |
|   | POZ 104-1  | 1      | 10,34   | 0,1              | 0,14  | 0,145               |
|   | POZ 104-2  | 1      | 9,01    | 0,1              | 0,14  | 0,126               |
| <b>Pajanta</b>                              |            |        |         |                  |       |                     |
|   | POZ P-101  | 5      | 6,38    | 0,16             | 0,16  | 0,817               |
|   | POZ P-102  | 5      | 7,28    | 0,16             | 0,16  | 0,932               |
|   | POZ P-103  | 6      | 3,61    | 0,16             | 0,16  | 0,554               |
|   | POZ P-104  | 2      | 3,10    | 0,16             | 0,16  | 0,159               |
| <b>Stupovi/kosnici</b>                      |            |        |         |                  |       |                     |
|   | POZ K1-101 | 10     | 1,62    | 0,1              | 0,1   | 0,162               |
|   | POZ K1-102 | 10     | 1,76    | 0,1              | 0,1   | 0,176               |
|   | POZ K1-103 | 6      | 1,76    | 0,1              | 0,1   | 0,106               |
|   | POZ K1-104 | 2      | 1,62    | 0,1              | 0,1   | 0,032               |
|   | POZ VS     | 5      | 1,30    | 0,1              | 0,1   | 0,065               |
|   | POZ K2     | 4      | 1,82    | 0,1              | 0,1   | 0,073               |
| <b>Sljemenjača</b>                          |            |        |         |                  |       |                     |
|   | POZ S      | 1      | 14,30   | 0,1              | 0,14  | 0,200               |
| <b>Ukupno potrošnja drvenog materijala:</b> |            |        |         |                  |       | <b>6,378</b>        |

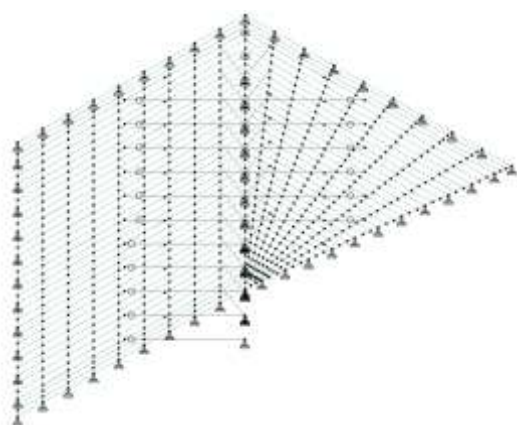
## 4.2. Model A

Model A je prilagodba postojećega stanja i konstrukcijskog sustava s novim rasterom rogova. Proračun je proveden u cijelosti, a prikazani samo mjerodavni (najnepovoljniji) rezultati proračuna i iskaz materijala.

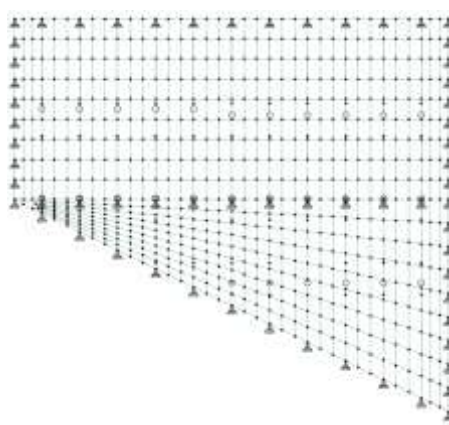
*Tablica 22. Proračunske širine te visine presjeka i duljine konstrukcijskih elemenata za Model A*

| Konstrukcijski element                     | Rogovi      | Pajante     | Stupovi | Kosnici    | Kosnici | Sljemenjača |
|--|-------------|-------------|---------|------------|---------|-------------|
| <b>Pozicija</b>                            | 102-103     | P-102-103   | VS      | K1-102-103 | K2      | S           |
| <b>Proračunska širina presjeka, b [mm]</b> | 100         | 2 x 80      | 100     | 100        | 100     | 100         |
| <b>Visina presjeka, h [mm]</b>             | 140         | 160         | 100     | 100        | 100     | 140         |
| <b>Osnna duljina elemenata, L [m]</b>      | 7,96 - 1,33 | 7,28 - 3,61 | 1,30    | 1,76       | 1,82    | 14,30       |

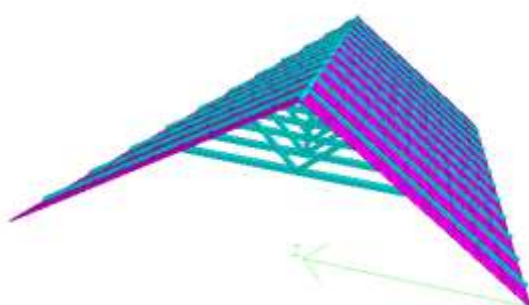
Napomena: duljine rogova i pajante se mijenjaju po presjecima



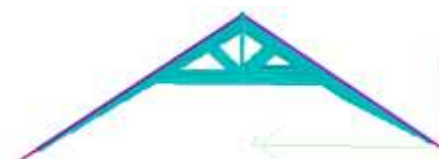
Slika 21.a: Prikaz modela orijentiran J-S



Slika 21.b: Tlocrtni prikaz modela



Slika 21.c i 21d: Vizualizacija modela

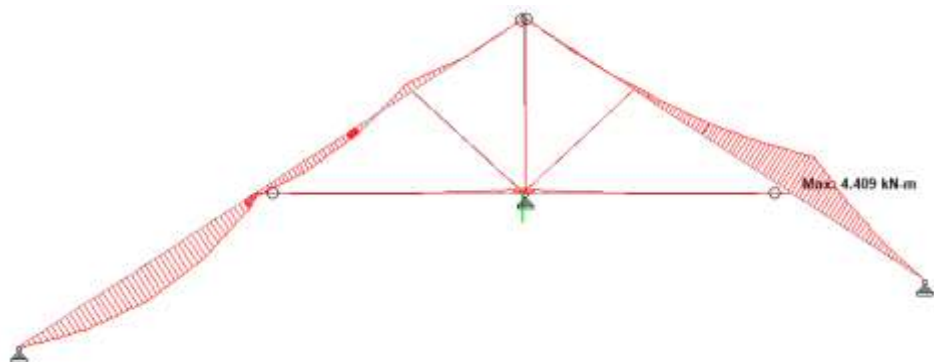


Slika 21: Prikaz modela A

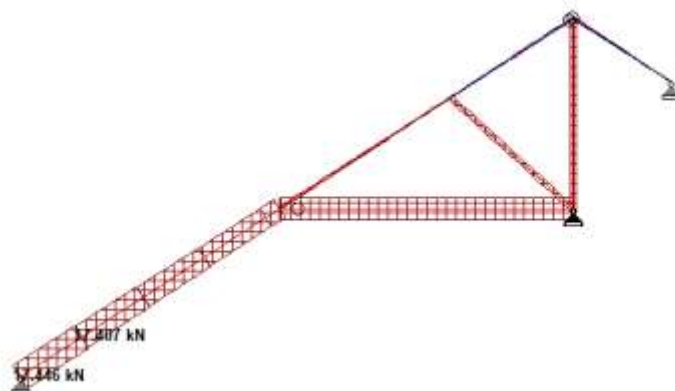
#### 4.2.1. Rezultati analize modela A

Tablica 23: Prikaz maksimalnih reznih sile dobivenih KE analizom za Model A

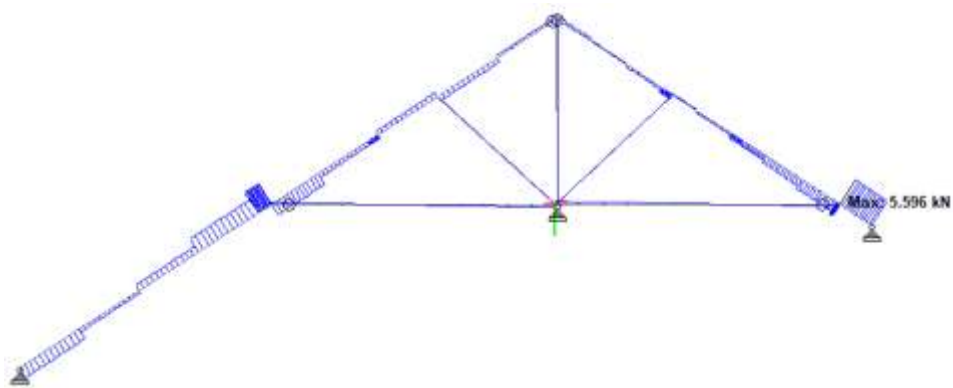
| Oznaka                            | Veličina        | Mjerna jedinica | Kombinacija djelovanja | Pozicija   | Dijagram |
|-----------------------------------|-----------------|-----------------|------------------------|------------|----------|
| <b>Glavna nosiva konstrukcija</b> |                 |                 |                        |            |          |
| $\max M_y$                        | 4,409           | kNm             | ST+SN1+VP              | POZ 102-4  | Slika 22 |
| $\max F_x$                        | 17,446          | kN              | ST+SS+VP               | POZ 103-2  | Slika 23 |
| $\max F_y$                        | 5,596           | kN              | ST+SS+VP               | POZ 102-6  | Slika 24 |
| $M_y$<br>$F_x$                    | 3,655<br>12,092 | kNm<br>kN       | ST+SN1+VP              | POZ 102-2  | Slika 25 |
| <b>Pajanta</b>                    |                 |                 |                        |            |          |
| $\max F_x$                        | 15,512          | kN              | ST+SS+VP               | POZ P102-6 | Slika 26 |
| <b>Stupovi/kosnici</b>            |                 |                 |                        |            |          |
| $\max F_x$                        | 8,479           | kN              | ST+SN1+VP              | POZ S4     | Slika 27 |



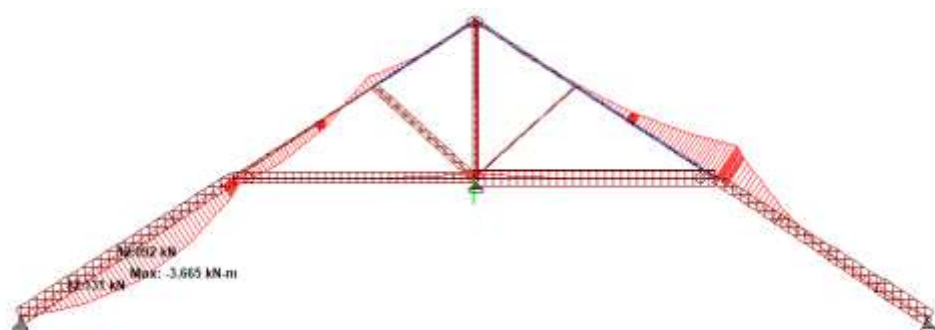
Slika 22: Prikaz najvećeg momenta savijanja POZ 102-5



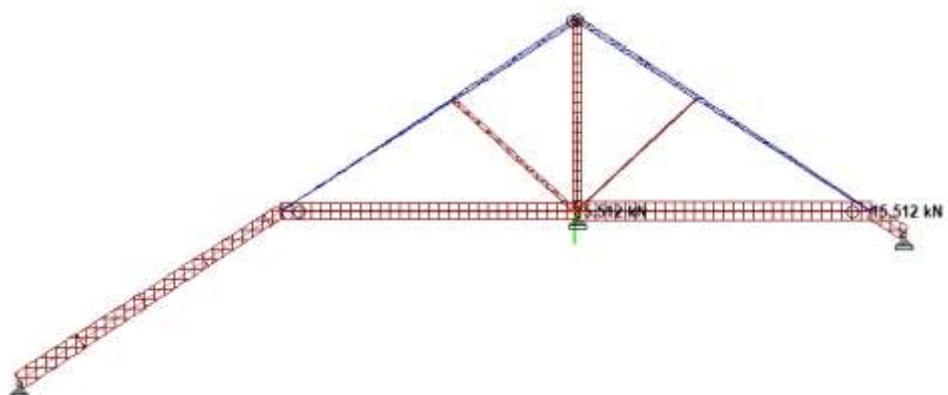
Slika 23: Prikaz najveće tlačne sile POZ 103-2



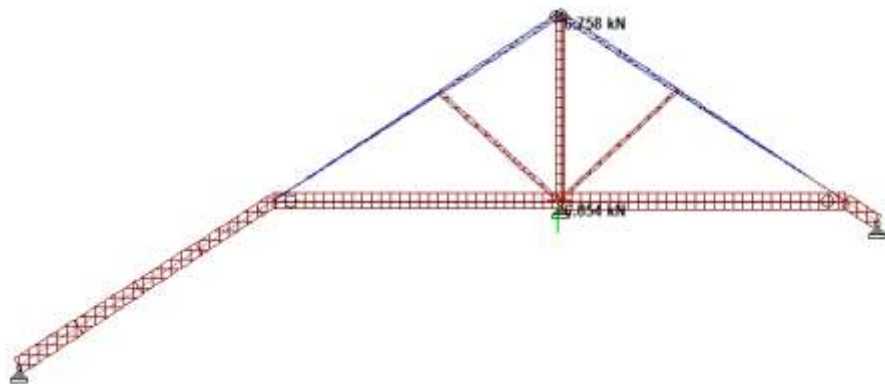
Slika 24: Prikaz najveće poprečne sile POZ 102-6



Slika 25 : Prikaz maksimalnog tlaka + izvijanja i savijanja POZ 102-2



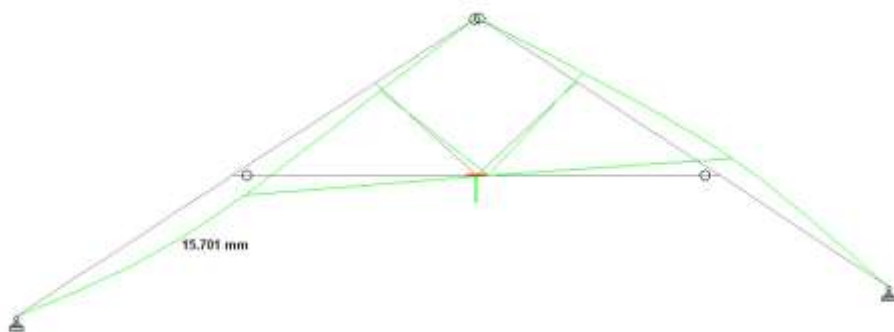
Slika 26: Prikaz najveće tlačne sile u pajanti POZ P102-6



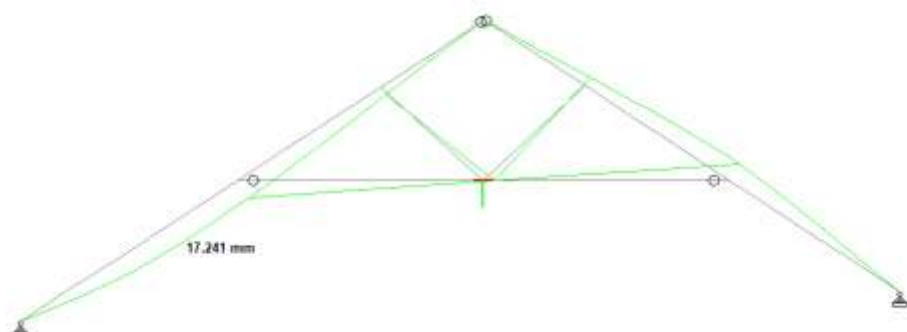
Slika 27: Prikaz najveće tlačne sile u stupovima/kosnicima POZ S4

Tablica 24: Prikaz maksimalnih pomaka glavne nosive konstrukcije krovišta dobivenih KE analizom za Model A

| Oznaka                     | Veličina | Mjerna jedinica | Kombinacija djelovanja | Pozicija  | Dijagram |
|----------------------------|----------|-----------------|------------------------|-----------|----------|
| <b>Početni pomaci</b>      |          |                 |                        |           |          |
| <b>maxW<sub>inst</sub></b> | 15,701   | mm              | ST+SN1+VP              | POZ 102-3 | Slika 28 |
| <b>Krajni pomaci</b>       |          |                 |                        |           |          |
| <b>maxW<sub>fin</sub></b>  | 17,241   | mm              | ST+SN1+VP              | POZ 102-3 | Slika 29 |



Slika 28: Prikaz najvećeg početnog pomaka POZ 102-3



Slika 29: Prikaz najvećeg konačnog pomaka POZ 102-3

Prikazi deformiranja na slikama 28 i 29 potvrđuju da se sustav ponaša kao horizontalno pomičan ne uzme li se u obzir povoljan utjecaj uzdužne dijafragme u ravnini pajante. Provjere GSU su provedene dosljedno, uzimajući u obzir cijelu duljinu roga kao mjerodavnu za koju se provodi provjera. Takav je pristup primjenjen i za sve ostale modele.

#### **4.2.2. Provjera graničnog stanja nosivosti GNK**

Provjera graničnog stanja nosivosti prema normi HRN EN 1995-1-1:2013 [6]. Provjere su provedene za glavne konstrukcijske elemente nosivih sustava (sekundarni i primarni).

##### **Rogovi POZ 102-103**

*Tablica 25: Proračun izvijanja rogova POZ 102-103*

| <b>Izvijanje (oko osi y)</b>         |                     |         |                 |
|--------------------------------------|---------------------|---------|-----------------|
| <b>Moment tromosti presjeka</b>      | $I_y$               | 2,3E+07 | $\text{mm}^2$   |
| <b>Duljina izvijanja</b>             | $l_{i,y}$           | 3,3     | m               |
| <b>Vitkost izvijanja</b>             | $\lambda_y$         | 81,65   |                 |
| <b>Kritično naprezanje izvijanja</b> | $\sigma_{c,crit,y}$ | 10,95   | $\text{N/mm}^2$ |
| <b>Relativna vitkost izvijanja</b>   | $\lambda_{rel,y}$   | 1,385   |                 |
| <b>Pomoćni faktor za izvijanje</b>   | $k_y$               | 1,567   |                 |
| <b>Faktor za izvijanje</b>           | $k_{c,y}$           | 0,435   |                 |
| <b>Izvijanje (oko osi z)</b>         |                     |         |                 |
| <b>Moment tromosti presjeka</b>      | $I_z$               | 1,2E+07 | $\text{mm}^2$   |
| <b>Duljina izvijanja</b>             | $l_{i,z}$           | 3,3     | m               |
| <b>Vitkost izvijanja</b>             | $\lambda_z$         | 114,32  |                 |
| <b>Kritično naprezanje izvijanja</b> | $\sigma_{c,crit,z}$ | 5,59    | $\text{N/mm}^2$ |
| <b>Relativna vitkost izvijanja</b>   | $\lambda_{rel,z}$   | 1,938   |                 |
| <b>Pomoćni faktor za izvijanje</b>   | $k_z$               | 2,543   |                 |
| <b>Faktor za izvijanje</b>           | $k_{c,z}$           | 0,239   |                 |

Napomena: faktor smanjenja čvrstoće na savijanje zbog izbočivanja,  $k_{crit} = 1$

Tablica 26: Interakcija tlaka + izvijanja i savijanja rogova POZ 102-2

| Interakcija tlak + izvijanje i savijanje POZ 102-2                              |                  |        |                 |
|---|------------------|--------|-----------------|
| <b>Proračunski moment savijanja oko osi y-y</b>                                 | $M_{y,Ed}$       | 3,66   | kNm             |
| <b>Moment otpora na savijanje oko osi y-y</b>                                   | $W_y$            | 326667 | $\text{mm}^3$   |
| <b>Proračunsko naprezanje na savijanje oko osi y-y</b>                          | $\sigma_{m,y,d}$ | 11,19  | $\text{N/mm}^2$ |
| <b>Proračunska tlačna sila</b>  | $F_{c,0,d}$      | 12,09  | kN              |
| <b>Proračunska površina presjeka</b>  | $A$              | 14000  | $\text{mm}^3$   |
| <b>Proračunsko tlačno naprezanje paralelno s vlaknima</b>                       | $\sigma_{c,0,d}$ | 0,86   | $\text{N/mm}^2$ |
| Provjera otpornosti   |                  |        |                 |
| <b>Provjera otpornosti interakcije tlak + izvijanje (oko osi y) i savijanje</b> | 0,81             | <1     |                 |
| <b>Provjera otpornosti interakcije tlak + izvijanje (oko osi z) i savijanje</b> | 0,70             | <1     |                 |

### Pajanta POZ P102-P103

Tablica 27: Proračun izvijanja pajante POZ P102

| Izvijanje (oko osi y)                |                     |         |                 |
|--------------------------------------|---------------------|---------|-----------------|
| <b>Moment tromosti presjeka</b>      | $I_y$               | 2,7E+07 | $\text{mm}^2$   |
| <b>Duljina izvijanja</b>             | $l_{i,y}$           | 6,47    | m               |
| <b>Vitkost izvijanja</b>             | $\lambda_y$         | 140,08  |                 |
| <b>Kritično naprezanje izvijanja</b> | $\sigma_{c,crit,y}$ | 3,72    | $\text{N/mm}^2$ |
| <b>Relativna vitkost izvijanja</b>   | $\lambda_{rel,y}$   | 2,375   |                 |
| <b>Pomoćni faktor za izvijanje</b>   | $k_y$               | 3,529   |                 |
| <b>Faktor za izvijanje</b>           | $k_{c,y}$           | 0,163   |                 |
| Izvijanje (oko osi z)                |                     |         |                 |
| <b>Moment tromosti presjeka</b>      | $I_z$               | 6826667 | $\text{mm}^2$   |
| <b>Duljina izvijanja</b>             | $l_{i,z}$           | 3,47    | m               |
| <b>Vitkost izvijanja</b>             | $\lambda_z$         | 150,26  |                 |
| <b>Kritično naprezanje izvijanja</b> | $\sigma_{c,crit,z}$ | 3,23    | $\text{N/mm}^2$ |
| <b>Relativna vitkost izvijanja</b>   | $\lambda_{rel,z}$   | 2,548   |                 |
| <b>Pomoćni faktor za izvijanje</b>   | $k_z$               | 3,971   |                 |
| <b>Faktor za izvijanje</b>           | $k_{c,z}$           | 0,143   |                 |

Tablica 28: Interakcija tlaka + izvijanja pajante POZ 102-6

| Interakcija tlak + izvijanje POZ 102-6   |                  |       |                 |
|--|------------------|-------|-----------------|
| <b>Proračunska tlačna sila</b>   | $F_{c,0,d}$      | 7,76  | kN              |
| <b>Proračunska površina presjeka</b>   | $A$              | 12800 | $\text{mm}^3$   |
| <b>Proračunsko tlačno naprezanje paralelno s vlaknima</b>                          | $\sigma_{c,0,d}$ | 0,61  | $\text{N/mm}^2$ |
| <b>Provjera otpornosti interakcije tlak + izvijanje (oko osi y(z)) i savijanje</b> | 0,26             | <1    |                 |
| <b>Provjera otpornosti interakcije tlak + izvijanje (oko osi z) i savijanje</b>    | 0,29             | <1    |                 |

### Stupovi primarnog nosivog sustava POZ S

Tablica 29: Proračun izvijanja stupa POZ S

| Izvijanje (oko osi y i z)            |                        |         |                 |
|--------------------------------------|------------------------|---------|-----------------|
| <b>Moment tromosti presjeka</b>      | $I_{y(z)}$             | 8333333 | $\text{mm}^2$   |
| <b>Duljina izvijanja</b>             | $l_{i,y(z)}$           | 1,77    | m               |
| <b>Vitkost izvijanja</b>             | $\lambda_{y(z)}$       | 61,31   |                 |
| <b>Kritično naprezanje izvijanja</b> | $\sigma_{c,crit,y(z)}$ | 19,43   | $\text{N/mm}^2$ |
| <b>Relativna vitkost izvijanja</b>   | $\lambda_{rel,y(z)}$   | 1,040   |                 |
| <b>Pomoćni faktor za izvijanje</b>   | $k_{y(z)}$             | 1,114   |                 |
| <b>Faktor za izvijanje</b>           | $k_{c,y(z)}$           | 0,660   |                 |

Tablica 30: Interakcija tlaka + izvijanja stupa POZ S4

| Interakcija tlak + izvijanje POZ S4  |                  |       |                 |
|--|------------------|-------|-----------------|
| <b>Proračunska tlačna sila</b>   | $F_{c,0,d}$      | 8,48  | kN              |
| <b>Proračunska površina presjeka</b>   | $A$              | 10000 | $\text{mm}^3$   |
| <b>Proračunsko tlačno naprezanje paralelno s vlaknima</b>                          | $\sigma_{c,0,d}$ | 0,85  | $\text{N/mm}^2$ |
| <b>Provjera otpornosti interakcije tlak + izvijanje (oko osi y(z)) i savijanje</b> | 0,09             | <1    |                 |

NAPOMENA: Nisu priložene provjere za kosnike POZ K1 i K2. Ocijenjeno je da nisu mjerodavne jer su osne tlačne sile su manje od onih u stupovima, a duljine izvijanja neznatno veće.

GNK zadovoljava provjeru graničnog stanja nosivosti.

#### 4.2.3. Provjera graničnog stanja uporabljivosti GNK

Tablica 31: Prikaz dozvoljenih progiba rogova POZ 102-103

| Dozvoljeni progibi rogova POZ 102-103 |       |       |    |
|---------------------------------------|-------|-------|----|
| <b>Duljina grede</b>                  | L     | 7,10  | m  |
| <b>Početno nadvišenje</b>             | wc    | 0     | mm |
| <b>Granični početni progib</b>        | L/300 | 18,20 | mm |
| <b>Granični neto konačni progib</b>   | L/250 | 21,84 | mm |

Tablica 32: Provjera GSU početnih i konačnih progiba rogova POZ 102-3

| Provjera GSU - kriterij početnih progiba |                            |       |     |
|--|----------------------------|-------|-----|
| <b>Rezultantni početni progib</b>        | W <sub>inst</sub>          | 15,70 | mm  |
| <b>Provjera početnih progiba</b>         | W <sub>inst</sub> /(L/300) | 0,66  | < 1 |
| Provjera GSU - kriterij konačnih progiba |                            |       |     |
| <b>Rezultantni početni progib</b>        | W <sub>fin</sub>           | 17,24 | mm  |
| <b>Provjera konačnih progiba</b>         | W <sub>inst</sub> /(L/250) | 0,61  | < 1 |

GNK zadovoljava provjeru graničnog stanja uporabljivosti.

#### 4.2.4. Iskaz materijala

Tablica 33: Iskaz materijala za Model A

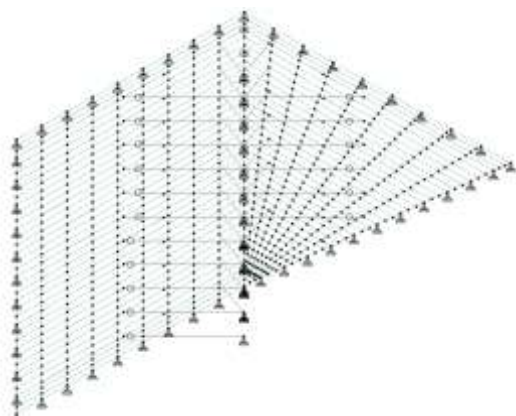
| Naziv elementa                              | Pozicija   | Komada | Duljina | Poprečni presjek |       | Volumen      |
|---|------------|--------|---------|------------------|-------|--------------|
|   |            | [kom]  | L [m]   | b [m]            | h [m] |              |
| <b>GNK</b>                                  |            |        |         |                  |       |              |
|   | POZ 102-1  | 1      | 15,70   | 0,1              | 0,14  | 0,220        |
|   | POZ 102-2  | 1      | 14,96   | 0,1              | 0,14  | 0,209        |
|   | POZ 102-3  | 1      | 14,24   | 0,1              | 0,14  | 0,199        |
|   | POZ 102-4  | 1      | 13,50   | 0,1              | 0,14  | 0,189        |
|   | POZ 102-5  | 1      | 12,77   | 0,1              | 0,14  | 0,179        |
|   | POZ 102-6  | 1      | 12,03   | 0,1              | 0,14  | 0,168        |
|   | POZ 103-1  | 1      | 11,30   | 0,1              | 0,14  | 0,158        |
|   | POZ 103-2  | 1      | 10,56   | 0,1              | 0,14  | 0,148        |
|   | POZ 103-3  | 1      | 9,84    | 0,1              | 0,14  | 0,138        |
|   | POZ 103-4  | 1      | 9,10    | 0,1              | 0,14  | 0,127        |
|   | POZ 103-5  | 1      | 8,43    | 0,1              | 0,14  | 0,118        |
| <b>Pajanta</b>                              |            |        |         |                  |       |              |
|   | POZ P-101  | 6      | 7,28    | 0,16             | 0,16  | 1,118        |
|   | POZ P-102  | 5      | 3,61    | 0,16             | 0,16  | 0,462        |
| <b>Kosnici/stupovi</b>                      |            |        |         |                  |       |              |
|   | POZ K1-101 | 12     | 1,76    | 0,1              | 0,1   | 0,211        |
|   | POZ K1-102 | 5      | 1,76    | 0,1              | 0,1   | 0,088        |
|   | POZ VS     | 12     | 1,30    | 0,1              | 0,1   | 0,156        |
|   | POZ K2     | 5      | 1,82    | 0,1              | 0,1   | 0,091        |
| <b>Sljemenjača</b>                          |            |        |         |                  |       |              |
|   | POZ S      | 1      | 14,30   | 0,1              | 0,14  | 0,200        |
| <b>Ukupno potrošnja drvenog materijala:</b> |            |        |         |                  |       | <b>4,181</b> |

### 4.3. Model B1

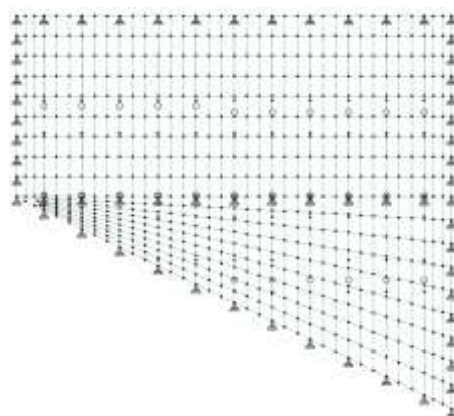
Tablica 34: Proračunske širine te visine presjeka i duljine konstrukcijskih elemenata za Model B1

| Konstrukcijski element              | Rogovi      | Pajante     | Kosnici    |
|-------------------------------------|-------------|-------------|------------|
| Pozicija                            | 102-103     | P-102-103   | K1-102-103 |
| Proračunska širina presjeka, b [mm] | 100         | 2 x 80      | 100        |
| Visina presjeka, h [mm]             | 140         | 160         | 100        |
| Osnova duljina elemenata, L [m]     | 7,96 - 1,33 | 7,28 - 3,61 | 1,76       |

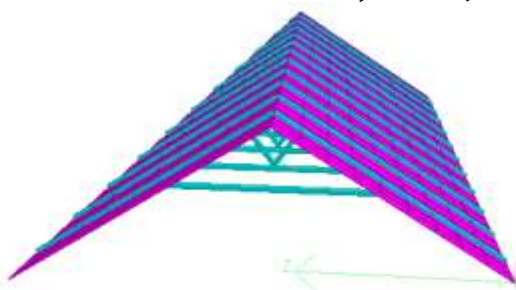
Napomena: duljine rogova i pajante se mijenjaju po presjecima



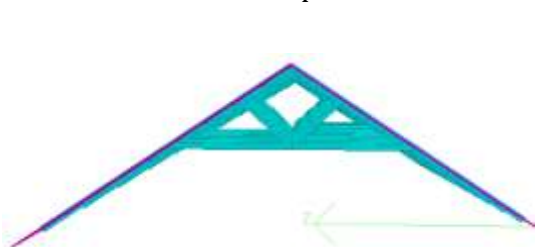
Slika 26.a: Prikaz modela orijentiran J-S



Slika 26.b: Tlocrtni prikaz modela



Slika 26c: Vizualizacija modela

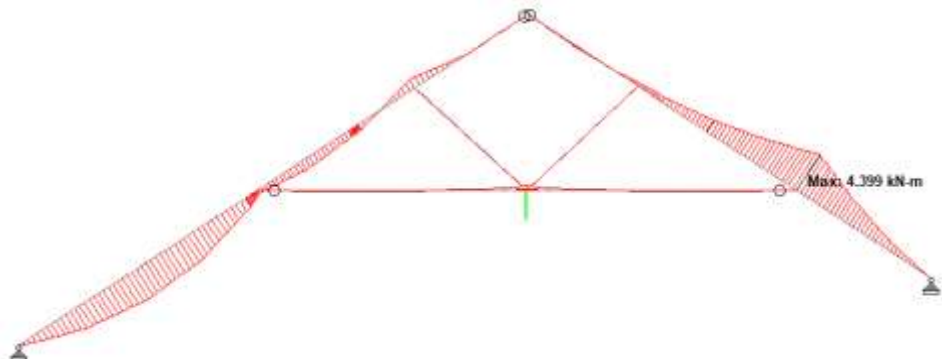


Slika 26: prikaz Modela B1

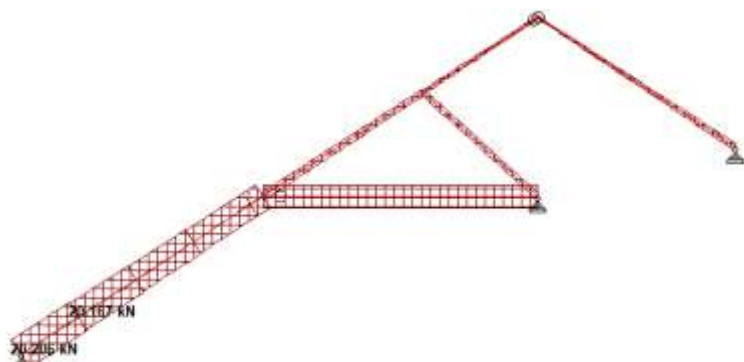
#### 4.3.1. Rezultati analize modela B1

Tablica 35: Prikaz maksimalnih reznih sila dobivenih KE analizom za model B1

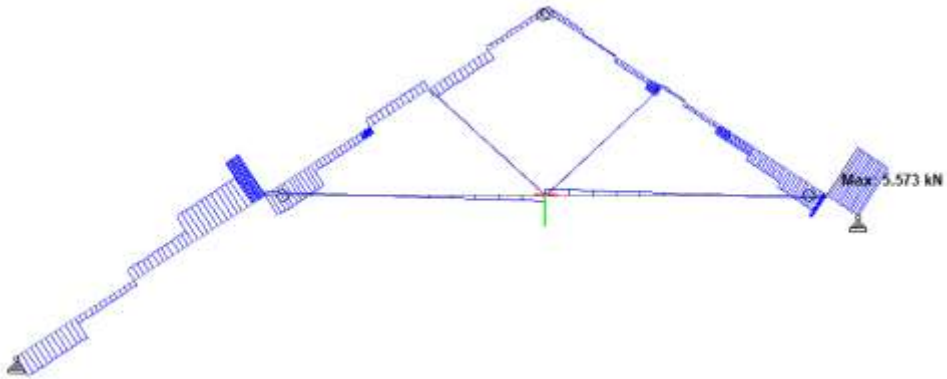
| Oznaka                            | Veličina | Mjerna jedinica | Kombinacija djelovanja | Pozicija   | Dijagram |
|-----------------------------------|----------|-----------------|------------------------|------------|----------|
| <b>Glavna nosiva konstrukcija</b> |          |                 |                        |            |          |
| $\max M_y$                        | 4,399    | kNm             | ST+SN1+VP              | POZ 102-4  | Slika 27 |
| $\max F_x$                        | 20,206   | kN              | ST+SS+VP               | POZ 103-2  | Slika 28 |
| $\max F_y$                        | 5,573    | kN              | ST+SS+VP               | POZ 102-6  | Slika 29 |
| $M_y$                             | 3,673    | kNm             | ST+SN1+VP              | POZ 102-2  | Slika 30 |
| $F_x$                             | 14,472   | kN              |                        |            |          |
| <b>Pajanta</b>                    |          |                 |                        |            |          |
| $\max F_x$                        | 15,424   | kN              | ST+SS+VP               | POZ P102-6 | Slika 31 |
| <b>Kosnici</b>                    |          |                 |                        |            |          |
| $\max F_x$                        | 5,958    | kN              | ST+SN1+VP              | POZ K1-102 | Slika 32 |



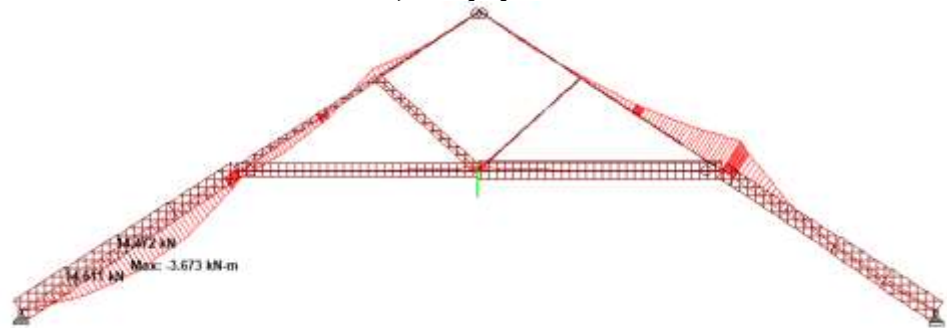
Slika 27: Prikaz najvećeg momenta savijanja POZ 102-4



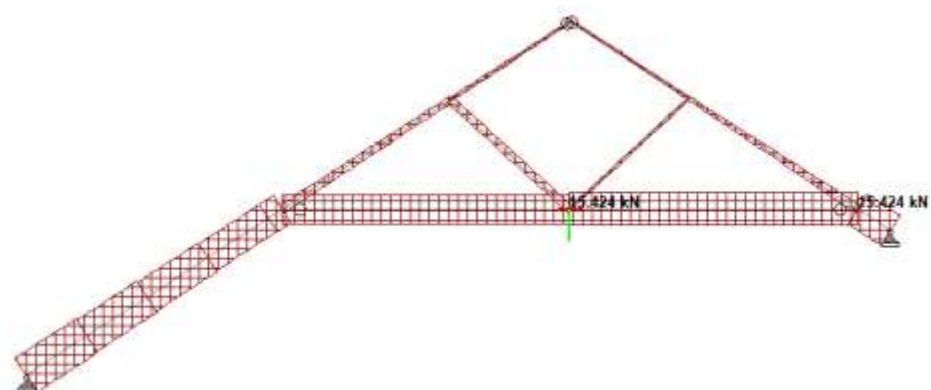
Slika 28: Prikaz najveće tlačne sile POZ 103-2



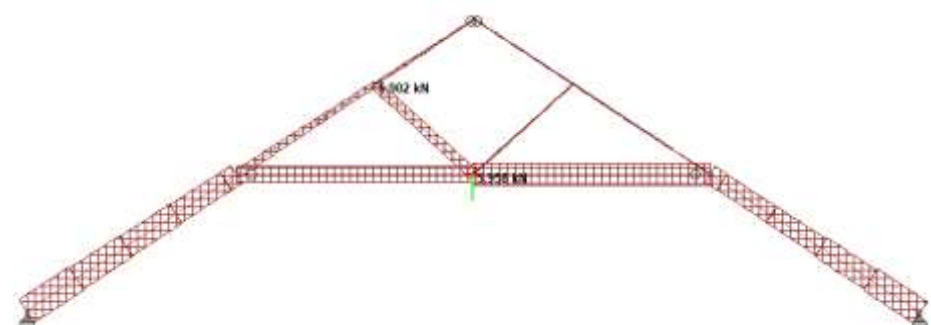
Slika29: Prikaz najveće poprečne sile POZ 102-6



Slika 30: Prikaz maksimalnog tlaka + izvijanja i savijanja POZ 102-2



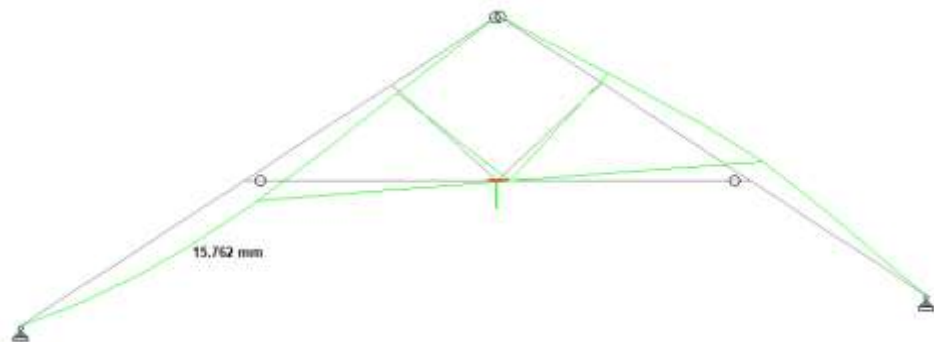
Slika 31: Prikaz najveće tlačne sile u pajanti POZ P102-6



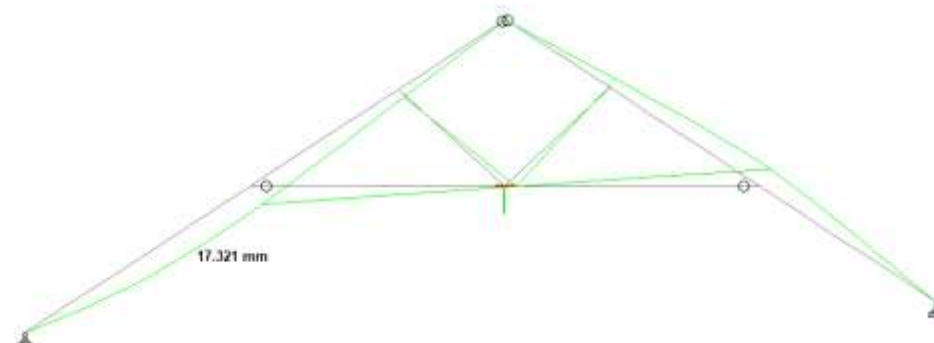
Slika 32: Prikaz najveće tlačne sile u kosniku POZ K1-102

Tablica 36: Prikaz maksimalnih pomaka glavne nosive konstrukcije krovišta dobivenih KE analizom za Model B1

| Oznaka                | Veličina | Mjerna jedinica | Kombinacija djelovanja | Pozicija  | Dijagram |
|-----------------------|----------|-----------------|------------------------|-----------|----------|
| <b>Početni pomaci</b> |          |                 |                        |           |          |
| maxWinst              | 15,762   | mm              | ST+SN1+VP              | POZ 102-3 | Slika 33 |
| <b>Krajni pomaci</b>  |          |                 |                        |           |          |
| maxWfin               | 17,321   | mm              | ST+SN1+VP              | POZ 102-3 | Slika 34 |



Slika 33: Prikaz najvećeg početnog pomaka POZ 102-3



Slika 34: Prikaz najvećeg konačnog pomaka POZ 102-3

#### 4.3.2. Provjera graničnog stanja nosivosti GNK

Model B1 je prilagodba modela A, samo bez sljemenjače i sustava vertikalnih stupova i kosnika u uzdužnom smjeru. Rezultati analize za modela B1 približni su kao i za model A. Proračun je proveden u cijelosti, a prikazani samo mjerodavni (najnepovoljniji) rezultati proračuna i iskaz materijala.

Provjera graničnog stanja nosivosti prema normi HRN EN 1995-1-1:2013 [6].

#### Rogovi POZ 102-103

Tablica 37: Proračun izvijanja rogova POZ 102-103

| Izvijanje (oko osi y)                |                     |         |                   |
|--------------------------------------|---------------------|---------|-------------------|
| <b>Moment tromosti presjeka</b>      | $I_y$               | 2,3E+07 | mm <sup>2</sup>   |
| <b>Duljina izvijanja</b>             | $l_{i,y}$           | 3,3     | m                 |
| <b>Vitkost izvijanja</b>             | $\lambda_y$         | 81,65   |                   |
| <b>Kritično naprezanje izvijanja</b> | $\sigma_{c,crit,y}$ | 10,95   | N/mm <sup>2</sup> |
| <b>Relativna vitkost izvijanja</b>   | $\lambda_{rel,y}$   | 1,385   |                   |
| <b>Pomoćni faktor za izvijanje</b>   | $k_y$               | 1,567   |                   |
| <b>Faktor za izvijanje</b>           | $k_{c,y}$           | 0,435   |                   |
| Izvijanje (oko osi z)                |                     |         |                   |
| <b>Moment tromosti presjeka</b>      | $I_z$               | 1,2E+07 | mm <sup>2</sup>   |
| <b>Duljina izvijanja</b>             | $l_{i,z}$           | 3,3     | m                 |
| <b>Vitkost izvijanja</b>             | $\lambda_z$         | 114,32  |                   |
| <b>Kritično naprezanje izvijanja</b> | $\sigma_{c,crit,z}$ | 5,59    | N/mm <sup>2</sup> |
| <b>Relativna vitkost izvijanja</b>   | $\lambda_{rel,z}$   | 1,938   |                   |
| <b>Pomoćni faktor za izvijanje</b>   | $k_z$               | 2,543   |                   |
| <b>Faktor za izvijanje</b>           | $k_{c,z}$           | 0,239   |                   |

Napomena: faktor smanjenja čvrstoće na savijanje zbog izbočivanja,  $k_{crit} = 1$

Tablica 38: Interakcija tlaka + izvijanje i savijanje rogova POZ 102-2

| Interakcija tlak + izvijanje i savijanje  |                  |        |                   |
|---|------------------|--------|-------------------|
| <b>Proračunski moment savijanja oko osi y-y</b>                                 | $M_{y,Ed}$       | 3,67   | kNm               |
| <b>Moment otpora na savijanje oko osi y-y</b>                                   | $W_y$            | 326667 | mm <sup>3</sup>   |
| <b>Proračunsko naprezanje na savijanje oko osi y-y</b>                          | $\sigma_{m,y,d}$ | 11,24  | N/mm <sup>2</sup> |
| <b>Proračunska tlačna sila</b>  | $F_{c,0,d}$      | 14,47  | kN                |
| <b>Proračunska površina presjeka</b>  | $A$              | 14000  | mm <sup>3</sup>   |
| <b>Proračunsko tlačno naprezanje paralelno s vlaknima</b>                       | $\sigma_{c,0,d}$ | 1,03   | N/mm <sup>2</sup> |
| Provjera otpornosti   |                  |        |                   |
| <b>Provjera otpornosti interakcije tlak + izvijanje (oko osi y) i savijanje</b> | 0,84             | <1     |                   |
| <b>Provjera otpornosti interakcije tlak + izvijanje (oko osi z) i savijanje</b> | 0,76             | <1     |                   |

GNK zadovoljava provjeru graničnog stanja nosivosti.

#### **4.3.3. Provjera graničnog stanja uporabljivosti GNK**

*Tablica 39: Prikaz dozvoljenih progiba rogova POZ 102-103*

| Dozvoljeni progibi rogova POZ 102-103 |       |       |    |
|---------------------------------------|-------|-------|----|
| <b>Duljina grede</b>                  | L     | 7,10  | m  |
| <b>Početno nadvišenje</b>             | wc    | 0     | mm |
| <b>Granični početni progib</b>        | L/300 | 23,67 | mm |
| <b>Granični neto konačni progib</b>   | L/250 | 28,40 | mm |

*Tablica 40: Provjera GSU početnih i konačnih progiba rogova POZ 102-3*

| Provjera GSU - kriterij početnih progiba |                            |       |     |
|--|----------------------------|-------|-----|
| <b>Rezultantni početni progib</b>        | W <sub>inst</sub>          | 15,76 | mm  |
| <b>Provjera početnih progiba</b>         | W <sub>inst</sub> /(L/300) | 0,67  | < 1 |
| Provjera GSU - kriterij konačnih progiba |                            |       |     |
| <b>Rezultantni početni progib</b>        | W <sub>fin</sub>           | 17,32 | mm  |
| <b>Provjera konačnih progiba</b>         | W <sub>inst</sub> /(L/250) | 0,61  | < 1 |

GNK zadovoljava provjeru graničnog stanja uporabljivosti.

#### 4.3.4. Iskaz materijala

Tablica 41: Iskaz materijala za model B1

| Naziv elementa                              | Pozicija   | Komada | Duljina | Poprečni presjek |       | Volumen             |
|---|------------|--------|---------|------------------|-------|---------------------|
|   |            | [kom]  | L [m]   | b [m]            | h [m] | V [m <sup>3</sup> ] |
| <b>GNK</b>                                  |            |        |         |                  |       |                     |
|   | POZ 102-1  | 1      | 15,70   | 0,1              | 0,14  | 0,220               |
|   | POZ 102-2  | 1      | 14,96   | 0,1              | 0,14  | 0,209               |
|   | POZ 102-3  | 1      | 14,24   | 0,1              | 0,14  | 0,199               |
|   | POZ 102-4  | 1      | 13,50   | 0,1              | 0,14  | 0,189               |
|   | POZ 102-5  | 1      | 12,77   | 0,1              | 0,14  | 0,179               |
|   | POZ 102-6  | 1      | 12,03   | 0,1              | 0,14  | 0,168               |
|   | POZ 103-1  | 1      | 11,30   | 0,1              | 0,14  | 0,158               |
|   | POZ 103-2  | 1      | 10,56   | 0,1              | 0,14  | 0,148               |
|   | POZ 103-3  | 1      | 9,84    | 0,1              | 0,14  | 0,138               |
|   | POZ 103-4  | 1      | 9,10    | 0,1              | 0,14  | 0,127               |
|   | POZ 103-5  | 1      | 8,43    | 0,1              | 0,14  | 0,118               |
| <b>Pajanta</b>                              |            |        |         |                  |       |                     |
|   | POZ P-101  | 6      | 7,28    | 0,16             | 0,16  | 1,118               |
|   | POZ P-102  | 5      | 3,61    | 0,16             | 0,16  | 0,462               |
| <b>Kosnici</b>                              |            |        |         |                  |       |                     |
|   | POZ K1-101 | 12     | 1,76    | 0,1              | 0,1   | 0,211               |
|   | POZ K1-102 | 5      | 1,76    | 0,1              | 0,1   | 0,088               |
| <b>Ukupno potrošnja drvenog materijala:</b> |            |        |         |                  |       | <b>3,734</b>        |

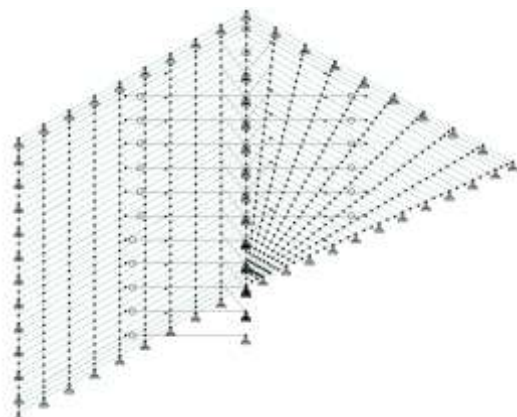
#### 4.4. Model B2

Model B2 je prilagodba modela B1. Proračun je proveden u cijelosti, a prikazani samo mjerodavni (najnepovoljniji) rezultati proračuna i iskaz materijala. Pojednostavljena je simulacija priključka kosnika na uzdužnu armiranobetonsku gredu, tj. u model nije ugrađen dodatni štapni KE sa zamjenskim krutostima uzdužne grede.

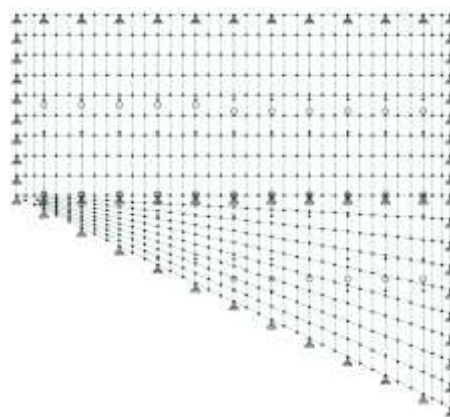
*Tablica 42: Proračunske širine te visine presjeka i duljine konstrukcijskih elemenata za Model B2*

| Konstrukcijski element                     | Rogovi      | Pajante     | Kosnici    |
|--|-------------|-------------|------------|
| <b>Pozicija</b>                            | 102-103     | P-102-103   | K1-102-103 |
| <b>Proračunska širina presjeka, b [mm]</b> | 100         | 2 x 80      | 100        |
| <b>Visina presjeka, h [mm]</b>             | 140         | 160         | 100        |
| <b>Osnova duljina elemenata, L [m]</b>     | 7,96 - 1,33 | 7,28 - 3,61 | 1,40       |

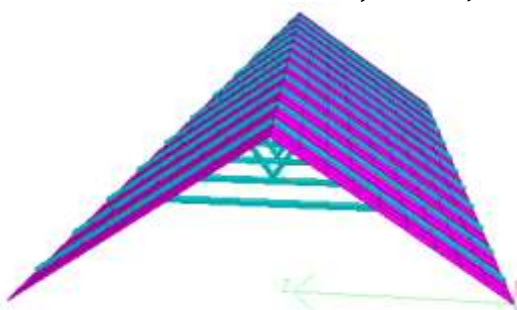
Napomena: duljine rogova i pajante se mijenjaju po presjecima



Slika 35.a: Prikaz modela orientiran J-S



Slika 35.b: Tlocrtni prikaz modela

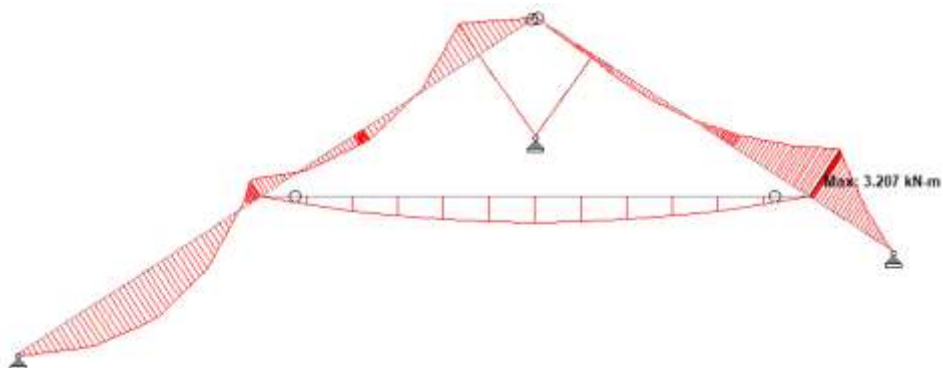


Slika 35.c: Vizualizacija modela  
Slika 35: Prikaz modela B2

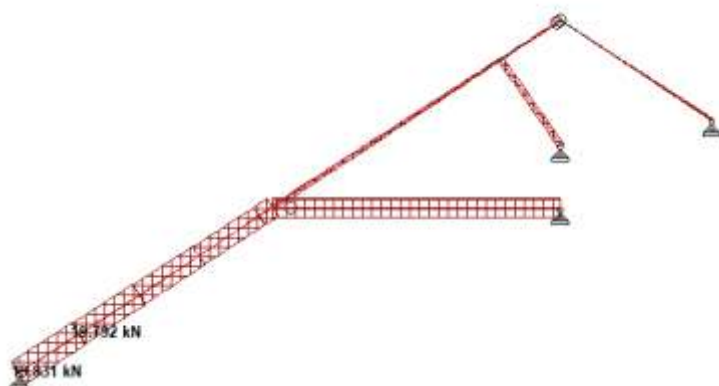
#### 4.4.1. Rezultati analize modela

Tablica 43: Prikaz maksimalnih reznih sila dobivenih KE analizom za model B2

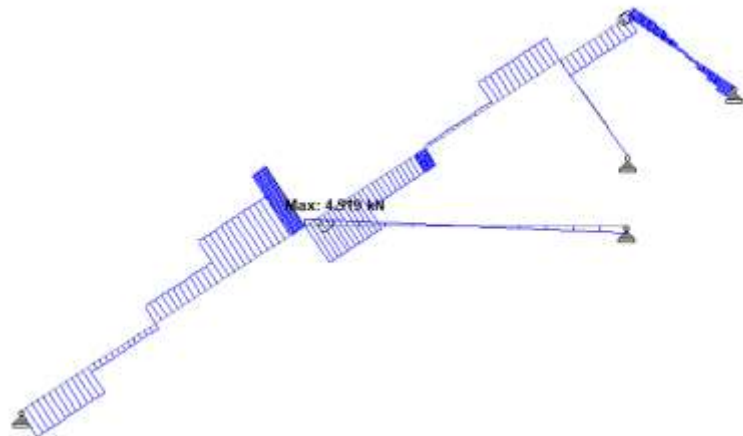
| Oznaka                            | Veličina        | Mjerna jedinica | Kombinacija djelovanja | Pozicija     | Dijagram |
|-----------------------------------|-----------------|-----------------|------------------------|--------------|----------|
| <b>Glavna nosiva konstrukcija</b> |                 |                 |                        |              |          |
| $\max M_y$                        | 3,207           | kNm             | ST+SN1+VP              | POZ 102-5    | Slika 36 |
| $\max F_x$                        | 19,831          | kN              | ST+SS+VP               | POZ 103-3    | Slika 37 |
| $\max F_y$                        | 4,919           | kN              | ST+SS+VP               | POZ 103-4    | Slika 38 |
| $M_y$<br>$F_x$                    | 2,995<br>14,654 | kNm<br>kN       | ST+SN1+VP              | POZ 102-3    | Slika 39 |
| <b>Pajanta</b>                    |                 |                 |                        |              |          |
| $\max F_x$<br>$M_y$               | 13,031<br>1,509 | kN<br>kNm       | ST+SS+VP               | POZ P102-6   | Slika 40 |
| <b>Stupovi/kosnici</b>            |                 |                 |                        |              |          |
| $\max F_x$                        | 8,479           | kN              | ST+SN1+VP              | POZ K1-102-3 | Slika 41 |



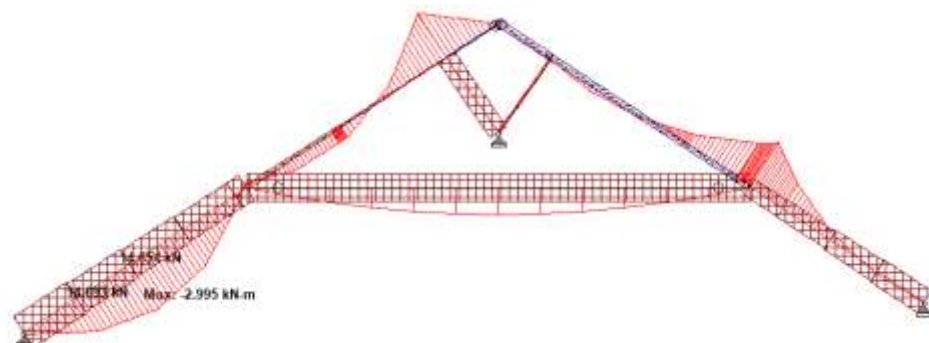
Slika 36: Prikaz najvećeg momenta savijanja POZ 102-5



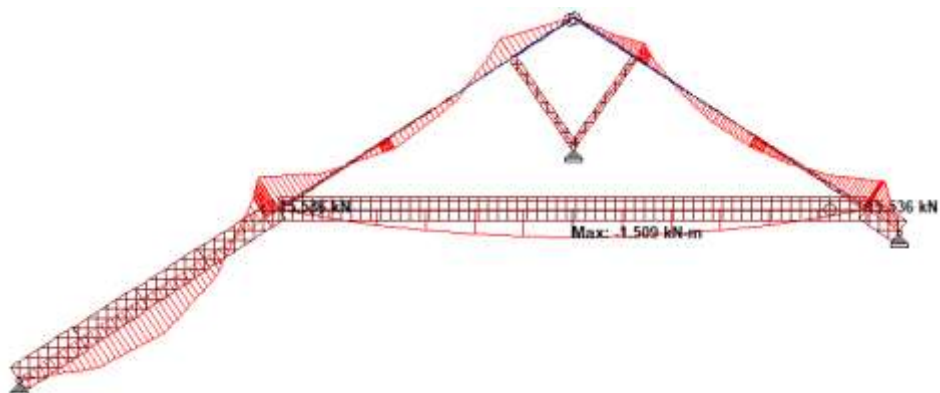
Slika 37: Prikaz najveće tlačne sile POZ 103-3



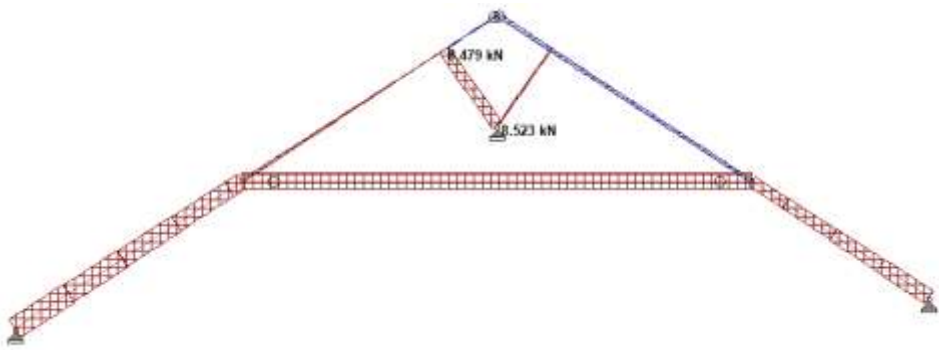
Slika 38: Prikaz najveće poprečne sile POZ 103-4



Slika 39: Prikaz maksimalnog tlaka + izvijanja i savijanja POZ 102-3



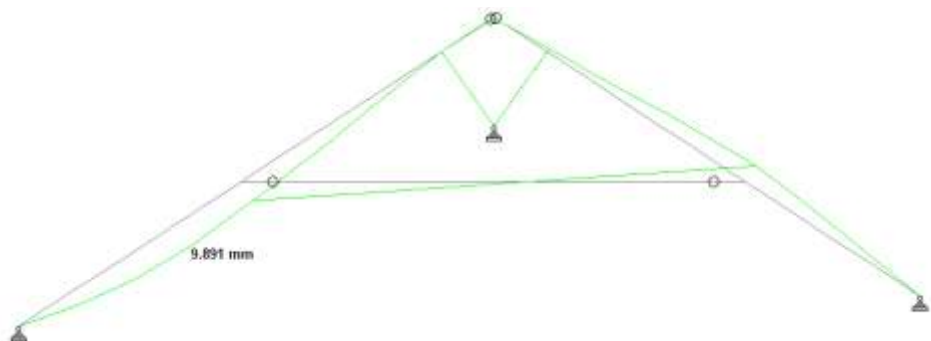
Slika 40: Prikaz najveće tlačne sile u pajanti POZ P102-6



Slika 41: Prikaz najveće tlačne sile u kosnicima POZ K1-102-3

Tablica 44: Prikaz maksimalnih pomaka glavne nosive konstrukcije krovišta dobivenih KE analizom za Model B2

| Oznaka                | Veličina | Mjerna jedinica | Kombinacija djelovanja | Pozicija  | Dijagram |
|-----------------------|----------|-----------------|------------------------|-----------|----------|
| <b>Početni pomaci</b> |          |                 |                        |           |          |
| maxWinst              | 9,891    | mm              | ST+SN1+VP              | POZ 102-2 | Slika 42 |
| <b>Krajni pomaci</b>  |          |                 |                        |           |          |
| maxWfin               | 11,072   | mm              | ST+SN1+VP              | POZ 102-2 | Slika 43 |



Slika 42: Prikaz najvećeg početnog pomaka POZ 102-2



Slika 43: prikaz najvećeg konačnog pomaka POZ 102-2

#### 4.4.2. Provjera graničnog stanja nosivosti GNK

Provjera graničnog stanja nosivosti prema normi HRN EN 1995-1-1:2013 [6].

#### Rogovi POZ 102-103

Tablica 45: Proračun izvijanja rogova POZ 102-103

| Izvijanje (oko osi y)                |                     |         |                 |
|--------------------------------------|---------------------|---------|-----------------|
| <b>Moment tromosti presjeka</b>      | $I_y$               | 2,3E+07 | $\text{mm}^2$   |
| <b>Duljina izvijanja</b>             | $l_{i,y}$           | 3,3     | m               |
| <b>Vitkost izvijanja</b>             | $\lambda_y$         | 81,65   |                 |
| <b>Kritično naprezanje izvijanja</b> | $\sigma_{c,crit,y}$ | 10,95   | $\text{N/mm}^2$ |
| <b>Relativna vitkost izvijanja</b>   | $\lambda_{rel,y}$   | 1,385   |                 |
| <b>Pomoćni faktor za izvijanje</b>   | $k_y$               | 1,567   |                 |
| <b>Faktor za izvijanje</b>           | $k_{c,y}$           | 0,435   |                 |
| Izvijanje (oko osi z)                |                     |         |                 |
| <b>Moment tromosti presjeka</b>      | $I_z$               | 1,2E+07 | $\text{mm}^2$   |
| <b>Duljina izvijanja</b>             | $l_{i,z}$           | 3,3     | m               |
| <b>Vitkost izvijanja</b>             | $\lambda_z$         | 114,32  |                 |
| <b>Kritično naprezanje izvijanja</b> | $\sigma_{c,crit,z}$ | 5,59    | $\text{N/mm}^2$ |
| <b>Relativna vitkost izvijanja</b>   | $\lambda_{rel,z}$   | 1,938   |                 |
| <b>Pomoćni faktor za izvijanje</b>   | $k_z$               | 2,543   |                 |
| <b>Faktor za izvijanje</b>           | $k_{c,z}$           | 0,239   |                 |

Napomena: faktor smanjenja čvrstoće na savijanje zbog izbočivanja,  $k_{crit} = 1$

Tablica 46: Interakcija tlaka + izvijanja i savijanja rogova POZ 102-3

| Interakcija tlak + izvijanje i savijanje  |                  |        |                 |
|---|------------------|--------|-----------------|
| <b>Proračunski moment savijanja oko osi y-y</b>                                 | $M_{y,Ed}$       | 3,00   | kNm             |
| <b>Moment otpora na savijanje oko osi y-y</b>                                   | $W_y$            | 326667 | $\text{mm}^3$   |
| <b>Proračunsko naprezanje na savijanje oko osi y-y</b>                          | $\sigma_{m,y,d}$ | 9,17   | $\text{N/mm}^2$ |
| <b>Proračunska tlačna sila</b>  | $F_{c,0,d}$      | 14,65  | kN              |
| <b>Proračunska površina presjeka</b>  | $A$              | 14000  | $\text{mm}^3$   |
| <b>Proračunsko tlačno naprezanje paralelno s vlaknima</b>                       | $\sigma_{c,0,d}$ | 1,05   | $\text{N/mm}^2$ |
| Provjera otpornosti   |                  |        |                 |
| <b>Provjera otpornosti interakcije tlak + izvijanje (oko osi y) i savijanje</b> | 0,72             | <1     |                 |
| <b>Provjera otpornosti interakcije tlak + izvijanje (oko osi z) i savijanje</b> | 0,61             | <1     |                 |

GNK zadovoljava provjeru graničnog stanja nosivosti.

#### 4.4.3. Provjera graničnog stanja uporabljivosti GNK

Tablica 47: Prikaz dozvoljenih progiba rogova POZ 102-103

| <b>Dozvoljeni progibi rogova POZ 102-103</b> |       |       |    |
|--|-------|-------|----|
| <b>Duljina grede</b>                         | L     | 7,10  | m  |
| <b>Početno nadvišenje</b>                    | wc    | 0     | mm |
| <b>Granični početni progib</b>               | L/300 | 23,67 | mm |
| <b>Granični neto konačni progib</b>          | L/250 | 28,40 | mm |

Tablica 48: Provjera GSU početnih i konačnih progiba rogova POZ 102-2

| <b>Provjera GSU - kriterij početnih progiba POZ 102</b> |                            |       |     |
|---|----------------------------|-------|-----|
| <b>Rezultantni početni progib</b>                       | w <sub>inst</sub>          | 9,89  | mm  |
| <b>Provjera početnih progiba</b>                        | w <sub>inst</sub> /(L/300) | 0,42  | < 1 |
| <b>Provjera GSU - kriterij konačnih progiba POZ 102</b> |                            |       |     |
| <b>Rezultantni početni progib</b>                       | w <sub>fin</sub>           | 11,07 | mm  |
| <b>Provjera konačnih progiba</b>                        | w <sub>inst</sub> /(L/250) | 0,39  | < 1 |

GNK zadovoljava provjeru graničnog stanja uporabljivosti.

#### 4.4.4. Iskaz materijala

Tablica 49: Iskaz materijala za model B2

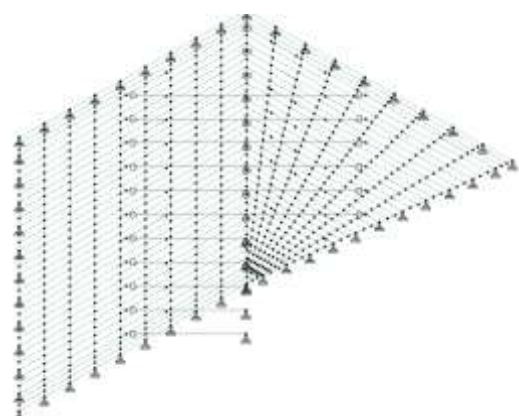
| Naziv elementa                              | Pozicija   | Komada | Duljina | Poprečni presjek |       | Volumen             |
|---|------------|--------|---------|------------------|-------|---------------------|
|   |            | [kom]  | L [m]   | b [m]            | h [m] | V [m <sup>3</sup> ] |
| <b>GNK</b>                                  |            |        |         |                  |       |                     |
|   | POZ 102-1  | 1      | 15,70   | 0,1              | 0,14  | 0,220               |
|   | POZ 102-2  | 1      | 14,96   | 0,1              | 0,14  | 0,209               |
|   | POZ 102-3  | 1      | 14,24   | 0,1              | 0,14  | 0,199               |
|   | POZ 102-4  | 1      | 13,50   | 0,1              | 0,14  | 0,189               |
|   | POZ 102-5  | 1      | 12,77   | 0,1              | 0,14  | 0,179               |
|   | POZ 102-6  | 1      | 12,03   | 0,1              | 0,14  | 0,168               |
|   | POZ 103-1  | 1      | 11,30   | 0,1              | 0,14  | 0,158               |
|   | POZ 103-2  | 1      | 10,56   | 0,1              | 0,14  | 0,148               |
|   | POZ 103-3  | 1      | 9,84    | 0,1              | 0,14  | 0,138               |
|   | POZ 103-4  | 1      | 9,10    | 0,1              | 0,14  | 0,127               |
|   | POZ 103-5  | 1      | 8,43    | 0,1              | 0,14  | 0,118               |
| <b>Pajanta</b>                              |            |        |         |                  |       |                     |
|   | POZ P-101  | 6      | 7,28    | 0,16             | 0,16  | 1,118               |
|   | POZ P-102  | 5      | 3,61    | 0,16             | 0,16  | 0,462               |
| <b>Kosnici</b>                              |            |        |         |                  |       |                     |
|   | POZ K1-101 | 12     | 1,40    | 0,1              | 0,1   | 0,168               |
|   | POZ K1-102 | 5      | 1,40    | 0,1              | 0,1   | 0,070               |
| <b>Ukupno potrošnja drvenog materijala:</b> |            |        |         |                  |       | <b>3,672</b>        |

## 4.5. Model C1

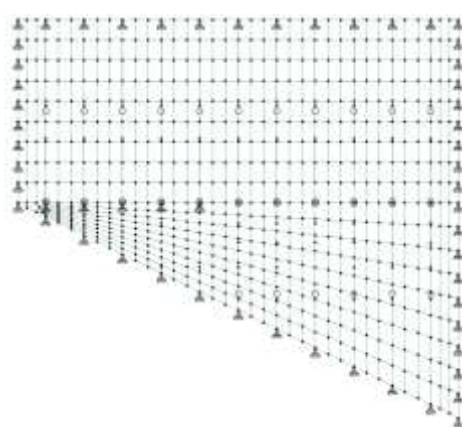
Tablica 50. Proračunske širine te visine presjeka i duljine konstrukcijskih elemenata za Model C1

| Konstrukcijski element              | Rogovi      | Pajante     |
|-------------------------------------|-------------|-------------|
| Pozicija                            | 102-103     | P-102-103   |
| Proračunska širina presjeka, b [mm] | 120         | 2 x 80      |
| Visina presjeka, h [mm]             | 160         | 160         |
| Osnova duljina elemenata, L [m]     | 7,96 - 1,33 | 7,28 - 3,61 |

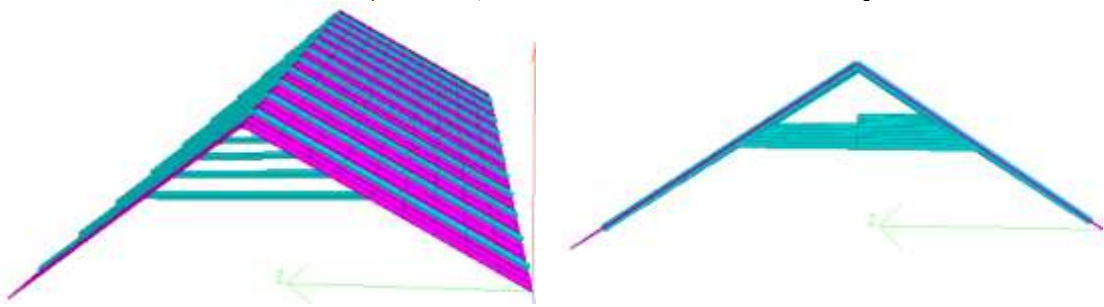
Napomena: duljine rogov i pajante se mijenjaju po presjecima



Slika 44.a: Prikaz modela orijentiran J-S



Slika 44.b: Tlocrtni prikaz modela



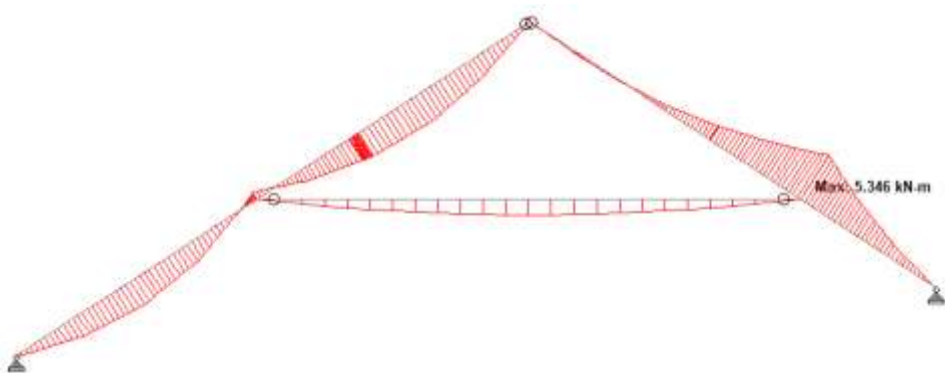
Slika 44.c: Vizualizacija modela

Slika 44: Prikaz modela C1

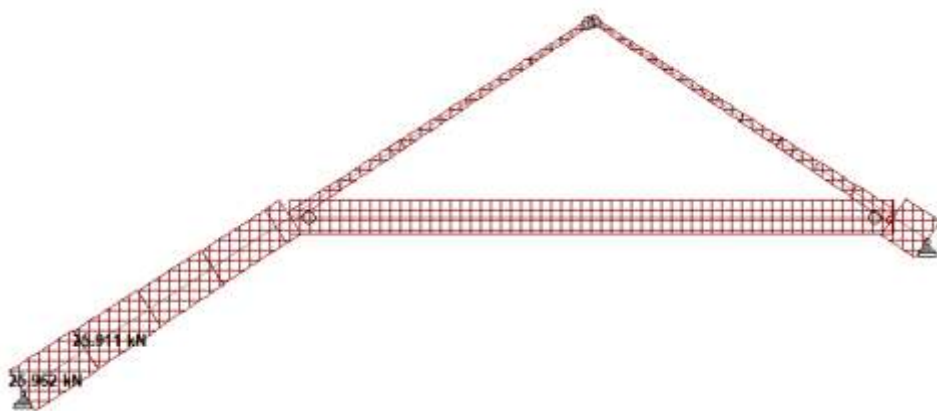
#### 4.5.1. Rezultati analize modela

Tablica 51: Prikaz maksimalnih reznih sila dobivenih KE analizom za Model C1

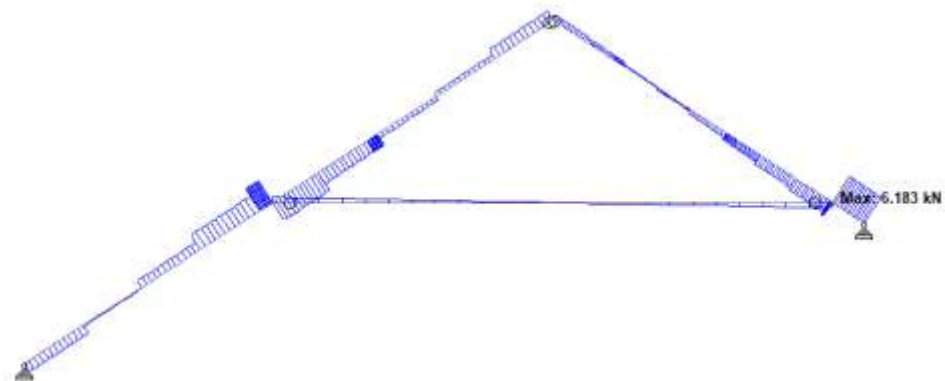
| Oznaka                            | Veličina        | Mjerna jedinica | Kombinacija djelovanja | Pozicija   | Dijagram |
|-----------------------------------|-----------------|-----------------|------------------------|------------|----------|
| <b>Glavna nosiva konstrukcija</b> |                 |                 |                        |            |          |
| $\max M_y$                        | 5,349           | kNm             | ST+SN1+VP              | POZ 102-4  | Slika 45 |
| $\max F_x$                        | 25,962          | kN              | ST+SS+VP               | POZ 102-6  | Slika 46 |
| $\max F_y$                        | 6,183           | kN              | ST+SS+VP               | POZ 102-6  | Slika 47 |
| $M_y$<br>$F_x$                    | 3,245<br>20,421 | kNm<br>kN       | ST+SN1+VP              | POZ 102-3  | Slika 48 |
| <b>Pajanta</b>                    |                 |                 |                        |            |          |
| $\max F_x$<br>$M_y$               | 18,780<br>1,622 | kN<br>kNm       | ST+SS+VP               | POZ P102-6 | Slika 49 |



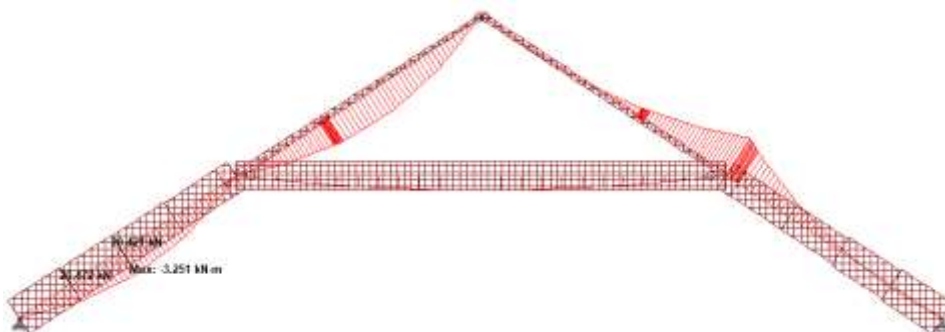
Slika 45: Prikaz najvećeg momenta savijanja POZ 102-4



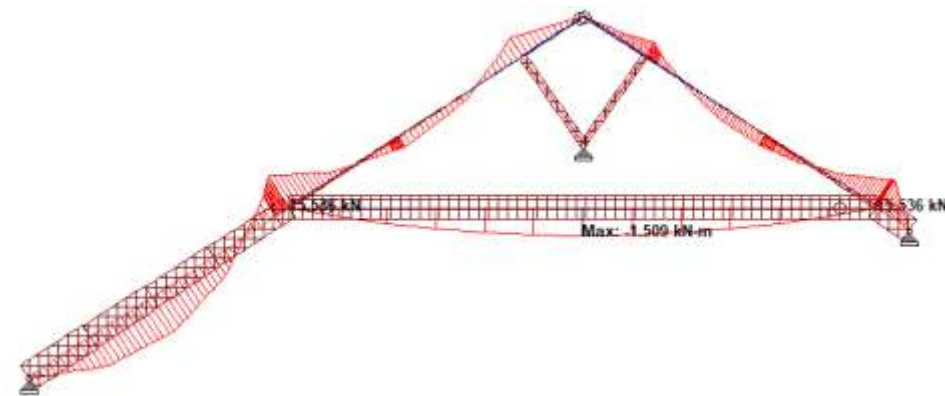
Slika 46: Prikaz najveće tlačne sile POZ 102-6



Slika 47: Prikaz najveće poprečne sile POZ 102-6



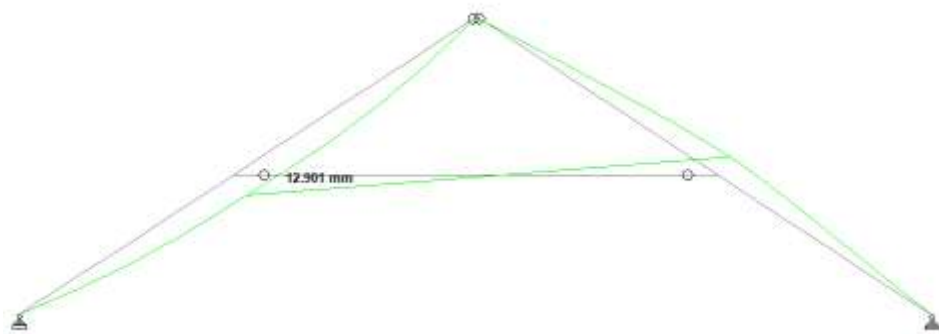
Slika 48 : Prikaz maksimalnog tlaka + izvijanja i savijanja POZ 102-3



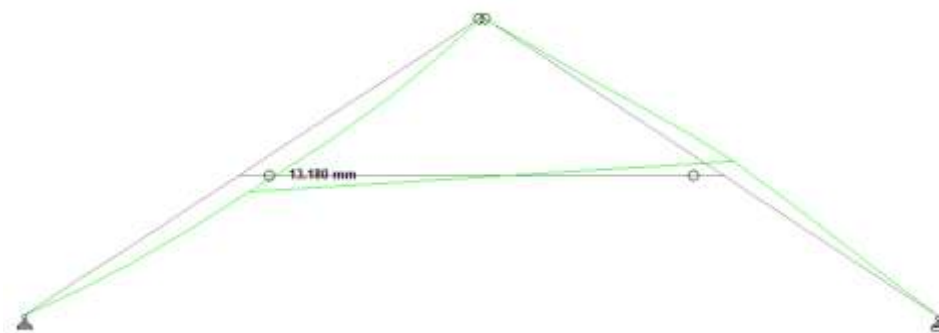
Slika 49: Prikaz najveće tlačne sile u pajanti POZ P102-6

Tablica 52: Prikaz maksimalnih pomaka glavne nosive konstrukcije krovišta dobivenih KE analizom za Model C1

| Oznaka                | Veličina | Mjerna jedinica | Kombinacija djelovanja | Pozicija  | Dijagram |
|-----------------------|----------|-----------------|------------------------|-----------|----------|
| <b>Početni pomaci</b> |          |                 |                        |           |          |
| maxWinst              | 12,901   | mm              | ST+SN1+VP              | POZ 102-2 | Slika 50 |
| <b>Krajni pomaci</b>  |          |                 |                        |           |          |
| maxWfin               | 13,180   | mm              | ST+SN1+VP              | POZ 102-2 | Slika 51 |



Slika 50: Prikaz najvećeg početnog pomaka POZ 102-2



Slika 51: Prikaz najvećeg konačnog pomaka POZ 102-2

#### 4.5.2. Provjera graničnog stanja nosivosti GNK

Provjera graničnog stanja nosivosti prema normi HRN EN 1995-1-1:2013 [6].

#### Rogovi POZ 102-103

Tablica 53: Provjera presjeka rogova na posmik POZ 102-6

| Provjera rogova na posmik POZ 102-6                  |                      |       |          |
|--|----------------------|-------|----------|
| Proračunska širina presjeka - posmik pri savijanju   | $b_{eff}$            | 80,40 | mm       |
| Proračunska površina presjeka - posmik pri savijanju | $A_{eff}$            | 12864 | $mm^2$   |
| Proračunska poprečna sila pri kosom savijanju        | $V_d$                | 6,18  | kN       |
| Proračunsko posmično naprezanje                      | $\tau_{v,d}$         | 0,72  | $N/mm^2$ |
| Provjera otpornosti presjeka na posmik pri savijanju | $\tau_{v,d}/f_{v,d}$ | 0,26  | < 1      |

Tablica 54: Proračun izvijanja rogova POZ 102-103

| Izvijanje (oko osi y)                |                     |         |                   |
|--------------------------------------|---------------------|---------|-------------------|
| <b>Moment tromosti presjeka</b>      | $I_y$               | 4,1E+07 | mm <sup>2</sup>   |
| <b>Duljina izvijanja</b>             | $l_{i,y}$           | 3,3     | m                 |
| <b>Vitkost izvijanja</b>             | $\lambda_y$         | 71,45   |                   |
| <b>Kritično naprezanje izvijanja</b> | $\sigma_{c,crit,y}$ | 14,31   | N/mm <sup>2</sup> |
| <b>Relativna vitkost izvijanja</b>   | $\lambda_{rel,y}$   | 1,212   |                   |
| <b>Pomoćni faktor za izvijanje</b>   | $k_y$               | 1,325   |                   |
| <b>Faktor za izvijanje</b>           | $k_{c,y}$           | 0,537   |                   |
| Izvijanje (oko osi z)                |                     |         |                   |
| <b>Moment tromosti presjeka</b>      | $I_z$               | 2,3E+07 | mm <sup>2</sup>   |
| <b>Duljina izvijanja</b>             | $l_{i,z}$           | 3,3     | m                 |
| <b>Vitkost izvijanja</b>             | $\lambda_z$         | 95,26   |                   |
| <b>Kritično naprezanje izvijanja</b> | $\sigma_{c,crit,z}$ | 8,05    | N/mm <sup>2</sup> |
| <b>Relativna vitkost izvijanja</b>   | $\lambda_{rel,z}$   | 1,615   |                   |
| <b>Pomoćni faktor za izvijanje</b>   | $k_z$               | 1,936   |                   |
| <b>Faktor za izvijanje</b>           | $k_{c,z}$           | 0,333   |                   |

Napomena: faktor smanjenja čvrstoće na savijanje zbog izbočivanja,  $k_{crit} = 1$

Tablica 55: Interakcija tlaka + izvijanja i savijanja rogova POZ 102-3

| Interakcija tlak + izvijanje i savijanje  |                  |        |                   |
|---|------------------|--------|-------------------|
| <b>Proračunski moment savijanja oko osi y-y</b>                                 | $M_{y,Ed}$       | 3,25   | kNm               |
| <b>Moment otpora na savijanje oko osi y-y</b>                                   | $W_y$            | 512000 | mm <sup>3</sup>   |
| <b>Proračunsko naprezanje na savijanje oko osi y-y</b>                          | $\sigma_{m,y,d}$ | 6,34   | N/mm <sup>2</sup> |
| <b>Proračunska tlačna sila</b>  | $F_{c,0,d}$      | 20,42  | kN                |
| <b>Proračunska površina presjeka</b>  | $A$              | 19200  | mm <sup>3</sup>   |
| <b>Proračunsko tlačno naprezanje paralelno s vlaknima</b>                       | $\sigma_{c,0,d}$ | 1,06   | N/mm <sup>2</sup> |
| Provjera otpornosti   |                  |        |                   |
| <b>Provjera otpornosti interakcije tlak + izvijanje (oko osi y) i savijanje</b> | 0,52             | <1     |                   |
| <b>Provjera otpornosti interakcije tlak + izvijanje (oko osi z) i savijanje</b> | 0,37             | <1     |                   |

## Pajante POZ P102-P103

Tablica 56: Proračun izvijanja pajante POZ P102

| Izvijanje (oko osi y)   |                     |         |                 |
|---|---------------------|---------|-----------------|
| <b>Moment tromosti presjeka</b>   | $I_y$               | 2,7E+07 | $\text{mm}^2$   |
| <b>Duljina izvijanja</b>  | $l_{i,y}$           | 7,28    | m               |
| <b>Vitkost izvijanja</b>  | $\lambda_y$         | 157,62  |                 |
| <b>Kritično naprezanje izvijanja</b>  | $\sigma_{c,crit,y}$ | 2,94    | $\text{N/mm}^2$ |
| <b>Relativna vitkost izvijanja</b>  | $\lambda_{rel,y}$   | 2,673   |                 |
| <b>Pomoćni faktor za izvijanje</b>  | $k_y$               | 4,309   |                 |
| <b>Faktor za izvijanje</b>  | $k_{c,y}$           | 0,130   |                 |
| Izvijanje (oko osi z)   |                     |         |                 |
| <b>Moment tromosti presjeka</b>   | $I_z$               | 6826667 | $\text{mm}^2$   |
| <b>Duljina izvijanja</b>  | $l_{i,z}$           | 3,47    | m               |
| <b>Vitkost izvijanja</b>  | $\lambda_z$         | 150,26  |                 |
| <b>Kritično naprezanje izvijanja</b>  | $\sigma_{c,crit,z}$ | 3,23    | $\text{N/mm}^2$ |
| <b>Relativna vitkost izvijanja</b>  | $\lambda_{rel,z}$   | 2,548   |                 |
| <b>Pomoćni faktor za izvijanje</b>  | $k_z$               | 3,971   |                 |
| <b>Faktor za izvijanje</b>  | $k_{c,z}$           | 0,143   |                 |
| Napomena: faktor smanjenja čvrstoće na savijanje zbog izbočivanja, $k_{crit} = 1$ |                     |         |                 |

Tablica 57: Interakcija tlaka + izvijanja pajante POZ P102-6

| Interakcija tlak + izvijanje i savijanje  |                  |        |                 |
|---|------------------|--------|-----------------|
| <b>Proračunski moment savijanja oko osi y-y</b>                                 | $M_{y,Ed}$       | 0,75   | kNm             |
| <b>Moment otpora na savijanje oko osi y-y</b>                                   | $W_y$            | 341333 | $\text{mm}^3$   |
| <b>Proračunsko naprezanje na savijanje oko osi y-y</b>                          | $\sigma_{m,y,d}$ | 2,21   | $\text{N/mm}^2$ |
| <b>Proračunska tlačna sila</b>  | $F_{c,0,d}$      | 6,52   | kN              |
| <b>Proračunska površina presjeka</b>  | $A$              | 12800  | $\text{mm}^3$   |
| <b>Proračunsko tlačno naprezanje paralelno s vlaknima</b>                       | $\sigma_{c,0,d}$ | 0,51   | $\text{N/mm}^2$ |
| Provjera otpornosti   |                  |        |                 |
| <b>Provjera otpornosti interakcije tlak + izvijanje (oko osi y) i savijanje</b> | 0,40             | <1     |                 |
| <b>Provjera otpornosti interakcije tlak + izvijanje (oko osi z) i savijanje</b> | 0,26             | <1     |                 |

GNK zadovoljava provjeru graničnog stanja nosivosti.

#### 4.5.3. Provjera graničnog stanja uporabljivosti GNK

Tablica 58: Prikaz dozvoljenih progiba rogova POZ 102-103

| Dozvoljeni progibi rogova POZ 102-103 |       |       |    |
|---------------------------------------|-------|-------|----|
| Duljina grede                         | L     | 7,10  | m  |
| Početno nadvišenje                    | wc    | 0     | mm |
| Granični početni progib               | L/300 | 23,67 | mm |
| Granični neto konačni progib          | L/250 | 28,40 | mm |

Tablica 59: Provjera GSU početnih i konačnih POZ 102-2

| Provjera GSU - kriterij početnih progiba |                            |       |     |
|--|----------------------------|-------|-----|
| Rezultantni početni progib               | w <sub>inst</sub>          | 12,90 | mm  |
| Provjera početnih progiba                | w <sub>inst</sub> /(L/300) | 0,55  | < 1 |
| Provjera GSU - kriterij konačnih progiba |                            |       |     |
| Rezultantni početni progib               | w <sub>fin</sub>           | 13,18 | mm  |
| Provjera konačnih progiba                | w <sub>inst</sub> /(L/250) | 0,46  | < 1 |

GNK zadovoljava provjeru graničnog stanja uporabljivosti.

#### 4.5.4. Iskaz materijala

Tablica 60: Iskaz materijala za model C1

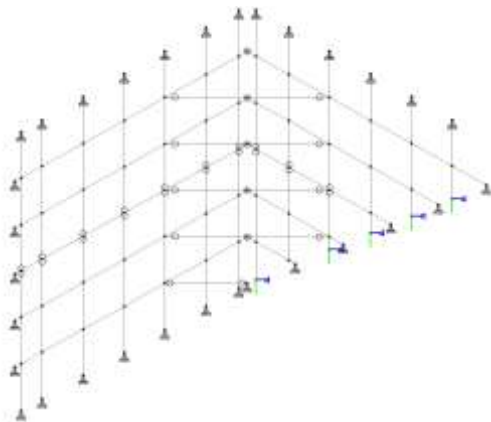
| Naziv elementa                              | Pozicija  | Komad | Duljin | Poprečni presjek |       | Volume       |
|---|-----------|-------|--------|------------------|-------|--------------|
|   |           | a     | a      | b [m]            | h [m] | n            |
| <b>GNK</b>                                  |           |       |        |                  |       |              |
|   | POZ 102-1 | 1     | 15,70  | 0,12             | 0,16  | 0,301        |
|   | POZ 102-2 | 1     | 14,96  | 0,12             | 0,16  | 0,287        |
|   | POZ 102-3 | 1     | 14,24  | 0,12             | 0,16  | 0,273        |
|   | POZ 102-4 | 1     | 13,50  | 0,12             | 0,16  | 0,259        |
|   | POZ 102-5 | 1     | 12,77  | 0,12             | 0,16  | 0,245        |
|   | POZ 102-6 | 1     | 12,03  | 0,12             | 0,16  | 0,231        |
|   | POZ 103-1 | 1     | 11,30  | 0,12             | 0,16  | 0,217        |
|   | POZ 103-2 | 1     | 10,56  | 0,12             | 0,16  | 0,203        |
|   | POZ 103-3 | 1     | 9,84   | 0,12             | 0,16  | 0,189        |
|   | POZ 103-4 | 1     | 9,10   | 0,12             | 0,16  | 0,175        |
|   | POZ 103-5 | 1     | 8,43   | 0,12             | 0,16  | 0,162        |
| <b>Pajanta</b>                              |           |       |        |                  |       |              |
|   | POZ P-101 | 6     | 7,28   | 0,16             | 0,16  | 1,118        |
|   | POZ P-102 | 5     | 3,61   | 0,16             | 0,16  | 0,462        |
| <b>Ukupno potrošnja drvenog materijala:</b> |           |       |        |                  |       | <b>4,123</b> |

#### 4.6. Model C2

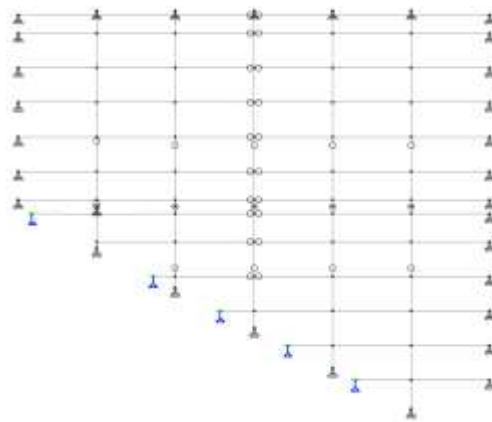
Tablica 61: Proračunske širine te visine presjeka i duljine konstrukcijskih elemenata za Model C2

| Konstrukcijski element              | Rogovi      | Pajante     | Podroženice |
|-------------------------------------|-------------|-------------|-------------|
| Pozicija                            | 102-103     | P-102-103   | P-102-103   |
| Proračunska širina presjeka, b [mm] | 140         | 2 x 80      | 80          |
| Visina presjeka, h [mm]             | 220         | 160         | 100         |
| Osna duljina elemenata, L [m]       | 7,82 - 2,44 | 7,28 - 3,61 | 8,58 - 3,61 |

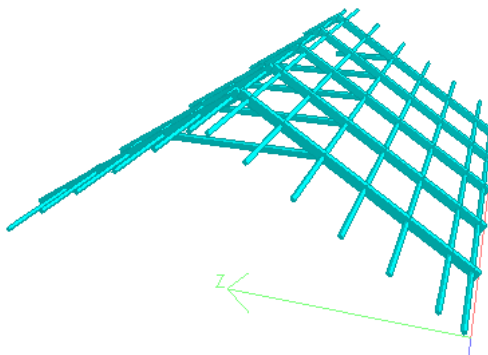
Napomena: duljine rogov, pajante i podroženice se mijenjaju po presjecima



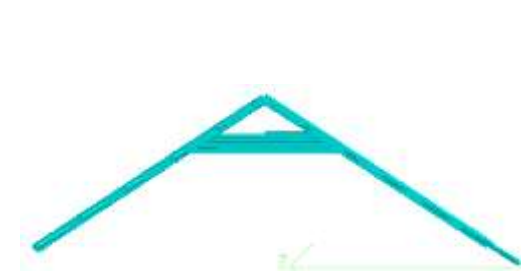
Slika 52.a: Prikaz modela orijentiran J-S



Slika 52.b: Tlocrtni prikaz modela



Slika 52.c: Vizualizacija modela

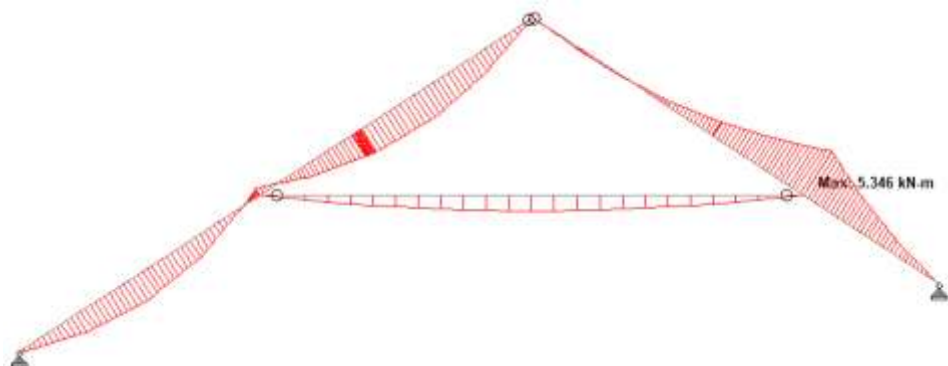


Slika 52.d: Prikaz modela C2

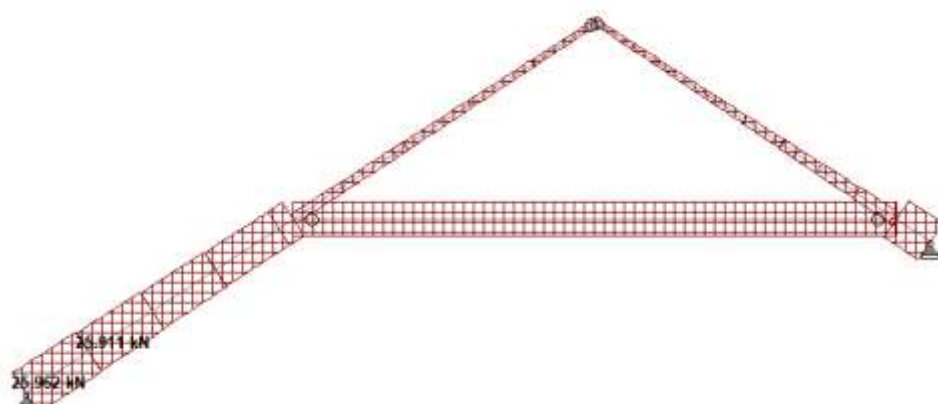
#### 4.6.1. Rezultati analize modela

Tablica 62: Prikaz maksimalnih reznih sila dobivenih KE analizom za Model C2

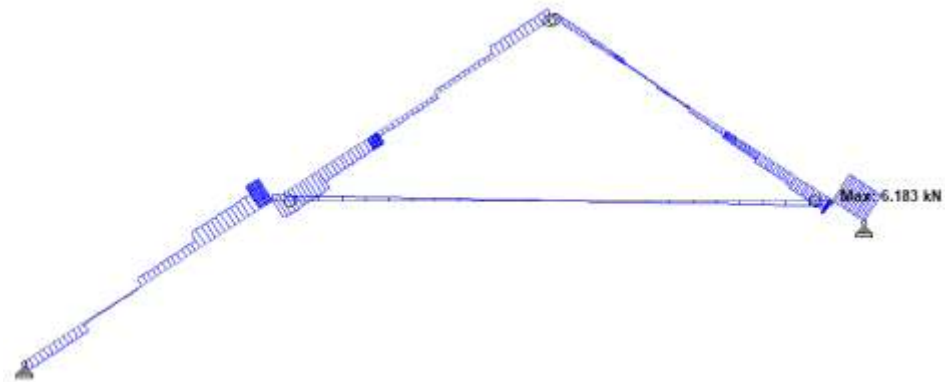
| Oznaka                            | Veličina | Mjerna jedinica | Kombinacija djelovanja | Pozicija   | Dijagram |
|-----------------------------------|----------|-----------------|------------------------|------------|----------|
| <b>Glavna nosiva konstrukcija</b> |          |                 |                        |            |          |
| $\max M_y$                        | 11,786   | kNm             | ST+SN1+VP              | POZ 102-2  | Slika 53 |
| $\max F_x$                        | 65,414   | kN              | ST+SS+VP               | POZ 102-4  | Slika 54 |
| $\max F_y$                        | 13,376   | kN              | ST+SS+VP               | POZ 102-6  | Slika 55 |
| $M_y$                             | 11,708   | kNm             | ST+SN1+VP              | POZ 102-1  | Slika 56 |
| $F_x$                             | 47,638   | kN              |                        |            |          |
| <b>Pajanta</b>                    |          |                 |                        |            |          |
| $\max F_x$                        | 38,936   | kN              | ST+SS+VP               | POZ P102-4 | Slika 57 |
| $M_y$                             |          | kNm             |                        |            |          |



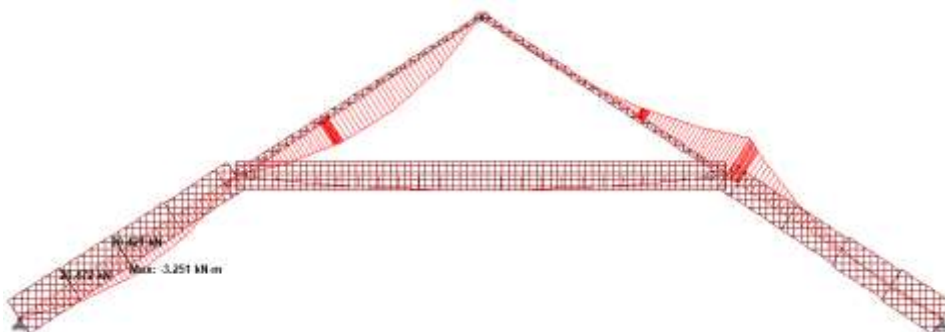
Slika 53: Prikaz najvećeg momenta savijanja POZ 102-2



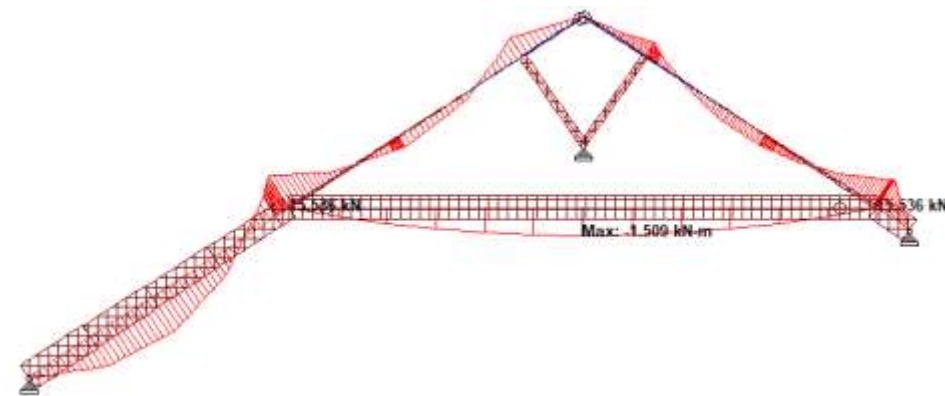
Slika 54: Prikaz najveće tlačne sile POZ 102-4



Slika 55: Prikaz najveće poprečne sile POZ 102-4



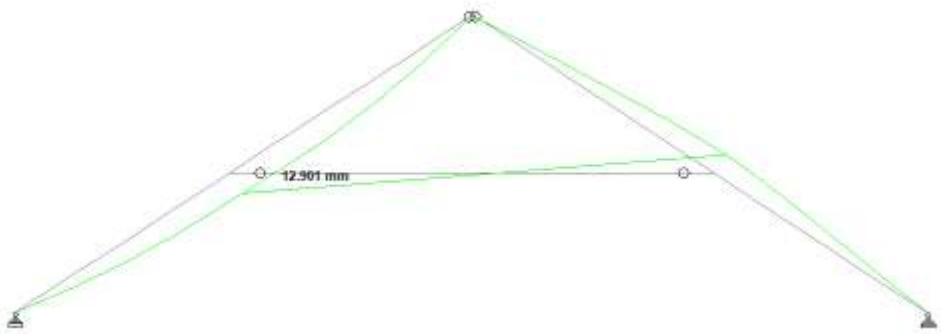
Slika 56: Prikaz maksimalnog tlaka + izvijanja i savijanja POZ 102-1



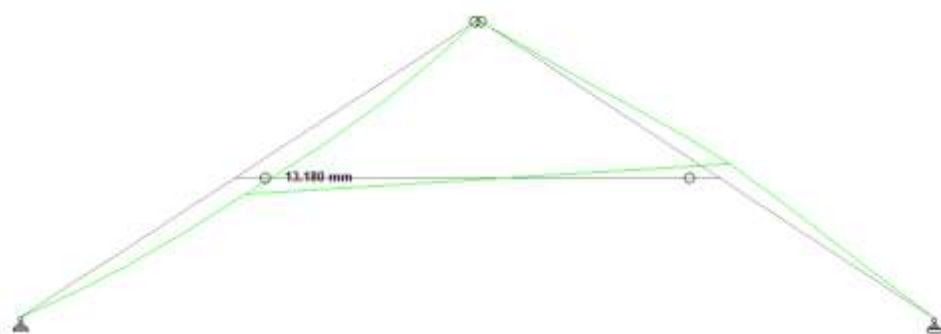
Slika 57: Prikaz najveće tlačne sile u pajanti POZ P102-4

Tablica 63: Prikaz maksimalnih pomaka glavne nosive konstrukcije krovišta dobivenih KE analizom za Model C2

| Oznaka                | Veličina | Mjerna jedinica | Kombinacija djelovanja | Pozicija  | Dijagram |
|-----------------------|----------|-----------------|------------------------|-----------|----------|
| <b>Početni pomaci</b> |          |                 |                        |           |          |
| maxWinst              | 21,138   | mm              | ST+SN1+VP              | POZ 102-2 | Slika 58 |
| <b>Krajni pomaci</b>  |          |                 |                        |           |          |
| maxWfin               | 23,554   | mm              | ST+SN1+VP              | POZ 102-2 | Slika 59 |



Slika 58: Prikaz najvećeg početnog pomaka POZ 102-2



Slika 59: Prikaz najvećeg konačnog pomaka POZ 102-2

#### 4.6.2. Provjera graničnog stanja nosivosti GNK

Provjera graničnog stanja nosivosti prema normi HRN EN 1995-1-1:2013 [6].

#### Pajante POZ 102-103

Tablica 64: Provjera presjeka na posmik rogova POZ 102-6

| Provjera posmika  |                      |       |          |
|---|----------------------|-------|----------|
| <b>Proračunska širina presjeka - posmik pri savijanju</b>   | $b_{eff}$            | 93,80 | mm       |
| <b>Proračunska površina presjeka - posmik pri savijanju</b> | $A_{eff}$            | 20636 | $mm^2$   |
| <b>Proračunska poprečna sila pri kosom savijanju</b>        | $V_d$                | 13,38 | kN       |
| <b>Proračunsko posmično naprezanje</b>                      | $\tau_{v,d}$         | 0,97  | $N/mm^2$ |
| <b>Provjera otpornosti presjeka na posmik pri savijanju</b> | $\tau_{v,d}/f_{v,d}$ | 0,35  | < 1      |

Tablica 65: Proračun izvijanja rogova POZ 102-103

| Izvijanje (oko osi y)                |                     |         |                   |
|--------------------------------------|---------------------|---------|-------------------|
| <b>Moment tromosti presjeka</b>      | $I_y$               | 1,2E+08 | mm <sup>2</sup>   |
| <b>Duljina izvijanja</b>             | $l_{i,y}$           | 4,57    | m                 |
| <b>Vitkost izvijanja</b>             | $\lambda_y$         | 71,96   |                   |
| <b>Kritično naprezanje izvijanja</b> | $\sigma_{c,crit,y}$ | 14,10   | N/mm <sup>2</sup> |
| <b>Relativna vitkost izvijanja</b>   | $\lambda_{rel,y}$   | 1,220   |                   |
| <b>Pomoćni faktor za izvijanje</b>   | $k_y$               | 1,336   |                   |
| <b>Faktor za izvijanje</b>           | $k_{c,y}$           | 0,531   |                   |
| Izvijanje (oko osi z)                |                     |         |                   |
| <b>Moment tromosti presjeka</b>      | $I_z$               | 5E+07   | mm <sup>2</sup>   |
| <b>Duljina izvijanja</b>             | $l_{i,z}$           | 4,57    | m                 |
| <b>Vitkost izvijanja</b>             | $\lambda_z$         | 113,08  |                   |
| <b>Kritično naprezanje izvijanja</b> | $\sigma_{c,crit,z}$ | 5,71    | N/mm <sup>2</sup> |
| <b>Relativna vitkost izvijanja</b>   | $\lambda_{rel,z}$   | 1,917   |                   |
| <b>Pomoćni faktor za izvijanje</b>   | $k_z$               | 2,500   |                   |
| <b>Faktor za izvijanje</b>           | $k_{c,z}$           | 0,244   |                   |

Napomena: faktor smanjenja čvrstoće na savijanje zbog izbočivanja,  $k_{crit} = 1$

Tablica 66: Interakcija tlaka + izvijanja i savijanja rogova POZ 102-1

| Interakcija tlak + izvijanje i savijanje  |                  |         |                   |
|---|------------------|---------|-------------------|
| <b>Proračunski moment savijanja oko osi y-y</b>                                 | $M_{y,Ed}$       | 11,71   | kNm               |
| <b>Moment otpora na savijanje oko osi y-y</b>                                   | $W_y$            | 1129333 | mm <sup>3</sup>   |
| <b>Proračunsko naprezanje na savijanje oko osi y-y</b>                          | $\sigma_{m,y,d}$ | 10,37   | N/mm <sup>2</sup> |
| <b>Proračunska tlačna sila</b>  | $F_{c,0,d}$      | 47,64   | kN                |
| <b>Proračunska površina presjeka</b>  | $A$              | 30800   | mm <sup>3</sup>   |
| <b>Proračunsko tlačno naprezanje paralelno s vlaknima</b>                       | $\sigma_{c,0,d}$ | 1,55    | N/mm <sup>2</sup> |
| Provjera otpornosti   |                  |         |                   |
| <b>Provjera otpornosti interakcije tlak + izvijanje (oko osi y) i savijanje</b> | 0,82             | <1      |                   |
| <b>Provjera otpornosti interakcije tlak + izvijanje (oko osi z) i savijanje</b> | 0,83             | <1      |                   |

## Pajante POZ P102-P103

Tablica 67: Proračun izvijanja pajante POZ P102

| Izvijanje (oko osi y)                |                     |         |                 |
|--------------------------------------|---------------------|---------|-----------------|
| <b>Moment tromosti presjeka</b>      | $I_y$               | 2,7E+07 | $\text{mm}^2$   |
| <b>Duljina izvijanja</b>             | $l_{i,y}$           | 4,21    | m               |
| <b>Vitkost izvijanja</b>             | $\lambda_y$         | 91,15   |                 |
| <b>Kritično naprezanje izvijanja</b> | $\sigma_{c,crit,y}$ | 8,79    | $\text{N/mm}^2$ |
| <b>Relativna vitkost izvijanja</b>   | $\lambda_{rel,y}$   | 1,546   |                 |
| <b>Pomoćni faktor za izvijanje</b>   | $k_y$               | 1,819   |                 |
| <b>Faktor za izvijanje</b>           | $k_{c,y}$           | 0,360   |                 |
| Izvijanje (oko osi z)                |                     |         |                 |
| <b>Moment tromosti presjeka</b>      | $I_z$               | 6826667 | $\text{mm}^2$   |
| <b>Duljina izvijanja</b>             | $l_{i,z}$           | 2,11    | m               |
| <b>Vitkost izvijanja</b>             | $\lambda_z$         | 91,37   |                 |
| <b>Kritično naprezanje izvijanja</b> | $\sigma_{c,crit,z}$ | 8,75    | $\text{N/mm}^2$ |
| <b>Relativna vitkost izvijanja</b>   | $\lambda_{rel,z}$   | 1,549   |                 |
| <b>Pomoćni faktor za izvijanje</b>   | $k_z$               | 1,825   |                 |
| <b>Faktor za izvijanje</b>           | $k_{c,z}$           | 0,358   |                 |

Tablica 68: Interakcija tlaka + izvijanja pajante POZ P102-4

| Interakcija tlak + izvijanje   |                  |       |                 |
|--|------------------|-------|-----------------|
| <b>Proračunska tlačna sila</b>   | $F_{c,0,d}$      | 19,47 | kN              |
| <b>Proračunska površina presjeka</b>   | $A$              | 12800 | $\text{mm}^3$   |
| <b>Proračunsko tlačno naprezanje paralelno s vlaknima</b>                          | $\sigma_{c,0,d}$ | 1,52  | $\text{N/mm}^2$ |
| <b>Provjera otpornosti interakcije tlak + izvijanje (oko osi y(z)) i savijanje</b> | 0,29             | <1    |                 |
| <b>Provjera otpornosti interakcije tlak + izvijanje (oko osi z) i savijanje</b>    | 0,29             | <1    |                 |

GNK zadovoljava provjeru graničnog stanja nosivosti.

#### 4.6.3. Provjera graničnog stanja uporabljivosti GNK

Tablica 69: Prikaz dozvoljenih progiba rogova POZ 102-103

| <b>Dozvoljeni progibi rogova POZ 102-103</b> |       |       |    |
|--|-------|-------|----|
| <b>Duljina grede</b>                         | L     | 7,10  | m  |
| <b>Početno nadvišenje</b>                    | wc    | 0     | mm |
| <b>Granični početni progib</b>               | L/300 | 23,67 | mm |
| <b>Granični neto konačni progib</b>          | L/250 | 28,40 | mm |

Tablica 70: Provjera GSU početnih i konačnih progiba rogova POZ 102-2

| <b>Provjera GSU - kriterij početnih progiba</b> |                            |       |     |
|---|----------------------------|-------|-----|
| <b>Rezultantni početni progib</b>               | w <sub>inst</sub>          | 21,14 | mm  |
| <b>Provjera početnih progiba</b>                | w <sub>inst</sub> /(L/300) | 0,89  | < 1 |
| <b>Provjera GSU - kriterij konačnih progiba</b> |                            |       |     |
| <b>Rezultantni početni progib</b>               | w <sub>fin</sub>           | 23,55 | mm  |
| <b>Provjera konačnih progiba</b>                | w <sub>inst</sub> /(L/250) | 0,83  | < 1 |

GNK zadovoljava provjeru graničnog stanja uporabljivosti.

#### 4.6.4. Iskaz materijala

Tablica 71: Iskaz materijala za model C2

| Naziv elementa                              | Pozicija  | Komada | Duljina | Poprečni presjek |       | Volumen             |
|---|-----------|--------|---------|------------------|-------|---------------------|
|   |           | [kom]  | L [m]   | b [m]            | h [m] | V [m <sup>3</sup> ] |
| <b>GNK</b>                                  |           |        |         |                  |       |                     |
|   | POZ 102-1 | 1      | 14,92   | 0,14             | 0,22  | 0,460               |
|   | POZ 102-2 | 1      | 13,53   | 0,14             | 0,22  | 0,417               |
|   | POZ 102-3 | 1      | 12,13   | 0,14             | 0,22  | 0,374               |
|   | POZ 102-4 | 1      | 10,74   | 0,14             | 0,22  | 0,331               |
|   | POZ 103-1 | 1      | 9,34    | 0,14             | 0,22  | 0,288               |
| <b>Pajanta</b>                              |           |        |         |                  |       |                     |
|   | POZ P-101 | 4      | 7,28    | 0,16             | 0,16  | 0,745               |
|   | POZ P-102 | 1      | 3,61    | 0,16             | 0,16  | 0,092               |
| <b>Podroženice</b>                          |           |        |         |                  |       |                     |
|   | POZ 105-1 | 8      | 14,30   | 0,08             | 0,1   | 0,915               |
|   | POZ 105-2 | 1      | 12,26   | 0,08             | 0,1   | 0,098               |
|   | POZ 105-3 | 1      | 10,20   | 0,08             | 0,1   | 0,082               |
|   | POZ 105-4 | 1      | 8,58    | 0,08             | 0,1   | 0,069               |
|   | POZ 105-6 | 1      | 5,72    | 0,08             | 0,1   | 0,046               |
|   | POZ 105-7 | 1      | 4,06    | 0,08             | 0,1   | 0,032               |
| <b>Ukupno potrošnja drvenog materijala:</b> |           |        |         |                  |       | <b>3,948</b>        |

## 5. REKAPITULACIJA – OCJENA PRIKLADNOSTI RAZMATRANIH TEHNIČKIH RJEŠENJA

Prikladnost razmatranih konstrukcijskih sustava (modela) je u prvom koraku ocijenjena je prema kriteriju iskaza materijala, a u drugom i prema kriteriju jednostavnosti izvođenja, odnosno zahtjevnosti izvedbe priključaka. Rezultati su prikazani u sljedećoj tablici.

Tablica 72: Rezultati analize modela i ocjena prikladnosti sustava

| Varijanta | Element         | Rezultati analize modela (sile i pomaci) |                 |                   |                              |       |                   |                   | Utrošak materijala |
|-----------|-----------------|--|-----------------|-------------------|------------------------------|-------|-------------------|-------------------|--------------------|
|           |                 | Max moment                               | Max udužna sila | Max poprečna sila | Moment + uzdužna tlačna sila |       | Max početni pomak | Max konačni pomak |                    |
|           |                 | maxMy                                    | maxFx           | maxFy             | My                           | Fx    | maxWinst          | maxWfin           |                    |
|           |                 | [kNm]                                    | [kN]            | [kN]              | [kNm]                        | [kN]  | mm                | mm                |                    |
| Model 0   | Rogovi          | 2,15                                     | 13,74           | 5,38              | 1,80                         | 11,17 | 7,68              | 10,14             | 3,10               |
|           | Pajanta         |  | 13,03           |                   |                              |       |                   |                   | 2,46               |
|           | Kosnici/stupovi |  | 5,00            |                   |                              |       |                   |                   | 0,61               |
|           |                 |  |                 |                   |                              |       | <b>Ukupno:</b>    |                   | <b>6,38</b>        |
| Model A   | Rogovi          | 4,41                                     | 17,45           | 5,60              | 3,66                         | 12,09 | 15,70             | 17,24             | 1,85               |
|           | Pajanta         |  | 15,51           |                   |                              |       |                   |                   | 1,58               |
|           | Kosnici/stupovi |  | 8,48            |                   |                              |       |                   |                   | 0,55               |
|           |                 |  |                 |                   |                              |       | <b>Ukupno:</b>    |                   | <b>4,18</b>        |
| Model B1  | Rogovi          | 4,40                                     | 20,21           | 5,57              | 3,67                         | 14,47 | 15,75             | 17,32             | 1,85               |
|           | Pajanta         |  | 15,42           |                   |                              |       |                   |                   | 1,58               |
|           | Kosnici         |  | 5,96            |                   |                              |       |                   |                   | 0,30               |
|           |                 |  |                 |                   |                              |       | <b>Ukupno:</b>    |                   | <b>3,73</b>        |
| Model B2  | Rogovi          | 3,21                                     | 19,83           | 4,92              | 2,99                         | 14,65 | 9,89              | 11,07             | 1,85               |
|           | Pajanta         |  | 13,03           |                   | 1,51                         | 13,03 |                   |                   | 1,58               |
|           | Kosnici         |  | 8,48            |                   |                              |       |                   |                   | 0,24               |
|           |                 |  |                 |                   |                              |       | <b>Ukupno:</b>    |                   | <b>3,67</b>        |
| Model C1  | Rogovi          | 5,35                                     | 25,96           | 6,18              | 3,25                         | 20,42 | 12,90             | 13,18             | 2,54               |
|           | Pajanta         |  | 18,78           |                   | 1,62                         | 18,78 |                   |                   | 1,58               |
|           |                 |  |                 |                   |                              |       | <b>Ukupno:</b>    |                   | <b>4,12</b>        |
|           | Rogovi          | 11,79                                    | 65,41           | 13,38             | 11,71                        | 47,64 | 21,14             | 23,55             | 1,87               |
| Model C2  | Pajanta         |  | 38,94           |                   |                              |       |                   |                   | 0,84               |
|           | Podroženice     | 1,47                                     |                 | 3,93              |                              |       |                   |                   | 1,24               |
|           |                 |  |                 |                   |                              |       | <b>Ukupno:</b>    |                   | <b>3,95</b>        |

Tablica 73: Komentar prikladnosti sustava i preporuke izbora

| Model    | Prikaz poprečnog presjeka | Komentari prikladnosti sustav i preporuke  |
|----------|---------------------------|--|
| Model 0  |                           | Početno krovište je predimenzionirano, iskoristivost rogova poprečnog presjeka C24 140/180 mm je ispod 30%, pa je kao takvo neekonomično. Može se usvojiti poprečni presjek glavnih nosača C24 100/140 mm koji zadovoljava sva granična stanja. Provjere GSU nisu mjerodavne za dimenzioniranje.   |
| Model A  |                           | Smanjenje utroška drvenog materijala s povećanjem rastera GNK na 1,25 m. Nameće se kao ekonomičnije rješenje od modela 0. Provjere GSU nisu mjerodavne za dimenzioniranje.   |
| Model B1 |                           | Provđenom analizom zaključujemo da sustav sa sljemenjačom i stupovima ne doprinosi značajno nosivosti krovišta (minimalna smanjenja reznih sila), stoga model 0 i model A možemo isključiti kao najbolje rješenje. Provjere GSU nisu mjerodavne za dimenzioniranje.  |
| Model B2 |                           | U modelu B2 dolazi do minimalnog smanjenja reznih sila i momenata savijanja u odnosu na model B1. Prednost modela B2 u odnosu na model B1 je jednostavniji spoj kosnika POZ K1. Provjere GSU nisu mjerodavne za dimenzioniranje.   |
| Model C1 |                           | U Modelu C1 povećani su presjeci GNK na 12/16 cm što rezultira minimalni povećanje utroška drvenog materijala. Prednost modela C1 je što je broj elemenata GNK i broj spojeva smanjen na minimum, te se kao takav u cijelosti nameće kao najekonomičnije rješenje. Provjere GSU nisu mjerodavne za dimenzioniranje.  |
| Model C2 |                           | U modelu C2 presjek GNK iznosi 14/22 cm. Veličina reznih sila i momenata savijanja cca 2-3 puta veća nego u C1, što rezultira glomaznim spojevima (neekonomičnim spojevima po pitanju utroška spojnih sredstva i jednostavnosti izvedbe samih spojeva). Zbog rastera GNK od 2,38 potrebna je uporaba podrožnica što povećava ukupan broj spojeva i spojnih sredstva. Zbog svega navedenog model C2 nije prihvatljivo rješenje. |

Na temelju provedenih analiza model C1 se može smatrati optimalnim konstrukcijskim rješenjem zamjene postojeće konstrukcije u skladu s unaprijed definiranim kriterijima izbora – iskaza materijala, jednostavnosti priključaka i izvedbe.

## 6. PRORAČUN SPOJEVA

Proračun spojeva proveden je za varijantu koja je odabrana kao najprihvativija (C1). Proračun nosivosti spojeva je preliminaran i proveden primjenom tablica iz kataloga spajala proizvođača Rothoblaas [12]. Iz kataloga proizvođača su preuzete specifikacije spajnoga pribora i spajala (tj. tehnički podatci o dimenzijama spajnog pribora, karakterističnim čvrstoćama / kvaliteti čelika za spojni pribor i spajala).

Provjera graničnog stanja nosivosti prema normi HRN EN 1995-1-1:2013 [6].

### 6.1. Spoj rogov u sljemenu - spoj sa čeličnom trakom

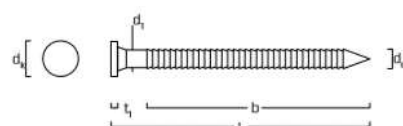
Tablica 74: Mjerodavne proračunske sile u provjerama nosivosti spoja

| Mjerodavne sile u provjerama nosivosti spoja (ST+VP+SN2) |           |      |    |
|--|-----------|------|----|
| <b>Posmična sila</b>                                     | $F_{y,d}$ | 2,14 | kN |
| <b>Uzdužna tlačna sila</b>                               | $F_{x,d}$ | 4,14 | kN |
| <b>Rezultatna sila u spoju</b>                           | $F_d$     | 4,66 | kN |

Napomena: Spoj je proračunat na rezultantnu silu u spoju.

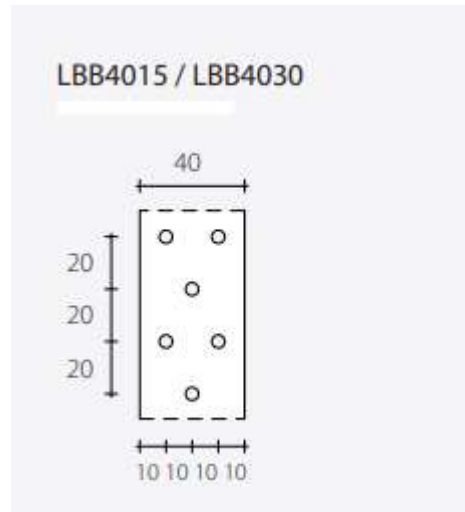
Tablica 75: Vrsta spojnih sredstava u spoju rogov u sljemenu

| Proračun spoja GNK u sljemenu - spoj sa čeličnom trakom |                           |     |    |
|---|---------------------------|-----|----|
| Vrsta čelične trake                                     | <b>Rothoblaas LBB4015</b> |     |    |
| Debljina čelične trake                                  | <b>s</b>                  | 1,5 | mm |
| Vrsta spajala   | <b>Rothoblaas LBA460</b>  |     |    |
| Promjer spajala   | <b>d<sub>1</sub></b>      | 4   | mm |
| Duljina spajala   | <b>L</b>                  | 60  | mm |
| Duljina nareza  | <b>b</b>                  | 50  | mm |



| Nominal diameter                               | $d_1$ [mm]                     | 4    | 6     |
|--|--------------------------------|------|-------|
| Head diameter                                  | $d_2$ [mm]                     | 8,00 | 12,00 |
| Underhead diameter                             | $d_{\text{uh}}$ [mm]           | 4,40 | 6,65  |
| Head thickness                                 | $t_1$ [mm]                     | 1,40 | 2,00  |
| Pre-drilling hole diameter                     | $d_v$ [mm]                     | 3,0  | 4,5   |
| Characteristic yield moment                    | $M_{y,k}$ [Nm]                 | 6500 | 19000 |
| Characteristic withdrawal-resistance parameter | $f_{w,k}$ [N/mm <sup>2</sup> ] | 7,5  | 7,5   |
| Characteristic tensile strength                | $f_{t,k}$ [kN]                 | 6,9  | 11,4  |

Slika 60: Karakteristike LBA čavala [14]



Slika 61: Prikaz razmaka rupa LBB čelične trake [14]

Tablica 75: provjera otpornosti spajala na bočno opterećenje

| Provjera otpornosti spojala na bočno opterećenje        |                                   |      |     |
|---|-----------------------------------|------|-----|
| Karakteristična nosivost bočno opterećenog čavla        | R <sub>v,Rk</sub>                 | 2,5  | kN  |
| Faktor izmjene  | k <sub>mod</sub>                  | 0,9  |     |
| Faktor sigurnosti za drveni materijal                   | γ <sub>M</sub>                    | 1,3  |     |
| Proračunska nosivost bočno opterećenog čavla            | R <sub>v,Rd</sub>                 | 1,73 | kN  |
| Ukupni broj čavala                                      | n                                 | 3    | kom |
| Broj čavala u redu                                      | n <sub>1</sub>                    | 2    | kom |
| Broj čavala u stupcu                                    | n <sub>2</sub>                    | 1    | kom |
| Koeficijent korekcije                                   | m <sub>ef</sub>                   | 1    |     |
| Proračunska nosivost spajala na bočno opterećenog čavla | ΣR <sub>1,d</sub>                 | 5,77 | kN  |
| Provjera otpornosti spajala na bočno opterećenje        | F <sub>d</sub> /ΣR <sub>1,d</sub> | 0,81 | <1  |

Tablica 76: Prijenos tlačne sile preko kosog sudara

| Prijenos tlačne sile preko kosog sudara                    |   |       |                   |
|--|---|-------|-------------------|
| Proračunska dodirna površina                               | A <sub>net</sub>  | 22800 | mm <sup>3</sup>   |
| Proračunsko naprezanje tlaka pod kutom na vlakna           | σ <sub>c,α,d</sub>  | 0,18  | N/mm <sup>2</sup> |
| Kut između vlakana i djelovanje sile                       | α   | 57    | °                 |
| Faktor čvrstoće tlaka okomito na vlakna                    | k <sub>c,α</sub>  | 0,236 |                   |
| Provjera otpornosti napregnutog tlakom pod kutem na vlakna | σ <sub>c,α,d</sub> /<br>(k <sub>c,α</sub> *f <sub>c,0,d</sub> ) | 0,05  | < 1               |

Provjere kosog tlaka i posmika su pokazale da se te sile prenose preko dodirnih površina, karakteristični za tradicionalne spojeve te je u tom slučaju funkcija spajala konstruktivna (osiguranje). Provjere nosivosti su provedene za moguće nepovoljne slučajeve: a) da se neprikladnom izvedbom kontakt elemenata ne ostvari te b) da tijekom uporabnoga vijeka kontakt oslabi zbog učinka dimenzijskih nestabilnosti prouzročenih utjecajima okruženja (vlaga).

Detalj spoja rogova u sljemenu prikazan je u Nacrту 5 (Prilog 5).

## 6.2. Spoj rogova i pajante – spoj s vijkom

Tablica 77: Mjerodavna proračunska sila u provjerama nosivosti spoja

| Mjerodavne sile u provjerama nosivosti spoja (ST+VP+SN2) |       |       |    |
|--|-------|-------|----|
| Uzdužna tlačna sila                                      | $F_d$ | 18,78 | kN |

Tablica 78: Vrsta spojnog sredstva u spoju rogova i pajante

| Proračun spoja rogova i pajante - spoj sa vijkom |                      |          |      |
|--|----------------------|----------|------|
| Vrsta spajala                                    | Rothoblaas KOS16320B | Čvrstoća | 8.8. |
| Promjer spajala                                  | <b>d</b>             | M16      | mm   |
| Duljina spajala                                  | <b>L</b>             | 320      | mm   |
| Maksimalna širina spoja                          | <b>A</b>             | 285      | mm   |
| Prodor spajala u vanjski element spoja           | <b>t<sub>1</sub></b> | 80       | mm   |
| Prodor spajala u srednji element spoja           | <b>t<sub>2</sub></b> | 120      | mm   |

| KOS   |               |   |   |                |  |                  |        |     |     |     |                               |         |     |     |    |                               |        |     |      |      |                                       |               |                               |   |                |  |      |                            |    |    |
|---|---------------|---|---|----------------|--|------------------|--------|-----|-----|-----|-------------------------------|---------|-----|-----|----|-------------------------------|--------|-----|------|------|---------------------------------------|---------------|-------------------------------|---|----------------|--|------|----------------------------|----|----|
|   |               | <table> <thead> <tr> <th>Nominal diameter</th> <th>d [mm]</th> <th>M12</th> <th>M16</th> <th>M20</th> </tr> </thead> <tbody> <tr> <td>Key</td> <td>Ch [mm]</td> <td>19</td> <td>24</td> <td>30</td> </tr> <tr> <td>Head thickness</td> <td>k [mm]</td> <td>7,5</td> <td>10,0</td> <td>12,5</td> </tr> <tr> <td>Thread length</td> <td>b [mm]</td> <td>30<br/><math>L \leq 125 \text{ mm}</math></td> <td>38<br/>30<br/><math>125 &lt; L \leq 200 \text{ mm}</math></td> <td>46<br/>44<br/>52</td> </tr> <tr> <td></td> <td>[mm]</td> <td>49<br/><math>L &gt; 200 \text{ mm}</math></td> <td>57</td> <td>65</td> </tr> </tbody> </table> |   |                |  | Nominal diameter | d [mm] | M12 | M16 | M20 | Key                           | Ch [mm] | 19  | 24  | 30 | Head thickness                | k [mm] | 7,5 | 10,0 | 12,5 | Thread length                         | b [mm]        | 30<br>$L \leq 125 \text{ mm}$ | 38<br>30<br>$125 < L \leq 200 \text{ mm}$ | 46<br>44<br>52 |  | [mm] | 49<br>$L > 200 \text{ mm}$ | 57 | 65 |
| Nominal diameter  | d [mm]        | M12   | M16                                       | M20            |  |                  |        |     |     |     |                               |         |     |     |    |                               |        |     |      |      |                                       |               |                               |   |                |  |      |                            |    |    |
| Key   | Ch [mm]       | 19  | 24  | 30             |  |                  |        |     |     |     |                               |         |     |     |    |                               |        |     |      |      |                                       |               |                               |   |                |  |      |                            |    |    |
| Head thickness  | k [mm]        | 7,5   | 10,0                                      | 12,5           |  |                  |        |     |     |     |                               |         |     |     |    |                               |        |     |      |      |                                       |               |                               |   |                |  |      |                            |    |    |
| Thread length   | b [mm]        | 30<br>$L \leq 125 \text{ mm}$   | 38<br>30<br>$125 < L \leq 200 \text{ mm}$ | 46<br>44<br>52 |  |                  |        |     |     |     |                               |         |     |     |    |                               |        |     |      |      |                                       |               |                               |   |                |  |      |                            |    |    |
|   | [mm]          | 49<br>$L > 200 \text{ mm}$  | 57  | 65             |  |                  |        |     |     |     |                               |         |     |     |    |                               |        |     |      |      |                                       |               |                               |   |                |  |      |                            |    |    |
| Geometry according to DIN 601 (ISO 4016)  |               |   |   |                |  |                  |        |     |     |     |                               |         |     |     |    |                               |        |     |      |      |                                       |               |                               |   |                |  |      |                            |    |    |
| <table> <thead> <tr> <th>Material</th> <th>steel</th> <th>8.8</th> <th>8.8</th> <th>8.8</th> </tr> </thead> <tbody> <tr> <td><math>f_{ck}</math> [N/mm<sup>2</sup>]</td> <td>800</td> <td>800</td> <td>800</td> <td></td> </tr> <tr> <td><math>f_{yk}</math> [N/mm<sup>2</sup>]</td> <td>640</td> <td>640</td> <td>640</td> <td></td> </tr> <tr> <td>Characteristic value for yield moment</td> <td><math>M_{yk}</math> [Nm]</td> <td>153000</td> <td>324000</td> <td>579000</td> <td></td> </tr> </tbody> </table> |               |   |   |                |  | Material         | steel  | 8.8 | 8.8 | 8.8 | $f_{ck}$ [N/mm <sup>2</sup> ] | 800     | 800 | 800 |    | $f_{yk}$ [N/mm <sup>2</sup> ] | 640    | 640 | 640  |      | Characteristic value for yield moment | $M_{yk}$ [Nm] | 153000                        | 324000                                    | 579000         |  |      |                            |    |    |
| Material  | steel         | 8.8   | 8.8                                       | 8.8            |  |                  |        |     |     |     |                               |         |     |     |    |                               |        |     |      |      |                                       |               |                               |   |                |  |      |                            |    |    |
| $f_{ck}$ [N/mm <sup>2</sup> ]   | 800           | 800   | 800                                       |                |  |                  |        |     |     |     |                               |         |     |     |    |                               |        |     |      |      |                                       |               |                               |   |                |  |      |                            |    |    |
| $f_{yk}$ [N/mm <sup>2</sup> ]   | 640           | 640   | 640                                       |                |  |                  |        |     |     |     |                               |         |     |     |    |                               |        |     |      |      |                                       |               |                               |   |                |  |      |                            |    |    |
| Characteristic value for yield moment   | $M_{yk}$ [Nm] | 153000  | 324000                                    | 579000         |  |                  |        |     |     |     |                               |         |     |     |    |                               |        |     |      |      |                                       |               |                               |   |                |  |      |                            |    |    |
| Mechanical parameters according to CE marking, in accordance with EN 14592  |               |   |   |                |  |                  |        |     |     |     |                               |         |     |     |    |                               |        |     |      |      |                                       |               |                               |   |                |  |      |                            |    |    |

Slika 62: Karakteristike KOS vijka [14]

Tablica 79: Provjera otpornosti spajala na bočno opterećenje

| Provjera otpornosti spajala na bočno opterećenje                                    |                              |              |                   |
|---|------------------------------|--------------|-------------------|
| <b>Karakteristična gustoća</b>  | $\rho_k$                     | 350          | kg/m <sup>3</sup> |
| <b>Čvrstoća po oplošju rupe (za bočni element <math>\alpha=0^\circ</math>)</b>      | $f_{h1,0,k}$                 | 24,11        | N/mm <sup>2</sup> |
| <b>Čvrstoća po oplošju rupe (za srednji element <math>\alpha=33^\circ</math>)</b>   | $f_{h2,33,k}$                | 20,52        | N/mm <sup>2</sup> |
| <b>Omjer čvrstoča po oplošju rupe</b>   | $\beta$                      | 0,85         |                   |
| <b>Karakteristična vlačna čvrstoća spajala</b>                                      | $f_{u,k}$                    | 800          | Nmm <sup>2</sup>  |
| <b>Moment popuštanja spajal</b>   | $M_{y,Rk}$                   | 324000       | Nmm               |
| <b>Faktor izmjene</b>   | $k_{mod}$                    | 0,9          |                   |
| <b>Faktor sigurnosti za drveni materijal</b>  | $\gamma_M$                   | 1,3          |                   |
| <b>Faktor sigurnosti za metalna spajala</b>   | $\gamma_M$                   | 1,1          |                   |
| <b>Karakteristična nosivost bočno opterećenog vijka u dvoreznom spoju drvo-drvo</b> |                              |              |                   |
|   | $F_{v,Rk,1}$                 | 30858        | N                 |
|   | $F_{v,Rk,2}$                 | 19699        | N                 |
|   | $F_{v,Rk,3}$                 | 23905        | N                 |
|   | $F_{v,Rk,4}$                 | 17435        | N                 |
|   | <b><math>F_{v,Rk}</math></b> | <b>17435</b> | <b>N</b>          |
| <b>Proračunska nosivost bočno opterećenog vijka</b>                                 | $F_{v,Rd}$                   | 14,88        | kN                |
| <b>Reznost</b>  | $m$                          | 2            |                   |
| <b>Broj vijaka u spoju</b>  | $n$                          | 1            | kom               |
| <b>Proračunska nosivost na bočno opterećenje spajala u spoju</b>                    | $\Sigma F_{v,Rd}$            | 29,75        | kN                |
| <b>Provjera otpornosti spoja</b>  | $F_d / \Sigma F_{v,Rd}$      | <b>0,63</b>  | <b>&lt;1</b>      |

Detalj spoja rogova i pajante prikazan je u Nacrtu 6 (Prilog 5).

### 6.3. Spoj rogova na AB gredu – spoj sa kutnicima

Tablica 80: Mjerodavne sile u provjerama nosivosti spoja

| Mjerodavne sile u provjerama nosivosti spoja (ST+SS+VP) |       |       |    |
|---|-------|-------|----|
| Komponente mjerodavnih sila u provjerama spoja          |       |       |    |
| <b>Vertikalna reakcija</b>                              | $F_v$ | 17,24 | kN |
| <b>Horizontalna reakcija</b>                            | $F_H$ | 23,75 | kN |

Vertikalna reakcija koristi se u provjerama nalijeganja rogova na nazidnicu.

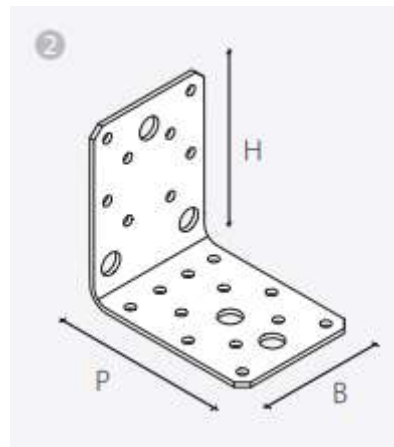
Horizontalna reakcija koristi se u provjeri bočne nosivosti spajala.

Tablica 81: Provjera nalijeganja rogova na nazidnicu

| Provjera nalijeganja rogova na nazidnicu (tlak okomito na vlakna) |                              |       |                   |
|---|------------------------------|-------|-------------------|
| Proračunska površina nalijeganja (120x120 mm)                     | A                            | 14400 | mm <sup>3</sup>   |
| Proračunska vertikalna sila                                       | F <sub>v</sub>               | 17,24 | kN                |
| Proračunsko naprezanje tlaka okomito na vlakna                    | $\sigma_{c,90,d}$            | 1,20  | N/mm <sup>2</sup> |
| Provjera otpornosti napregnutog tlakom okomito na vlakna          | $\sigma_{c,90,d}/f_{c,90,d}$ | 0,69  | < 1               |

Tablica 82: Vrsta spojnih sredstava u spoju rogova i nazidnice – spoj sa kutnikom

| Spoj nazidnice sa AB gredom |                    |     |    |
|-----------------------------|--------------------|-----|----|
| Vrsta kutnika               | Rothoblaas WBO90   |     |    |
| Dimenzije kutnika           | H                  | 90  | mm |
|                             | P                  | 90  | mm |
|                             | B                  | 65  | mm |
|                             | s                  | 2,5 | mm |
| Vrsta spajala - čavli       | Rothoblaas LBA460  |     |    |
| Promjer spajala             | d <sub>1</sub>     | 4   | mm |
| Duljina spajala             | L                  | 60  | mm |
| Duljina nareza              | b                  | 50  | mm |
| Vrsta spajala - sidro       | Rothoblaas AB12145 |     |    |
| Promjer spajala             | d <sub>1</sub>     | M12 | mm |
| Duljina spajala             | L <sub>f</sub>     | 145 | mm |



Slika 63: Prikaz WBO90 kutnika [14]

AB7 STANDARD washer ISO 7089

| CODE     | d = d <sub>0</sub> [mm] | L <sub>1</sub> [mm] | t <sub>fix</sub> [mm] | h <sub>L,min</sub> [mm] | h <sub>nom</sub> [mm] | h <sub>ef</sub> [mm] | d <sub>f</sub> [mm] | SW [mm] | T <sub>inst</sub> [Nm] | pcs. |
|----------|-------------------------|---------------------|-----------------------|-------------------------|-----------------------|----------------------|---------------------|---------|------------------------|------|
| AB71075  | 10                      | 75                  | 10                    | 65                      | 55                    | 50                   | 12                  | 17      | 35                     | 50   |
| AB712100 | 12                      | 100                 | 18                    | 80                      | 70                    | 60                   | 14                  | 19      | 55                     | 50   |
| AB712120 | 12                      | 120                 | 38                    | 80                      | 70                    | 60                   | 14                  | 19      | 55                     | 20   |
| AB716145 | 16                      | 145                 | 30                    | 110                     | 100                   | 85                   | 18                  | 24      | 100                    | 15   |
| AB716220 | 16                      | 220                 | 105                   | 110                     | 100                   | 85                   | 18                  | 24      | 100                    | 10   |
| AB720170 | 20                      | 170                 | 35                    | 125                     | 115                   | 100                  | 22                  | 30      | 150                    | 5    |



d = anchor diameter  
 d<sub>0</sub> = hole diameter in the concrete support  
 L<sub>1</sub> = anchor length  
 t<sub>fix</sub> = maximum fixing thickness  
 h<sub>L</sub> = minimum hole depth  
 h<sub>nom</sub> = nominal minimum anchoring depth

h<sub>ef</sub> = effective anchor depth  
 d<sub>f</sub> = maximum hole diameter in the element to be fastened  
 SW = wrench size  
 T<sub>inst</sub> = tightening torque



Slika 64: Karakteristike sidra AB12145 [14]

Tablica 83: Provjera otpornosti spajala na bočno opterećenje – spoj kutnika sa rogovima

| <b>Provjera otpornosti spajala na bočno opterećenje</b>        |                                   |       |     |
|--|-----------------------------------|-------|-----|
| <b>Karakteristična nosivost bočno opterećenog čavla</b>        | R <sub>v,Rk</sub>                 | 2,5   | kN  |
| <b>Faktor izmjene</b>  | k <sub>mod</sub>                  | 0,9   |     |
| <b>Faktor sigurnosti za drveni materijal</b>                   | γ <sub>M</sub>                    | 1,3   |     |
| <b>Proračunska nosivost bočno opterećenog čavla</b>            | R <sub>v,Rd</sub>                 | 1,73  | kN  |
| <b>Ukupni broj čavala</b>                                      | n                                 | 16    | kom |
| <b>Broj čavala u redu</b>                                      | n <sub>1</sub>                    | 2     | kom |
| <b>Broj čavala u stupcu</b>                                    | n <sub>2</sub>                    | 2     | kom |
| <b>Koeficijent korekcije</b>                                   | m <sub>ef</sub>                   | 0,9   |     |
| <b>Proračunska nosivost spajala na bočno opterećenog čavla</b> | ΣR <sub>1,d</sub>                 | 27,69 | kN  |
| <b>Provjera otpornosti spajala na bočno opterećenje</b>        | F <sub>d</sub> /ΣR <sub>1,d</sub> | 0,86  | <1  |

Detalj spoja rogova na AB gredu prikazan je u Nacrtu 7 (Prilog 5).

Tablica 84: Provjera otpornosti sidra na bočno opterećenje – spoj kutnika sa nazidnicom i AB gredom

| <b>Provjera otpornosti spajala na bočno opterećenje – spoj kutnika sa nazidnicom i AB gredom</b>      |  | <b>Rothoblaas<br/>AB12145</b>           |             |    |
|---|--|---|-------------|----|
| <b>Vrsta spajala - sidro</b>  |  |   |             |    |
| <b>Promjer spajala</b>  |  | <b>d</b>                                | M12         | mm |
| <b>Duljina spajala</b>  |  | <b>L<sub>f</sub></b>                    | 145         | mm |
| <b>Provjera otpornosti sidra na bočno opterećenje</b>   |  |   |             |    |
| <b>Karakteristična nosivost bočno opterećenog sidra</b>   |  | <b>V<sub>Rk,s</sub></b>                 | 21,1        | kN |
| <b>Faktor sigurnosti za metalna spajala</b>   |  | <b>γ<sub>M</sub></b>                    | 1,25        |    |
| <b>Broj sidara po kutniku</b>   |  | <b>n</b>                                | 2           |    |
| <b>Proračunska nosivost bočno opterećenog sidra</b>   |  | <b>V<sub>Rd,s</sub></b>                 | 33,76       | kN |
| <b>Provjera otpornosti spoja</b>  |  | <b>V<sub>Rd,s</sub>/F<sub>H,d</sub></b> | <b>0,70</b> | <1 |
| Napomena: postavljaju se sidra u kutnike i po jedno sidro nazidnicu na polovici duljine između rogova |  |   |             |    |

Tablica 85: Minimalni razmaci čavala LBA u rogovima bez predbušenja za kut sile  $\alpha=0^\circ$ [14]

| NAILS INSERTED WITHOUT PRE-DRILLING HOLE |                  |    |                  |    |
|--|------------------|----|------------------|----|
|  |                  | 4  |                  | 6  |
| <b>a<sub>1</sub></b> [mm]                | <b>5·d · 0,7</b> | 14 | <b>5·d · 0,7</b> | 21 |
| <b>a<sub>2</sub></b> [mm]                | <b>3·d · 0,7</b> | 8  | <b>3·d · 0,7</b> | 13 |
| <b>a<sub>3,t</sub></b> [mm]              | <b>12·d</b>      | 48 | <b>12·d</b>      | 72 |
| <b>a<sub>3,c</sub></b> [mm]              | <b>7·d</b>       | 28 | <b>7·d</b>       | 42 |
| <b>a<sub>4,t</sub></b> [mm]              | <b>3·d</b>       | 12 | <b>3·d</b>       | 18 |
| <b>a<sub>4,c</sub></b> [mm]              | <b>3·d</b>       | 12 | <b>3·d</b>       | 18 |

## 7. ZAKLJUČAK

Ocjenom postojećeg stanja konstrukcije krovišta može se zaključiti da su zbog dugotrajnog izlaganja vlazi vidljiva oštećenja postojeće konstrukcije u obliku površinskih pukotina i truleži te je potrebna sanacija u obliku zamjene krovišta.

Analizirano je šest modela mogućih varijanti zamjene konstrukcije uključujući i početno stanje, te je za svaku varijantu izrađen KE model u programskom paketu Staad.pro i proveden proračun GSN i GSU.

U modelu početnog stanja (Model 0) analizom se dokazalo da je krovište predimenzionirano i da ukoliko se investitor odluči zamjeniti postojeću konstrukciju sa istim sustavom mogu se smanjiti poprečni presjeci nosivih elemenata (rogova, kosnika i stupova).

Zadržavanje postojećeg sustava analiziralo se i u Modelu A sa povećanjem rastera rogova na 1,25 m i s promjerom nagiba zapadne strehe na jedinstven nagib od  $33^\circ$  (primijenjeno u svim modelima osim u Modelu 0). Zbog povećanja rastera rogova smanjuje se utrošak materijala u odnosu na Model 0.

U odnosu na Model A u Modelima B1 i B2 uklonjen je primarni nosivi sustav sljemenjače sa stupovima i uzdužnim kosnicima. Razlika između Modela B1 i B2 je u načinu priključenja poprečnih kosnika. Analizom je dokazano da primarni sustav ne doprinosi nosivosti krovišta (ne dolazi do značajnog smanjenja reznih sila i momenata savijanja), te služi samo kao uzdužna stabilizacija koja bi se u ovim modelima osigurala sa čeličnim trakama i OSB dijafragmom.

Model C1 je sustav krovišta sa pajantom bez poprečnih kosnika korištenih u Modelima B1 i B2. Rezne sile i momenti savijanja nešto su veći no u prethodnim modelima što dovodi do povećanja poprečnog presjeka rogova u odnosu na njih. Ukupan utrošak drvenog materijala je neznatno veći, no prednost mu je manji broj spojeva i jednostavnost samog sustava.

U Modelu C2 zadržava se sustav s pajantom s povećanjem rastera rogova na 2,38 m. Zbog samog rastera rogova potrebna je uporaba podrožnica za oslanjanje OSB ploča (povećanje spojeva i broja elemenata). Rezne sile i momenti su 2 do 3 puta veći no u prethodnim modelima što rezultira većim poprečnim presjecima i glomaznim spojevima (oboje bitno utječe na jednostavnost izvedbe).

Nakon prevedenih analiza svih varijanti možemo zaključiti da je tehničko rješenje Modela C1 najekonomičnije rješenje vrednovano prema kriteriju iskaza količine materijala i izvedivosti rekonstrukcije uzimajući u obzir i izvođenje priključaka.

## 8. LITERATURA

1. HRN EN 1990:2011 Eurokod: Osnove projektiranja konstrukcija
2. HRN EN 1991-1-1:2016: Eurokod 1: Djelovanja na konstrukcije – Dio 1-1: Opća djelovanja – Obujamske težine, vlastite težine i uporabna opterećenja zgrada
3. HRN EN 1991-1-3:2012/NA:2016 Eurokod 1: Djelovanja na konstrukcije – Dio 1-4: Opća djelovanja – Djelovanja vjetra
4. HRN EN 1991-1-4:2012/NA:2016 Eurokod 1: Djelovanja na konstrukcije – Dio 1-3: Opća djelovanja – Opterećenje snijegom
5. HRN EN 338:2016 – Konstrukcijsko drvo – Razredi čvrstoće
6. HRN EN 1995-1-1:2013 Eurokod 5: Projektiranje drvenih konstrukcija – Dio 1-1: Općenito – Opća pravila i pravila za zgrade
7. HRN EN 300:2016 – Ploče s usmjerenim iverjem – Definicije, razradba i specifikacije
8. HRN EN 1992-1-1:2013 Eurokod 2: Projektiranje betonskih konstrukcija – Dio 1-1: Opća pravila i pravila za zgrade
9. Bjelanović, Adriana; Rajčić, Vlatka: „DRVENE KONSTRUKCIJE PREMA EUROPSKIM NORMAMA“, Hrvatska sveučilišna naklada i Građevinski fakultet Sveučilišta u Zagrebu, Zagreb, 2005, ur. J. Radić, p.p. 1 – 457 (ISBN 953-169-115-0), reizdanje (Hrvatska sveučilišna naklada, Građevinski fakultet Sveučilišta u Zagrebu i Zagora-Zagorje d.o.o.), Zagreb 2007., (ur. J radić), p.p. 1 – 458, ISBN 978-953-169-115-4
10. Bjelanović A., *Predavanja*, Građevinski fakultet Sveučilišta u Rijeci
11. Gutta, <https://www.gutta.hr/home/>, 15.05.2019.
12. Knauf, <https://knauf.hr/>, 15.05.2019.
13. Egger, <https://www.egger.com/shop/hr>, 20.06.2019.
14. Rothoblaas, <https://www.rothoblaas.com/>, 15.02.2020.

## **9. PRILOZI**

## PRILOG 1 – ANALIZA DJELOVANJA

### STALNO OPTEREĆENJE

Stalno opterećenje slojeva krovišta na grade postojeće konstrukcije prema HRN EN 1991-1-1:2016. [1]

- |                                     |                         |
|-------------------------------------|-------------------------|
| - Limeni pokrov (imitacija crijepa) | 0,050 kN/m <sup>2</sup> |
| - Letva + kontraletva 3/5 cm        | 0,021 kN/m <sup>2</sup> |

$$b = 3 \text{ cm}$$

$$h = 5 \text{ cm}$$

$$\rho = 380 \text{ kg/m}^3$$

$$\text{razmak letvi} = 0,33 \text{ m}$$

$$\text{razmak kontraletvi} = 1,25 \text{ m}$$

- |                            |                         |
|----------------------------|-------------------------|
| - Krovna folija            | -                       |
| - OSB ploče                | 0,081 kN/m <sup>2</sup> |
| d = 1,5 cm                 |                         |
| ρ = 550 kg/m <sup>3</sup>  |                         |
| - Izolacija 10 cm          | 0,100 kN/m <sup>2</sup> |
| - PVC folija               | -                       |
| - Knauf                    | 0,147 kN/m <sup>2</sup> |
| d = 1,25 cm                |                         |
| ρ = 1200 kg/m <sup>3</sup> |                         |

$$\text{Ukupno stalno opterećenje} \quad \Sigma G_k = 0,400 \text{ kn/m}^2$$

### OPTEREĆENJE SNIJEGOM

Proračun djelovanja snijega prema HRN EN 1991-1-3:2012/NA:2016: [3]

Lokacija: Strahoninec

Nadmorska visina: 164 m

Karakteristično opterećenje snijegom na tlu prema karti snježnih područja iz nacionalnog dodatka za područja kontinentalne Hrvatske:

$$s = 1,25 \text{ kN/m}^2$$



Slika 65: Karta snježnih područja RH [3]

Proračun karakterističnog opterećenja snijegom prema izrazu:

$$s_k = \mu * C_e * C_t * s$$

gdje je  $C_e = 1$  – faktor izloženosti (prema NA);  $C_t = 1$  – toplinski faktor (prema NA);  $\mu$  – koeficijent oblika opterećenja snijegom

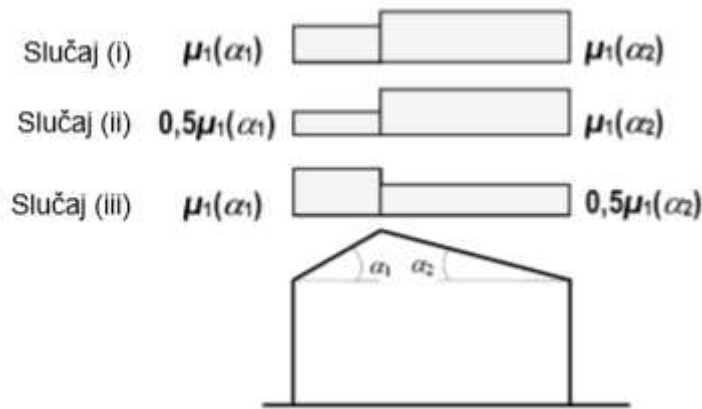
Proračun koeficijenta oblika prema izrazu za nagib krova  $30^\circ < \alpha < 60^\circ$ :

$$\mu_1 = 0,8 * \frac{60 - \alpha}{30}$$

gdje je  $\alpha$  -nagib krova

Tablica 86: Proračun koeficijenta oblika opterećenja snijegom

|                           |                        |            |
|---------------------------|------------------------|------------|
| <b>nagib krova lijevo</b> | $\alpha_{1,1}$         | $40^\circ$ |
| <b>nagib krova lijevo</b> | $\alpha_{1,2}$         | $33^\circ$ |
| <b>nagib krova desno</b>  | $\alpha_2$             | $33^\circ$ |
| <b>faktor oblika</b>      | $\mu_1 (\alpha_{1,1})$ | 0,53       |
|                           | $\mu_1 (\alpha_{1,2})$ | 0,72       |
|                           | $\mu_1 (\alpha_2)$     | 0,72       |



Slika 68: Koeficijenti oblika opterećenja snijegom za dvostrešne krovove [3]

Tablica 87: Prikaz karakterističnog opterećenja snijegom,  $s_k$

|                     | lijeva strela | desna strela |                   |
|---------------------|---------------|--------------|-------------------|
| $\alpha$            | 40 °          | 33 °         |                   |
| <b>Slučaj (i)</b>   | 0,67          | 0,9          | kN/m <sup>2</sup> |
| <b>Slučaj (ii)</b>  | 0,33          | 0,9          | kN/m <sup>2</sup> |
| <b>Slučaj (iii)</b> | 0,67          | 0,45         | kN/m <sup>2</sup> |
| $\alpha$            | 33 °          | 33 °         |                   |
| <b>Slučaj (i)</b>   | 0,90          | 0,9          | kN/m <sup>2</sup> |
| <b>Slučaj (ii)</b>  | 0,45          | 0,9          | kN/m <sup>2</sup> |
| <b>Slučaj (iii)</b> | 0,90          | 0,45         | kN/m <sup>2</sup> |

## OPTEREĆENJE VJETROM

Proračun djelovanja snijega prema HRN EN 1991-1-4:2012/NA:2012: [4]

Lokacija: Strahoninec

Kategorija terena: III

duljina hrapavosti  $z_0 = 0,3$  m

minimalna visina  $z_{\min} = 5$  m

maksimalna visina  $z_{\max} = 200$  m

Visina vrha krova (visina sljemenja):  $z = 9$  m

Proračun osnovne brzine vjetra prema izrazu:

$$v_b = c_{dir} * c_{season} * v_{b,0} = 20 \text{ m/s}$$

gdje je  $c_{dir} = 1$  – faktor smjera vjetra;  $c_{season} = 1$  – faktor godišnjeg doba;  $v_{b,0} = 20 \text{ m/s}$  – temeljna vrijednost osnovne brzine vjetra prema karti osnovne brzine vjetra danoj u nacionalnom dodatku (slika 2)



Slika 66: Osnovna brzina vjetra  $v_{b,0}$  [4]

Proračun tlaka pri vršnoj brzini vjetra prema izrazu:

$$q_p(z) = [1 + 7 * I_v(z)] * \frac{1}{2} * \rho * v_m^2(z)$$

gdje je  $I_v(z)$  – intenzitet turbulentnosti;  $\rho = 1,25 \text{ kg/m}^3$  – gustoća zraka;  $v_m(z)$  – srednja brzina vjetra

Proračun srednje brzine vjetra:

$$v_m(z) = c_r(z) * c_0(z) * v_b = 14,65 \text{ m/s}$$

Gdje je  $c_r(z)$  – faktor hrapavosti;  $c_0(z) = 1$  – faktor vertikalne razvedenosti terena

$$\text{Faktor hrapavosti za } z_{\min} < z < z_{\max}: c_r(z) = k_r * \ln\left(\frac{z}{z_0}\right) = 0,73$$

$$k_r \text{ faktor terena ovisan o duljini hrapavosti } z_0: k_r = 0,19 * \left(\frac{z_0}{z_{0,II}}\right)^{0,07} = 0,22 \text{ m}$$

$z_{0,II}$  – duljina hrapavosti za kategoriju terene II

Proračun intenziteta turbulentnosti za  $z_{\min} < z < z_{\max}$ :

$$I_v(z) = \frac{k_I}{c_0(z) * \ln\left(\frac{z}{z_0}\right)} = 0,29$$

gdje je  $k_l = 1$  – faktor turbulencije

Vrijednost tlaka pri vršnoj brzini vjetra:  $q_p(z) = 0,41 \text{ kN/m}^2$

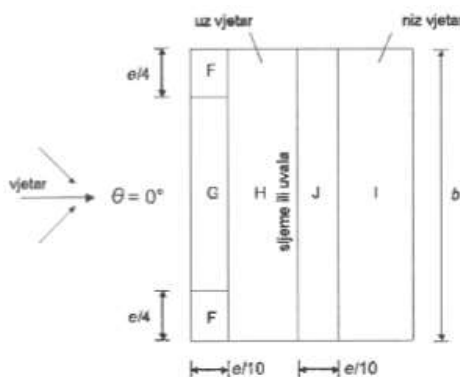
Određivanje zona vjetra za dvostrešne krovove:

Za smjer vjetra  $\theta = 0^\circ$

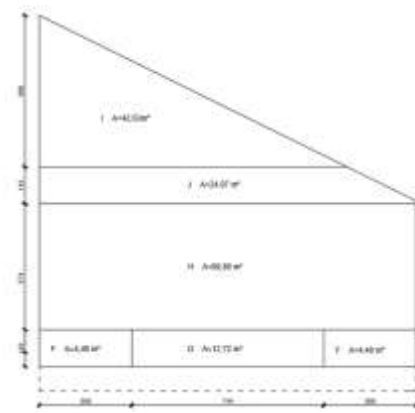
$$e = \min(b; 2h) = 14,30 \text{ m}$$

$b = 14,30 \text{ m}$  – dimenzija okomita na smjer vjetra

$h = 9 \text{ m}$  – visina sljemena



Slika 67: Prikaz vjetrovnih zona za smjer vjetra  $\theta = 0^\circ$  iz EN 1991-1-4:2012/NA:2012 [4]



Slika 68: Prikaz vjetrovnih zona krovišta za smjer vjetra  $\theta = 0^\circ$

$$e/4 = 3,58 \text{ m}$$

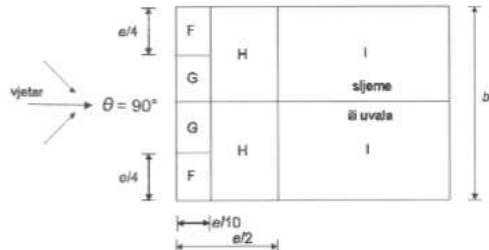
$$e/10 = 1,43 \text{ m}$$

Za smjer vjetra  $\theta = 90^\circ$

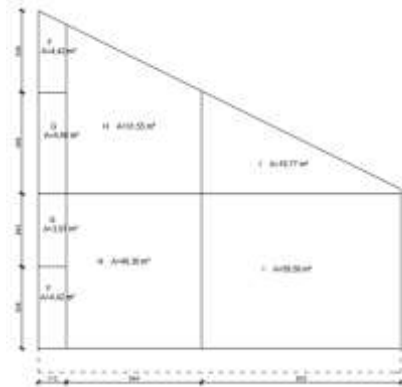
$$e = \min(b; 2h) = 13,13 \text{ m}$$

$$b = 13,13 \text{ m}$$

$$h = 9 \text{ m}$$



Slika 69: Prikaz vjetrovnih zona za smjer vjetra  $\theta = 90^\circ$  iz EN 1991-1-4:2012/NA:2012 [4]



Slika 70: Prikaz vjetrovnih zona krovišta za smjer vjetra  $\theta = 90^\circ$

$$e/4 = 3,28 \text{ m}$$

$$e/10 = 1,13 \text{ m}$$

$$e/2 = 6,57 \text{ m}$$

Tablica 88: Vrijednosti koeficijenata vanjskog tlaka za dvostrešne krovove  
(smjer vjetra  $\theta=0^\circ$ )

| Vrijednosti koeficijenta vanjskog tlaka za dvostrešne krovove (smjer vjetra $\theta=0^\circ$ ) |             |            |             |            |             |            |             |            |             |            |
|--|-------------|------------|-------------|------------|-------------|------------|-------------|------------|-------------|------------|
| Zona   | F           |            | G           |            | H           |            | I           |            | J           |            |
| kut $\alpha$   | $C_{pe,10}$ | $C_{pe,1}$ |
| $30^\circ$   | -0,5        | -1,5       | -0,5        | -1,5       | -0,2        |            | -0,4        |            | -0,5        |            |
|  | 0,7         |            | 0,7         |            | 0,4         |            | 0           |            | 0           |            |
| $45^\circ$   | 0           |            | 0           |            | 0           |            | -0,2        |            | -0,3        |            |
|  | 0,7         |            | 0,7         |            | 0,6         |            | 0           |            | 0           |            |
| Interpolacija za kut nagiba krovišta $\alpha$  |             |            |             |            |             |            |             |            |             |            |
| $40^\circ$   | -0,17       | -0,50      | -0,17       | -0,50      | -0,07       |            | -0,27       |            | -0,37       |            |
|  | 0,70        |            | 0,70        |            | 0,53        |            | 0,00        |            | 0,00        |            |
| $33^\circ$   | -0,4        |            | -0,4        |            | -0,16       |            | -0,36       |            | -0,46       |            |
|  | 0,7         |            | 0,7         |            | 0,44        |            | 0           |            | 0           |            |

Tablica 89: Vrijednosti koeficijenata vanjskog tlaka za dvostrešne krovove (smjer vjetra  $\theta=90^\circ$ )

| Vrijednosti koeficijenta vanjskog tlaka za dvostrešne krovove<br>(smjer vjetra $\theta=90^\circ$ ) |             |            |             |            |             |            |             |            |
|--|-------------|------------|-------------|------------|-------------|------------|-------------|------------|
| Zona   | F           |            | G           |            | H           |            | I           |            |
| kut $\alpha$   | $C_{pe,10}$ | $C_{pe,1}$ | $C_{pe,10}$ | $C_{pe,1}$ | $C_{pe,10}$ | $C_{pe,1}$ | $C_{pe,10}$ | $C_{pe,1}$ |
| 30°  | -1,1        | -1,5       | -1,4        | -2,0       | -0,8        | -1,2       | -0,5        | -0,5       |
| 45°  | -1,1        | -1,5       | -1,4        | -2,0       | -0,8        | -1         | -0,5        | -0,5       |
| Interpolacija za kut nagiba krovišta $\alpha$  |             |            |             |            |             |            |             |            |
| 40°  | -1,1        | -1,5       | -1,4        | -2,0       | -0,8        | -1,07      | -0,5        | -0,5       |
| 33°  | -1,1        | -1,5       | -1,4        | -2,0       | -0,8        | -0,33      | -0,5        | -0,5       |

Tablica 90: Površine vjetrovnih zona

| Površine vjetrovnih zona (smjer vjetra $\theta=0^\circ$ )  |      |       |       |       |       |
|--|------|-------|-------|-------|-------|
| Zona   | F    | G     | H     | I     | J     |
| A [m <sup>2</sup> ]  | 4,49 | 12,72 | 99,86 | 24,97 | 42,63 |
| Površine vjetrovnih zona (smjer vjetra $\theta=90^\circ$ ) |      |       |       |       |       |
| Zona   | F    | G     | H     | I     | J     |
| A [m <sup>2</sup> ]  | 4,42 | 3,97  | 40,36 | 19,77 | -     |

Tablica 91: Koeficijenti vanjskog tlaka  $C_{pe}$  za površine vjetrenih zona između 1 m<sup>2</sup> i 10 m<sup>2</sup>

| Koeficijent vanjskog tlaka $C_{pe}$ za površine vjetrovnih zona između 1 m <sup>2</sup> i 10 m <sup>2</sup> |          |          |          |          |          |
|---|----------|----------|----------|----------|----------|
| smjer vjetra $\theta=0^\circ$   |          |          |          |          |          |
| Zona  | F        | G        | H        | I        | J        |
| kut $\alpha$  | $C_{pe}$ | $C_{pe}$ | $C_{pe}$ | $C_{pe}$ | $C_{pe}$ |
| 40°   | -0,28    | -        | -        | -        | -        |
|   | 0,7      | -        | -        | -        | -        |
| 33°   | -0,4     | -        | -        | -        | -        |
|   | 0,7      | -        | -        | -        | -        |
| smjer vjetra $\theta=90^\circ$  |          |          |          |          |          |
| Zona  | F        | G        | H        | I        | J        |
| kut $\alpha$  | $C_{pe}$ | $C_{pe}$ | $C_{pe}$ | $C_{pe}$ | $C_{pe}$ |
| 40°   | -1,24    | -1,64    | -        | -        | -        |
| 33°   | -1,24    | -1,64    | -        | -        | -        |

Rezultantni pritisci vjetra na krov:

Tlak pri vršnoj brzini vjetra  $q_p(z) = 0,41 \text{ kN/m}^2$

Faktor pozitivnog unutrašnjeg pritiska vjetra  $C_{pi} = 0,2 \text{ kN/m}^2$

Faktor negativnog unutrašnjeg pritiska vjetra  $C_{pi} = -0,3 \text{ kN/m}^2$

Izraz za tlak vjetra koji djeluje na vanjske površine  $w_e: w_e = q_p(z_e) * C_{pe}$

Izraz za tlak vjetra koji djeluje na unutarnje površine  $w_i: w_i = q_p(z_i) * C_{pi}$

Tablica 92: Rezultantni pritisak vjetra na krov ( $\theta=0^\circ; \alpha=40^\circ$ )

| Rezultantni pritisak vjetra na krov $\theta=0^\circ \alpha=40^\circ$ |                   | F            | G            | H            | I            | J            |
|--|-------------------|--------------|--------------|--------------|--------------|--------------|
| $\theta=0^\circ \alpha=40^\circ$                                     |                   |              |              |              |              |              |
| <b>We</b>  | kN/m <sup>2</sup> | -0,11        | -0,07        | -0,03        | -0,11        | -0,15        |
|  |                   | 0,29         | 0,29         | 0,22         | 0,00         | 0,00         |
| <b>Wi (-)</b>  | kN/m <sup>2</sup> | -0,12        | -0,12        | -0,12        | -0,12        | -0,12        |
|  |                   | 0,08         | 0,08         | 0,08         | 0,08         | 0,08         |
| <b>We-Wi(-)</b>  | kN/m <sup>2</sup> | 0,01         | 0,05         | 0,10         | 0,01         | -0,03        |
|  |                   | <b>0,41</b>  | <b>0,41</b>  | <b>0,34</b>  | <b>0,12</b>  | <b>0,12</b>  |
| <b>We-Wi(+)</b>  | kN/m <sup>2</sup> | <b>-0,20</b> | <b>-0,15</b> | <b>-0,11</b> | <b>-0,19</b> | <b>-0,23</b> |
|  |                   | 0,21         | 0,21         | 0,14         | -0,08        | -0,08        |

Tablica 93: Rezultantni pritisak vjetra na krov ( $\theta=0^\circ; \alpha=33^\circ$ )

| Rezultantni pritisak vjetra na krov $\theta=0^\circ \alpha=33^\circ$ |                   | F            | G            | H            | I            | J            |
|--|-------------------|--------------|--------------|--------------|--------------|--------------|
| $\theta=0^\circ \alpha=33^\circ$                                     |                   |              |              |              |              |              |
| <b>We</b>  | kN/m <sup>2</sup> | -0,16        | -0,16        | -0,07        | -0,15        | -0,19        |
|  |                   | 0,29         | 0,29         | 0,18         | 0,00         | 0,00         |
| <b>Wi (-)</b>  | kN/m <sup>2</sup> | -0,12        | -0,12        | -0,12        | -0,12        | -0,12        |
|  |                   | 0,08         | 0,08         | 0,08         | 0,08         | 0,08         |
| <b>We-Wi(-)</b>  | kN/m <sup>2</sup> | -0,04        | -0,04        | 0,06         | -0,02        | -0,07        |
|  |                   | <b>0,41</b>  | <b>0,41</b>  | <b>0,30</b>  | <b>0,12</b>  | <b>0,12</b>  |
| <b>We-Wi(+)</b>  | kN/m <sup>2</sup> | <b>-0,25</b> | <b>-0,25</b> | <b>-0,15</b> | <b>-0,23</b> | <b>-0,27</b> |
|  |                   | 0,21         | 0,21         | 0,10         | -0,08        | -0,08        |

Tablica 94: Rezultantni pritisak vjetra na krov ( $\theta=90^\circ$ ;  $\alpha=33^\circ$  i  $40^\circ$ )

| Rezultantni pritisak vjetra na krov $\theta=90^\circ$ $\alpha=33^\circ$ |                   |       |        |       |       |
|---|-------------------|-------|--------|-------|-------|
| $\theta=90^\circ$ $\alpha=36^\circ$                                     |                   | F     | G      | H     | I     |
| We  | kN/m <sup>2</sup> | -0,51 | -0,67  | -0,33 | -0,21 |
| Wi (-)  | kN/m <sup>2</sup> | -0,12 | 99,00  | -0,12 | -0,12 |
| Wi (+)  |                   | 0,08  | 0,08   | 0,08  | 0,08  |
| We-Wi(-)  | kN/m <sup>2</sup> | -0,39 | -99,67 | -0,21 | -0,08 |
| We-Wi(+)  | kN/m <sup>2</sup> | -0,59 | -0,75  | -0,41 | -0,29 |

## KOMBINACIJE DJELOVANJA

Kombinacije djelovanja prema normi HRN EN 1990:2011 [1].

Za granično stanje nosivosti koristi se kombinacija djelovanja za stalne ili prolazne proračunske kombinacije.

$$\sum_{j \geq 1} \gamma_{G,j} G_{k,j} + \gamma_P P + \gamma_{Q,1} Q_{k,1} + \sum_{i > 1} \gamma_{Q,i} \psi_{0,i} Q_{k,i}$$

gdje je:  $G_{k,j}$  karakteristična vrijednost stalnog djelovanja;  $P$  odgovorajuća reprezentativna vrijednost prednapinjanja;  $Q_{k,1}$  karakteristična vrijednost prevladavajućeg promjenjivog djelovanja j;  $Q_{k,i}$  karakteristična vrijednost pratećeg promjenjivog djelovanja;  $\gamma_{G,j}$  parcijalni koeficijent za stalno djelovanje;  $\gamma_P$  parcijalni koeficijent za djelovanje prednapinjanja;  $\gamma_{Q,1}$  parcijalni koeficijent za promjenjivo djelovanje 1;  $\gamma_{Q,i}$  parcijalni koeficijent za promjenjivo djelovanje i;  $\psi_0$  faktor za kombinacijsku vrijednost promjenjivog djelovanja

Za granično stanje uporabljivosti koristi se nazovistalna kombinacija djelovanja za dugotrajne učinke i izgled konstrukcije (progib i raspucavanje).

$$\sum_{j \geq 1} G_{k,j} + P + \sum_{i > 1} \psi_{2,i} Q_{k,i}$$

gdje je:  $\psi_2$  faktor za nazovistalnu vrijednost promjenjivog djelovanja

Kombinacije će se unesti preko modela u programu staad-pro.

Tablica 95: Popis kombinacija opterećenja provedenih za sve varijante konstrukcija

| Br. | Kombinacija                                      | Kratica            |
|-----|--|--------------------|
| 1.  | stalno + snijeg simetrično                       | ST + SS            |
| 2.  | stalno + snijeg nesimetrično 1                   | ST + SN1           |
| 3.  | stalno + snijeg nesimetrično 2                   | ST + SN2           |
| 4.  | stalno + vjetar pritisak                         | ST + VP            |
| 5.  | stalno + vjetar odizanje $\theta=0^\circ$        | ST + VO $0^\circ$  |
| 6.  | stalno + vjetar odizanje $\theta=90^\circ$       | ST + VO $90^\circ$ |
| 7.  | stalno + snijeg simetrično + vjetar pritisak     | ST + SS + VP       |
| 8.  | stalno + snijeg nesimetrično 1 + vjetar pritisak | ST + SN1 + VP      |
| 9.  | stalno + snijeg nesimetrično 2 + vjetar pritisak | ST + SN2 + VP      |
| 10. | stalno + vjetar pritisak + snijeg simetrično     | ST + VP + SS       |
| 11. | stalno + vjetar pritisak + snijeg nesimetrično 1 | ST + VP + SN1      |
| 12. | stalno + vjetar pritisak + snijeg nesimetrično 2 | ST + VP + SN2      |

**Legenda:**

ST - stalno opterećenje  
 SS - simetrično opterećenje snijegom  
 SN1 - nesimetrično opterećenje snijegom (puno opterećenje na zapadnoj strani krovišta)  
 SN2 - nesimetrično opterećenje snijegom (puno opterećenje na istočnoj strani krovišta)  
 VP - opterećenje vjetrom - pritisak  
 VO  $0^\circ$  - opterećenje vjetrom - odizanje (smjer vjetra  $\theta=0^\circ$ )  
 VO  $90^\circ$  - opterećenje vjetrom - odizanje (smjer vjetra  $\theta=90^\circ$ )

## PRILOG 1 – IZRAZI IZ HRN EN 1995

### Izrazi iz HRN EN 1995 korišteni u proračunu [6]

Proračunska čvrstoća na savijanje:  $f_{m,d} = k_{mod} * \frac{f_{m,0,k}}{\gamma_M} * k_h$

gdje je:  $k_{mod} = 0,9$  – faktor izmjene čvrstoće, za cjelovito drvo, razred uporabe 2 i za kratko trajanje opterećenja;  $\gamma_M = 1,3$  – faktor sigurnosti za materijal;  $k_h$  – faktor visine presjeka

faktor visine presjeka za cjelovito drvo  $k_h = \min\left(\left(\frac{150}{h}\right)^{0,2}; 1,3\right)$

Izraz za proračunsko naprezanje na savijanje:  $\sigma_{m,d} = \frac{M_{Ed}}{W}$

gdje je:  $W$  – moment otpora na savijanje

Moment otpora na savijanje oko osi y-y:  $W_y = \frac{b * h^2}{6}$

Moment otpora na savijanje oko osi z-z:  $W_z = \frac{b^2 * h}{6}$

Proračunsko naprezanje na savijanje oko osi y-y:  $\sigma_{m,y,d} = \frac{M_{y,Ed}}{W_y}$

Proračunsko naprezanje na savijanje oko osi z-z:  $\sigma_{m,z,d} = \frac{M_{z,Ed}}{W_z}$

Provjera presjeka na koso savijanje oko osi y-y:  $\frac{\sigma_{my,d}}{f_{m,d}} + k_m * \frac{\sigma_{m,z,d}}{f_{m,d}} \leq 1$

Provjera presjeka na koso savijanje oko osi z-z:  $k_m * \frac{\sigma_{my,d}}{f_{m,d}} + \frac{\sigma_{m,z,d}}{f_{m,d}} \leq 1$

gdje je:  $k_m = 0,7$  – faktor oblika presjeka, za kvadratne poprečne presjekе

Proračunska čvrstoća na savijanje:  $f_{v,d} = k_{mod} * \frac{f_{v,k}}{\gamma_M}$

Izraz za proračunsko posmično naprezanje:  $\tau_{v,d} = 1,5 * \frac{V_d}{A_{eff}}$

gdje je:  $A_{eff}$  – proračunska površina presjeka;  $k_{cr} = 0,67$  – faktor utjecaja pukotina za cjelovito drvo

$A_{eff} = (b * k_{cr}) * h$

Provjera otpornosti presjeka na posmik:  $\frac{\tau_{v,d}}{f_{v,d}} < 1$ .

Izraz za proračun faktora izvijanja  $k_{c,i}$ :

$$k_{c,i} = \frac{1}{k_i + \sqrt{k_i^2 - \lambda_{rel,i}^2}}$$

gdje je:  $k_i$  – pomoći faktor za izvijanje;  $\lambda_{rel,i}$  – relativna vitkost izvijanja

Izraz za relativnu vitkost izvijanja:

$$\lambda_{rel,i} = \frac{\lambda_i}{\pi} * \sqrt{\frac{f_{c,0,k}}{E_{0,05}}}$$

gdje je:  $E_{0,05} = 7400 \text{ N/mm}^2$  – karakteristični modul elastičnosti za CD C24;  $\lambda_i$  – vitkosti izvijanja

Izraz za dobijanje vitkost izvijanja:

$$\lambda_i = l_i * \sqrt{\frac{A}{I_i}}$$

gdje je:  $l_i$  – duljina izvijanja;  $A$  – površina poprečno presjeka;  $I_y$  – moment tromosti

Izraz za proračun pomoćnog faktora izvijanja:

$$k_i = 0,5 * (1 + \beta_c * (\lambda_{rel,i} - 0,3) + \lambda_{rel,i}^2)$$

gdje je:  $\beta_c = 0,2$  – faktor početnog deformiranja za CD

Provjera otpornosti interakcija tlak + izvijanje (oko osi y-y) i savijanje:

$$\left( \frac{\sigma_{c,0,d}}{k_{c,y} * f_{c,0,d}} \right) + \left( \frac{\sigma_{m,d}}{f_{m,d}} \right) < 1$$

Provjera otpornosti interakcija tlak + izvijanje (oko osi z-z) i savijanje:

$$\left( \frac{\sigma_{c,0,d}}{k_{c,z} * f_{c,0,d}} \right) + \left( \frac{\sigma_{m,d}}{f_{m,d} * k_{crit}} \right)^2 < 1$$

## PRILOG 3 – PRORAČUN OPLATE KROVIŠTA

Proračun oplate krovišta OSB/3 [3] ploča prema normi HRN EN 300 [7]. Specifikacije dimenzija su preuzete iz kataloga proizvođača, kao i upute za montažu. Ovo su nosive vodootporne ploče čija namjena i jest oblaganje krovnih / zidnih ploha. U naizmjeničnom rasporedu polaganja kakav je naznačen u Tablici 1, djeluju i kao krovne dijafragme, te je dostatna konstruktivna (“dodatna”) stabilizacija čavlanim trakama. Proračun dijafragme / sprega je u ovoj analizi zanemaren.

Karakteristična opterećenja su navedena u Prilogu 1.

Tablica 96: Karakteristike i opis statickog sustava OSB/3 ploča

| Karakteristike OSB/3 ploča– kontinuirana ploča preko 2 raspona<br>L=2x1,25 m |                             |                      |                   |
|--|-----------------------------|----------------------|-------------------|
| Razred čvrstoće  | OSB/3                       | Razred uporabe       | 2                 |
| <b>Karakteristična gustoća</b>   |                             | Trajanje opterećenja | <b>kratko</b>     |
| $\rho_k$   | 550                         | kg/m <sup>3</sup>    |                   |
| <b>Duljina ploče</b>   | <b>L</b>                    | 2,5                  | m                 |
| <b>Širina ploče</b>  | <b>b</b>                    | 1,25                 | m                 |
| <b>Ojni razmak između oslonaca</b>   | <b>L<sub>1</sub></b>        | 1,25                 | m                 |
| <b>Proračunska širina</b>  | <b>b<sub>ef</sub></b>       | 1,25                 | m                 |
| <b>Debljina ploče</b>  | <b>d</b>                    | 2,2                  | cm                |
| <b>Srednji modul elastičnosti</b>  | <b>E<sub>m,0,mean</sub></b> | 4930                 | N/mm <sup>2</sup> |
| <b>Srednji modul posmika</b>   | <b>G<sub>r,mean</sub></b>   | 50                   | N/mm <sup>2</sup> |
| <b>Moment tromosti</b>   | <b>I</b>                    | 1109167              | mm <sup>4</sup>   |
| Karakteristične čvrstoće   |                             |                      |                   |
| <b>Karakteristična čvrstoća na savijanje</b>                                 | <b>f<sub>m,0,k</sub></b>    | 14,8                 | N/mm <sup>2</sup> |
| <b>Karakteristična posmična čvrstoća</b>                                     | <b>f<sub>r,k</sub></b>      | 1                    | N/mm <sup>2</sup> |
| Koefficijent potrebnii za proračun   |                             |                      |                   |
| <b>Faktor izmjene čvrstoće</b>   | <b>k<sub>mod</sub></b>      | 0,9                  |                   |
| <b>Faktor sigurnosti za materijal</b>  | <b>γ<sub>M</sub></b>        | 1,3                  |                   |
| <b>Faktor deformiranja</b>   | <b>k<sub>def</sub></b>      | 2,25                 |                   |
| Proračunske čvrstoće   |                             |                      |                   |
| <b>Proračunska čvrstoća na savijanje</b>                                     | <b>f<sub>m,0,d</sub></b>    | 10,25                | N/mm <sup>2</sup> |
| <b>Proračunska posmična čvrstoća</b>   | <b>f<sub>r,d</sub></b>      | 0,69                 | N/mm <sup>2</sup> |

## Kombinacije djelovanja prema Prilogu 1.

Tablica 97: Osnovna kombinacija za stalne/prolazne situacije (GSN)

| <b>Osnovna kombinacija za stalne/prolazne situacije (GSN)</b> |                                |             |             |
|---|--------------------------------|-------------|-------------|
| Kombinacija "stalno" + "snijeg"                               | $q_{y,d}$                      | 1,40        | kN/m        |
| Kombinacija "stalno" + "vjetar(+)"                            | $q_{y,d}$                      | 0,98        | kN/m        |
| Kombinacija "stalno" + "snijeg" + "vjetar(+)"                 | $q_{y,d}$                      | 1,86        | kN/m        |
| Kombinacija "stalno" + "vjetar(+)" + "snijeg"                 | $q_{y,d}$                      | 1,58        | kN/m        |
| <b>Proračunsko opterećenje (GSN)</b>                          | <b>max<math>q_{y,d}</math></b> | <b>1,86</b> | <b>kN/m</b> |

Tablica 98: Nazovistalna proračunska kombinacija - početna deformiranja (GSU)

| <b>Nazovistalna proračunska kombinacija - početna deformiranja (GSU)</b> |                                   |             |             |
|--|-----------------------------------|-------------|-------------|
| Kombinacija "stalno" + "snijeg"  | $q_{y,d}$                         | 0,95        | kN/m        |
| Kombinacija "stalno" + "vjetar(+)"                                       | $q_{y,d}$                         | 0,67        | kN/m        |
| Kombinacija "stalno" + "snijeg" + "vjetar(+)"                            | $q_{y,d}$                         | 1,26        | kN/m        |
| Kombinacija "stalno" + "vjetar(+)" + "snijeg"                            | $q_{y,d}$                         | 1,07        | kN/m        |
| <b>Proračunsko opterećenje (GSU-inst)</b>                                | <b>max<math>q_{y,inst}</math></b> | <b>1,26</b> | <b>kN/m</b> |

Tablica 99: Nazovistalna proračunska kombinacija - konačna deformiranja (GSU)

| <b>Nazovistalna proračunska kombinacija - konačna deformiranja (GSU)</b> |                                  |             |             |
|--|----------------------------------|-------------|-------------|
| Kombinacija "stalno" + "snijeg"  | $q_{y,d}$                        | 1,30        | kN/m        |
| Kombinacija "stalno" + "vjetar(+)"                                       | $q_{y,d}$                        | 1,02        | kN/m        |
| Kombinacija "stalno" + "snijeg" + "vjetar(+)"                            | $q_{y,d}$                        | 1,61        | kN/m        |
| Kombinacija "stalno" + "vjetar(+)" + "snijeg"                            | $q_{y,d}$                        | 1,42        | kN/m        |
| <b>Proračunsko opterećenje (GSU-fin)</b>                                 | <b>max<math>q_{y,fin}</math></b> | <b>1,61</b> | <b>kN/m</b> |

## Provjera graničnog stanja nosivosti

Tablica 100: Provjera otpornosti na savijanje OSB/3 ploča

| <b>Provjera na savijanje</b>               |  |              |                         |
|--|--|--------------|-------------------------|
| <b>Proračunsko opterećenje</b>             | <b>max<math>q_{y,d}</math></b>           | <b>1,86</b>  | <b>kN/m</b>             |
| <b>Proračunski moment savijanja</b>        | <b>M<sub>y,Ed</sub></b>                  | <b>0,29</b>  | <b>kNm</b>              |
| <b>Moment otpora na savijanje</b>          | <b>W<sub>net</sub></b>                   | <b>90750</b> | <b>mm<sup>3</sup></b>   |
| <b>Proračunsko naprezanje na savijanje</b> | <b>q<sub>m,d</sub></b>                   | <b>3,21</b>  | <b>N/mm<sup>2</sup></b> |
| <b>Provjera nosivosti</b>                  | <b>q<sub>m,d</sub>/f<sub>m,0,d</sub></b> | <b>0,31</b>  | <b>&lt; 1</b>           |

Tablica 101: Provjera otpornosti na posmik OSB/3 ploča

| Provjera posmika                       |                      |             |                   |
|--|----------------------|-------------|-------------------|
| <b>Proračunsko opterećenje</b>         | $\max q_{y,d}$       | 1,86        | kN/m              |
| <b>Proračunska posmična sila</b>       | $V_{Ed}$             | 1,40        | kN                |
| <b>Proračunska površina presjeka</b>   | $A_{eff}$            | 27500       | mm <sup>2</sup>   |
| <b>Proračunsko pomšično naprezanje</b> | $\tau_{v,d}$         | 0,08        | N/mm <sup>2</sup> |
| <b>Provjera nosivosti</b>              | $\tau_{v,d}/f_{r,d}$ | <b>0,11</b> | < 1               |

OSB/3 ploče debljine 22 mm zadovoljavaju provjeru graničnog stanja nosivosti.

### Provjera graničnog stanja uporabljivosti

Tablica 102: Prikaz dozvoljenih progiba OSB/3 ploča

| Dozvoljeni progibi OSB/3 ploča      |                      |      |    |
|-------------------------------------|----------------------|------|----|
| <b>Raspon polja</b>                 | <b>L</b>             | 1,25 | m  |
| <b>Početno nadvišenje</b>           | <b>w<sub>c</sub></b> | 0    | mm |
| <b>Granični početni progib</b>      | <b>L/300</b>         | 4,17 | mm |
| <b>Granični neto konačni progib</b> | <b>L/250</b>         | 5,00 | mm |

Tablica 103: Provjera GSU početnih i konačnih OSB/3 ploča

| Provjera GSU - kriterij početnih progiba  |                      |             |      |
|---|----------------------|-------------|------|
| <b>Proračunsko vertikalno opterećenje</b> | $\max q_{y,inst}$    | 1,26        | kN/m |
| <b>Moment savijanja</b>                   | $M_{y,inst}$         | 0,16        | kNm  |
| <b>Vertikalni početni progib</b>          | $w_{y,inst}$         | 3,03        | mm   |
| <b>Provjera početnih progiba</b>          | $w_{y,inst}/(L/300)$ | <b>0,73</b> | < 1  |
| Provjera GSU - kriterij konačnih progiba  |                      |             |      |
| <b>Proračunsko vertikalno opterećenje</b> | $\max q_{y,fin}$     | 1,61        | kN/m |
| <b>Moment savijanja</b>                   | $M_{y,fin}$          | 0,20        | kNm  |
| <b>Vertikalni konačni progib</b>          | $w_{y,fin}$          | 3,88        | mm   |
| <b>Provjera konačnih progiba</b>          | $w_{y,fin}/(L/250)$  | <b>0,78</b> | < 1  |

OSB/3 ploče debljine 22 mm zadovoljavaju provjeru graničnog stanja uporabljivosti.

## PRILOG 4 – PRORAČUN ARMIRANOBETONSKOG OKVIRA

Proračun prema normi HRN EN HRN EN 1992-1-1:2013 [6].

Tablica 104: Čvrstoće betona C20/25 i armature B500B

| <b>Karakteristike betona C20/25 i armature B500B</b> |           |           |                    |                   |
|--|-----------|-----------|--------------------|-------------------|
| <b>Beton</b>   | C20/25    | $f_{c,k}$ | 20                 | N/mm <sup>2</sup> |
| <b>Armatura</b>                                      | B500B     | $f_{y,k}$ | 500                | N/mm <sup>2</sup> |
| <b>Koeficijenti korišteni u proračunu</b>            |           |           |                    |                   |
| <b>Koeficijent sigurnosti za beton</b>               |           |           | $\gamma_c$         | 1,5               |
| <b>Koeficijent sigurnosti čelika za armiranje</b>    |           |           | $\gamma_s$         | 1,15              |
| <b>Proračunske čvrstoće</b>                          |           |           |                    |                   |
| <b>Proračunska čvrstoća betona</b>                   | $f_{c,d}$ | 1,33      | kN/cm <sup>2</sup> |                   |
| <b>Proračunska čvrstoća čelika</b>                   | $f_{y,d}$ | 43,48     | kN/cm <sup>2</sup> |                   |

Tablica 105: Zaštitni sloj betona

| <b>Zaštitni sloj betona</b>   |     |               |     |    |
|-------------------------------|-----|---------------|-----|----|
| <b>Najmanji zaštitni sloj</b> |     | $c_{min}$     | 1,0 | cm |
| Razred izloženosti            | XC3 | $c_{min,dur}$ | 2,5 | cm |
| Razred konstrukcije           | S4  |               |     |    |
| <b>Zaštitni sloj betona</b>   |     | $c_{nom}$     | 3,5 | cm |
| <b>Statička visina grede</b>  |     | d             | 26  | cm |

Tablica 106: Dimenzije poprečnog presjeka grede i stupa

| <b>Dimenzije poprečnog presjeka armiranobetonske grede</b>  |   |    |    |
|---|---|----|----|
| <b>Širina presjeka</b>                                      | b | 30 | cm |
| <b>Visina presjeka</b>                                      | h | 30 | cm |
| <b>Dimenzije poprečnog presjeka armiranobetonskog stupa</b> |   |    |    |
| <b>Širina presjeka</b>                                      | b | 30 | cm |
| <b>Visina presjeka</b>                                      | h | 30 | cm |

Tablica 107: Dimenzioniranje betonskog presjeka grede

| Dimenzioniranje betonskog presjeka grede                    |                 |                     |                      |
|---|-----------------|---------------------|----------------------|
| <b>Proračunski moment savijanja</b>                         |                 | M <sub>Ed</sub>     | 12,5 kNm             |
| <b>Bezdimenzionalni moment savijanja</b>                    | $\mu_{Eds}$     | 0,046               | $\xi$ 0,049          |
|   |                 |                     | $\zeta$ 0,979        |
| <b>Potrebna površina armature</b>                           |                 | A <sub>s1</sub>     | 1,13 cm <sup>2</sup> |
| <b>Minimalna armatura</b>                                   |                 | A <sub>s1,min</sub> | 1,01 cm <sup>2</sup> |
| <b>Odabire se:</b>  | A <sub>s1</sub> | 2 x $\phi 10$       | 1,57 cm <sup>2</sup> |
| Odabrana armatura vrijedi u polju i iznad oslonca           |                 |                     |                      |
| Ukupna uzdužna armatura u betonskom presjeku: 4 x $\phi 10$ |                 |                     |                      |

Napomena: moment u polju i iznad oslonca je približno isti, stoga je greda proračunata na onaj nepovoljniji

Tablica 108: Dimenzioniranje betonskog presjeka grede na poprečne sile

| Dimenzioniranje na poprečne sile  |                     |       |                 |
|---|---------------------|-------|-----------------|
| <b>Proračunska poprečna sila</b>  | V <sub>Ed</sub>     | 12,1  | kN              |
| <b>Kriterij nosivosti tlačnih štapova</b>                                   |                     |       |                 |
| <b>Nagib tlačnih štapova</b>  | $\theta$            | 40    | °               |
| <b>Faktor smanjenja tlačne čvrstoće betona raspucanog od poprečnih sila</b> | v <sub>1</sub>      | 0,552 |                 |
| <b>Nosivost tlačnih štapova</b>   | V <sub>Rd,max</sub> | 254,1 | kN              |
| <b>Provjera nosivosti tlačnih štapova</b>                                   |                     | 0,05  | <1              |
| <b>Proračun potrebne poprečne armature</b>                                  |                     |       |                 |
| <b>Pretpostavljena poprečna armatura</b>                                    | A <sub>sw,1</sub>   | 0,56  | cm <sup>2</sup> |
| <b>Najveći uzdužni razmak</b>   | S <sub>l,max1</sub> | 19,5  | cm              |
|   | S <sub>l,max2</sub> | 41,67 | cm              |
| <b>Minimalna armatura <math>\phi 6/19</math> cm m=2</b>                     |                     |       |                 |
| <b>Potrebna poprečna armatura</b>   | s                   | 56,50 | cm              |
| <b>Usvaja se minimalna poprečna armatura po cijeloj gredi</b>               |                     |       |                 |

Tablica 109: Proračun vitkosti stupa

| Proračun vitkosti stupa   |                 |        |       |
|---|-----------------|--------|-------|
| <b>Duljina stupa</b>  | $l_{col}$       | 1,2    | m     |
| <b>Efektivna duljina izvijanja (konzola)</b>                                      | $l_0$           | 2,40   | m     |
| <b>Minimalan polumjer tromostti</b>   | $i_{min}$       | 8,67   | cm    |
| <b>Vitkost stupa</b>  | $\lambda$       | 27,68  |       |
| Granična vitkost stupa  |                 |        |       |
| <b>Pojednostavljene vrijednosti koeficijenata za granične proračun vitkosti</b>   | A               | 0,7    |       |
|   | B               | 1,1    |       |
|   | C               | 0,7    |       |
| <b>Uzdužna sila u stupu</b>   | $N_{Ed}$        | 43,52  | kN    |
|   |                 | n      | 0,036 |
| <b>Granična vitkost stupa</b>   | $\lambda_{lim}$ | 56,606 |       |
| $\lambda < \lambda_{lim}$ - nije potrebno uzeti u obzir utjecaje teorije II. reda |                 |        |       |

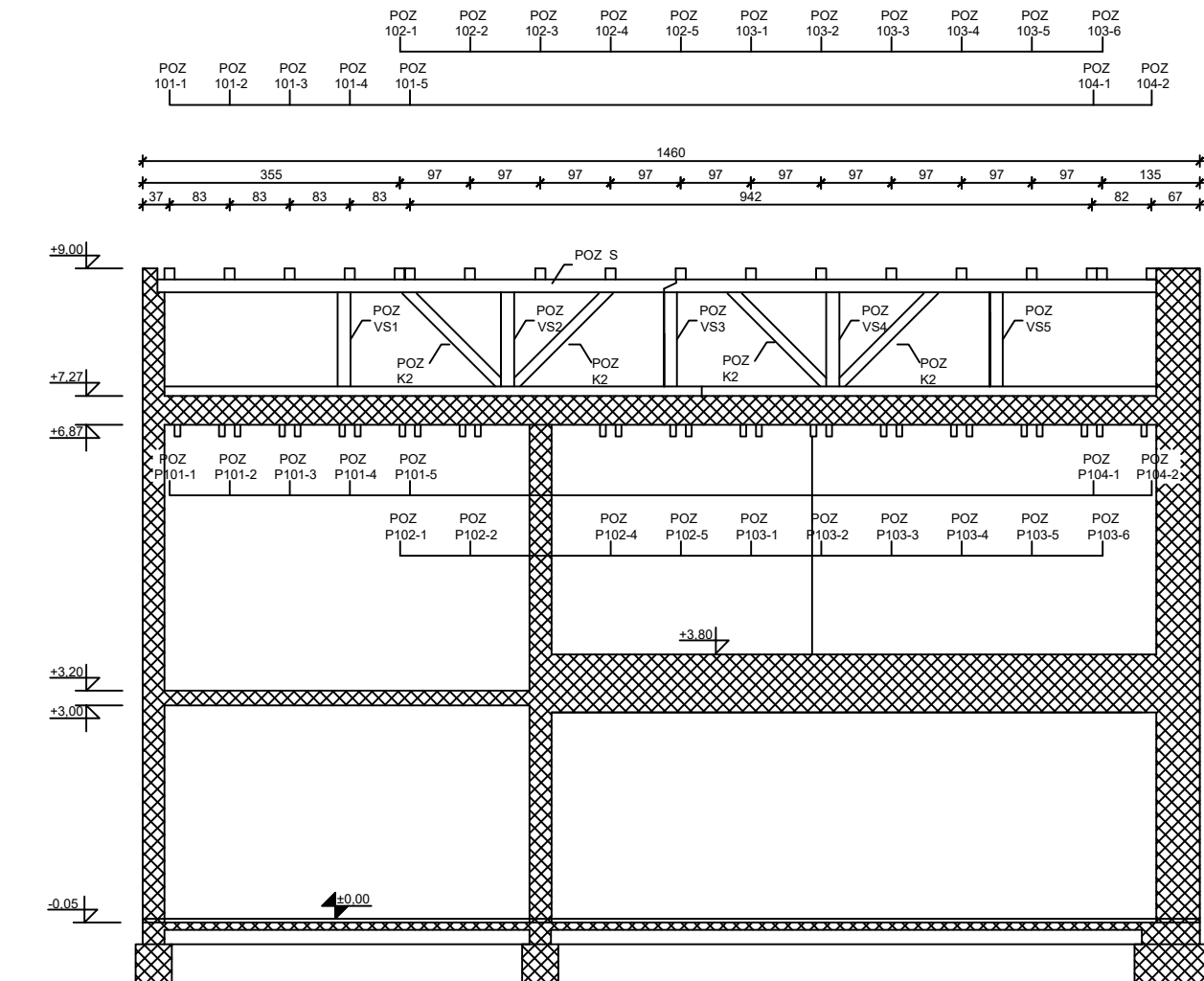
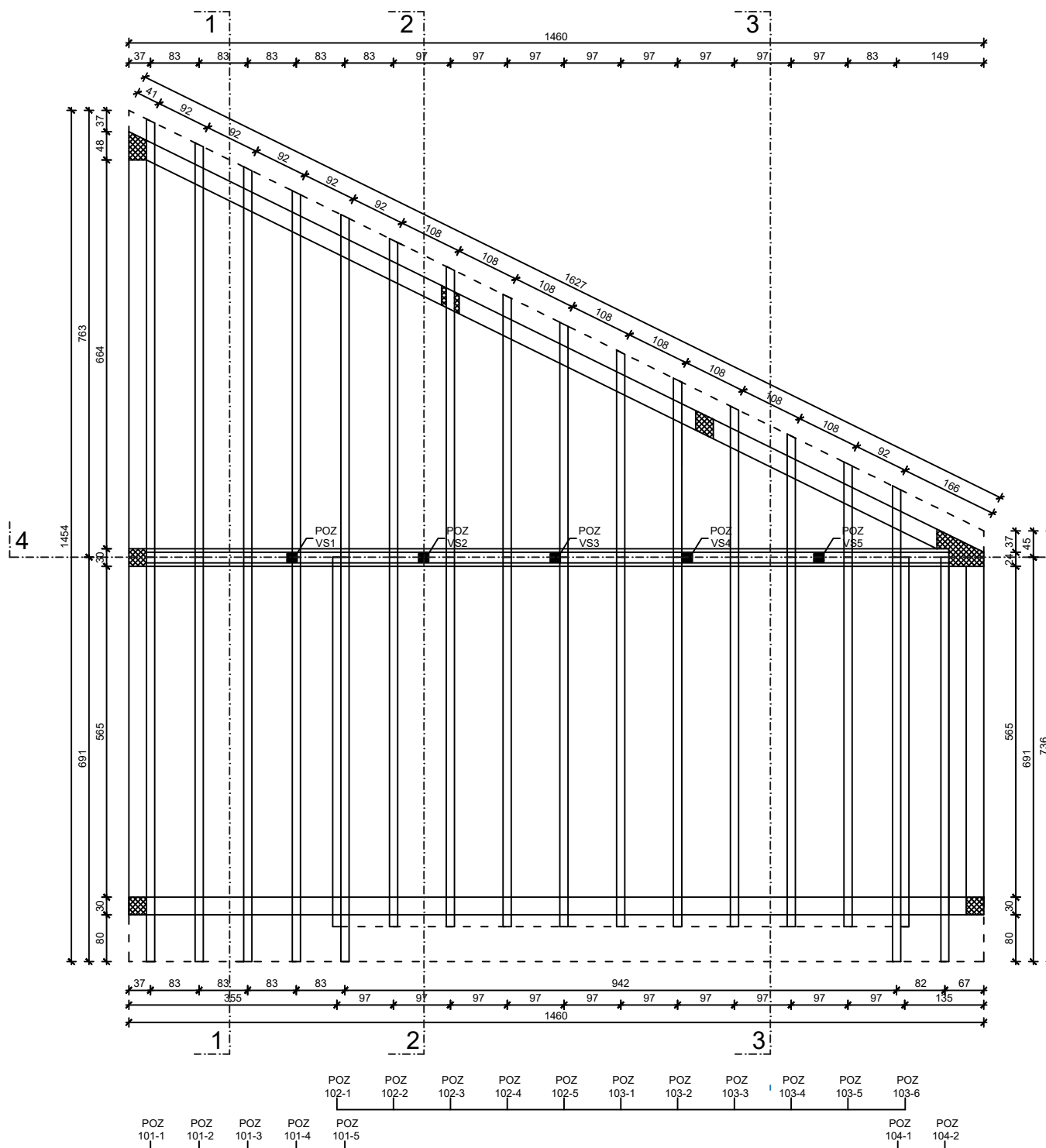
Tablica 110: Dimenzioniranje armiranobetonskog stupa

| Dimenzioniranje armiranobetonskog stupa  |              |        |          |
|--|--------------|--------|----------|
| <b>Uzdužna tlačna sila u stupu</b>   | $N_{Ed}$     | 43,52  | kN       |
| <b>Moment savijanja na dnu stupa</b>   | $M_{Ed}$     | 54,24  | kNm      |
| <b>Bezdimenzionalne vrijednosti momenta i</b>  | $\mu_{Eds}$  | 0,151  |          |
|  | $v_{Ed}$     | -0,036 | $\omega$ |
| $\beta = 1 - A_{s1} = A_{s2}$  |              |        |          |
| <b>Potrebna uzdužna armatura stupa</b>   | $A_{s1}$     | 4,968  | $cm^2$   |
| <b>Minimalna armatura</b>  | $A_{s1,min}$ | 4,52   | $cm^2$   |
| <b>Odabire se uzdužna armatura: <math>A_{s1} = A_{s2} = 4 \times \phi 14 A_{s1} = 6,16 cm</math></b> |              |        |          |
| Proračun poprečne armature spona:  |              |        |          |
| <b>Minimalni promjer armature</b>  | $\phi$       | 6      | mm       |
| <b>Razmaci poprečne armature</b>   | s            | 14     | mm       |
| <b>Razmak pri dnu i vrhu stupa</b>   | $s^*$        | 8      | mm       |
| <b>Odabrana poprečna armatura stupa:</b>   |              |        |          |
| Armatura $\phi 6/14 cm m=2$  |              |        |          |
| Armatura $\phi 6/8 cm m=2$ na duljini od 40 cm od dna i vrha stupa                                   |              |        |          |

## **PRILOG 5 - NACRTI**

## TLOCRTNA DISPOZICIJA

## UZDUŽNA DISPOZICIJA - PRESJEK 4-4



G

GRAĐEVINSKI FAKULTET SVUČILIŠTA U RIJECI

DIPLOMSKI RAD

DRŽAJ NACRTA:

## Projekt drvenog krovišta obiteljske stambene zgrade s analizama postojeće konstrukcije i zamjenskih varijanti

## Vispozicija i uzdužni presjek 4-4 početnog stanja

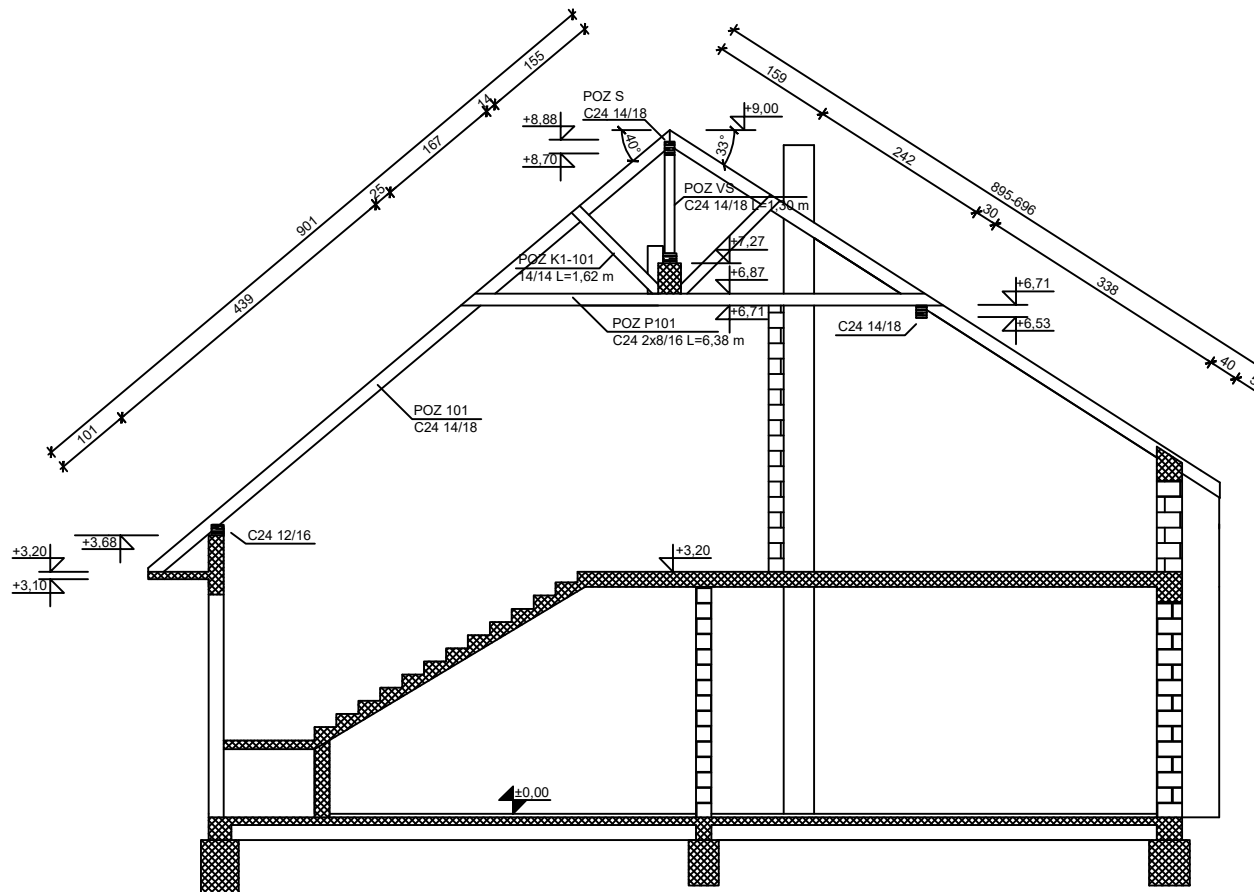
**STUDENT:**

OLEGIJ:

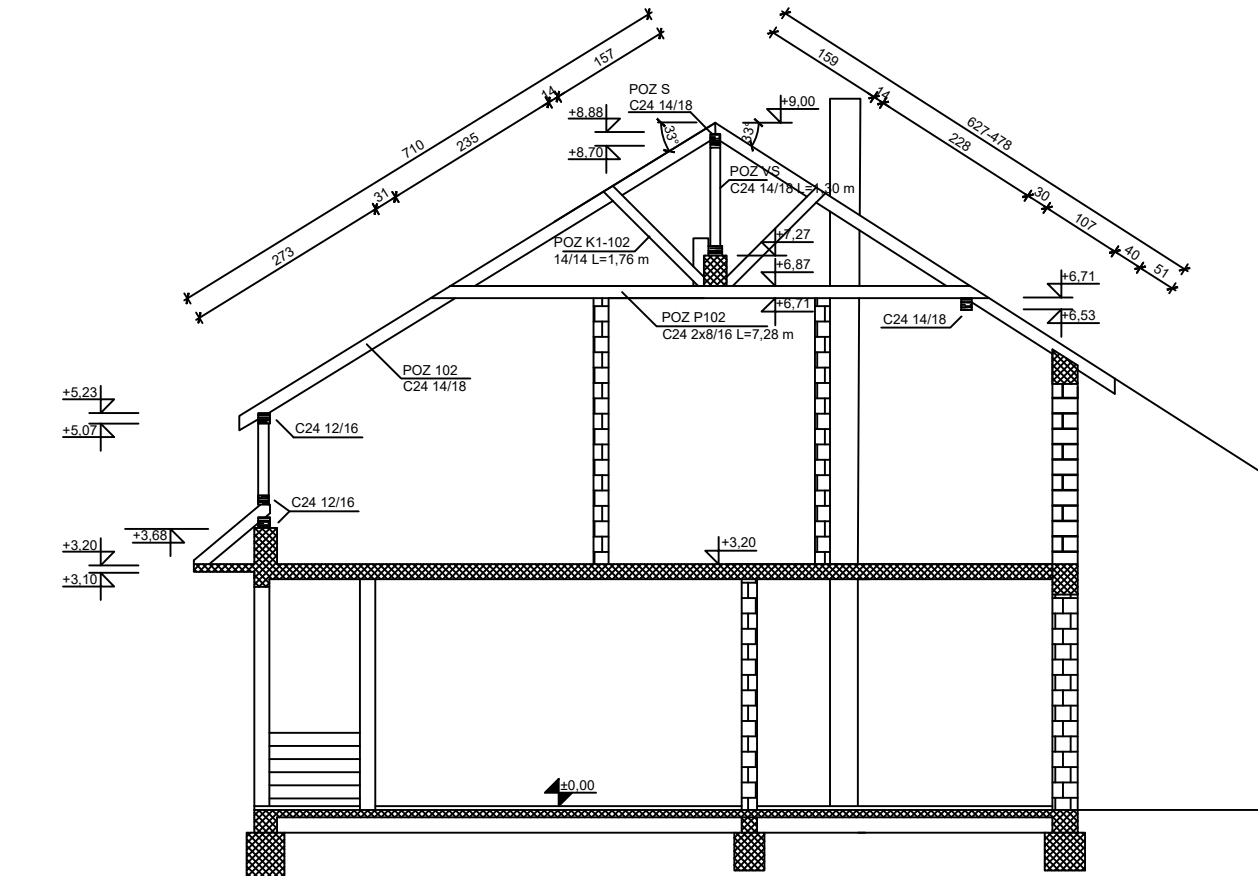
## Robert Kocijan

## Drvene konstrukcije

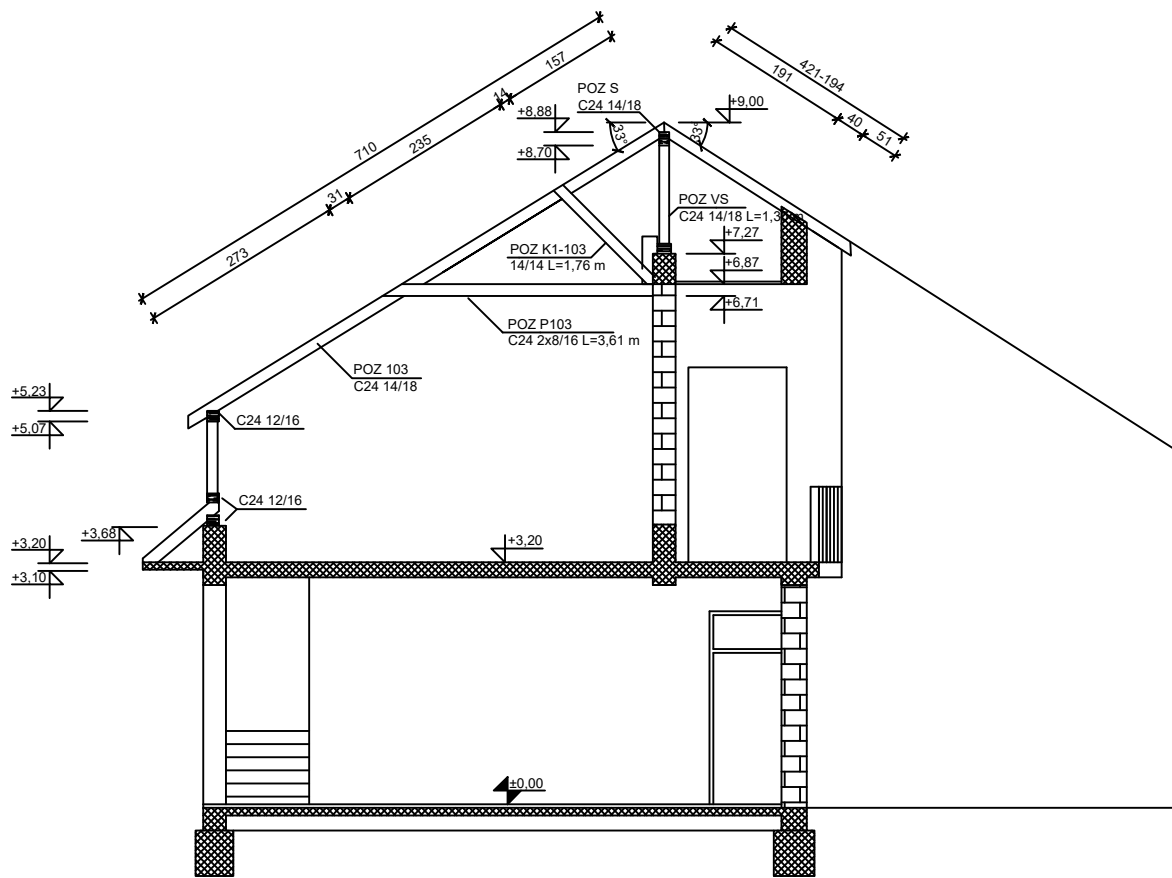
KARAKTERISTIČNI PRESJEK 1-1



KARAKTERISTIČNI PRESJEK 2-2

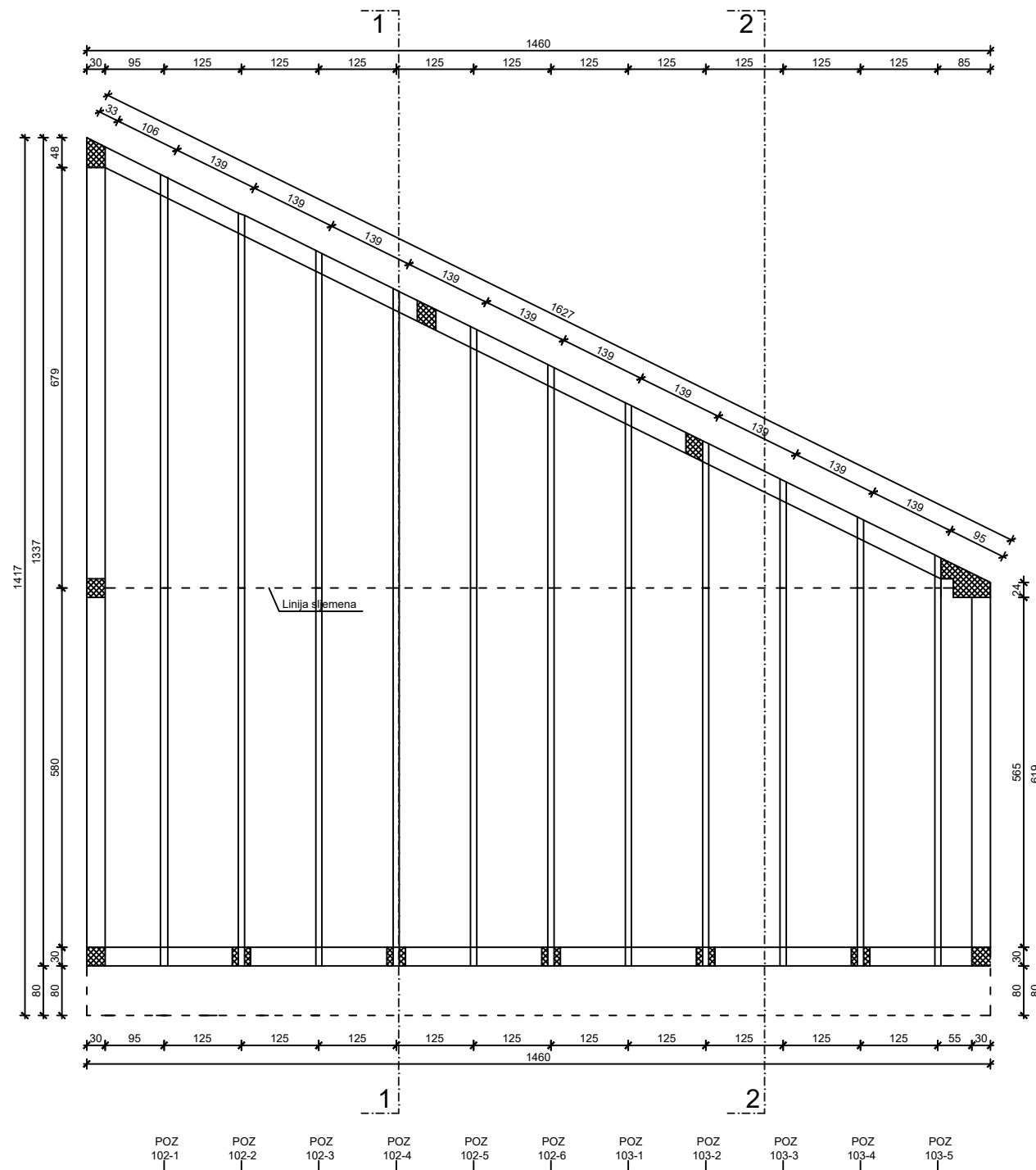


KARAKTERISTIČNI PRESJEK 3-3

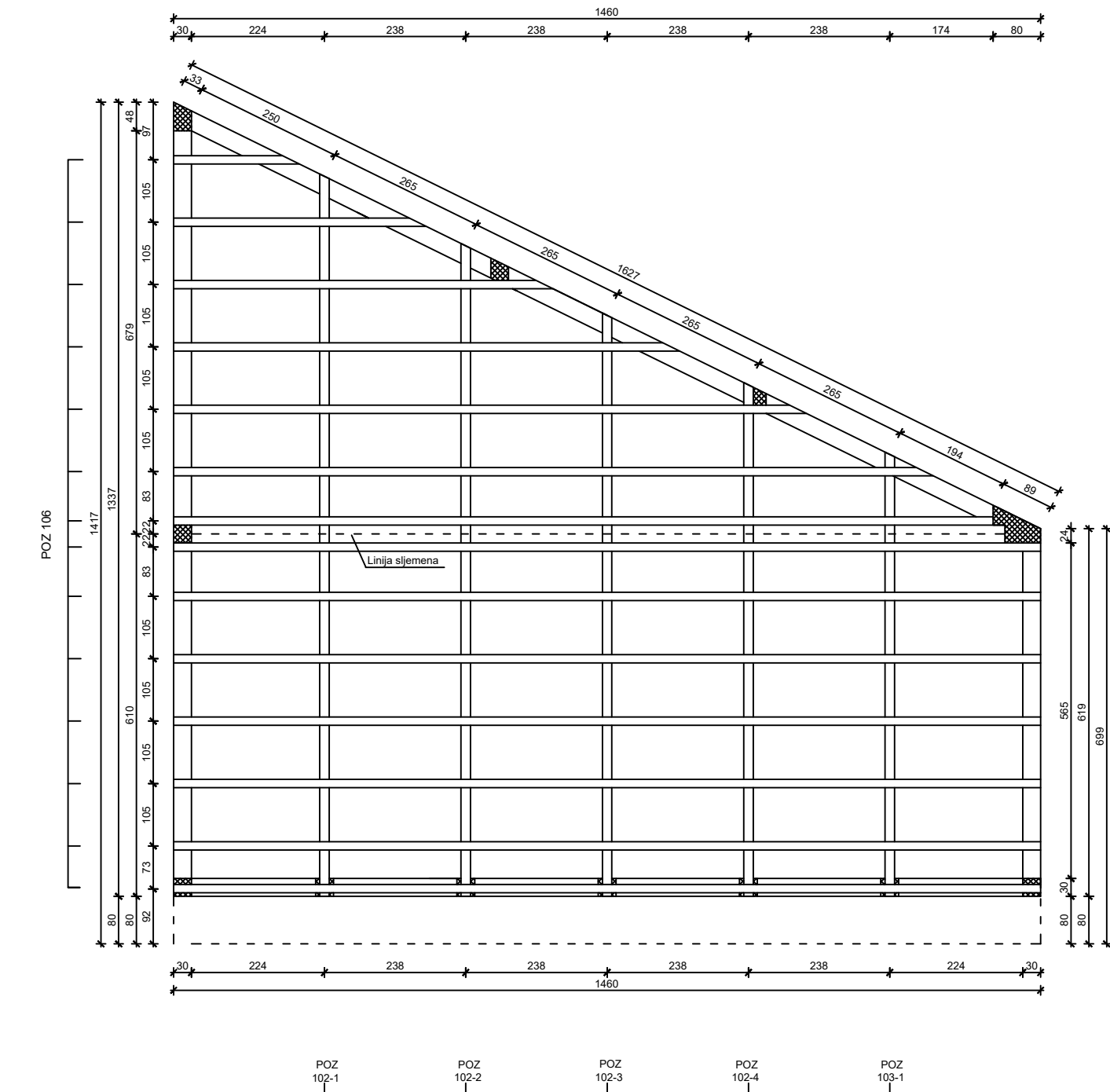


|   |  |       |
|---|--|-------|
| <b>GF</b>   | GRAĐEVINSKI FAKULTET SVUČILIŠTA U RIJECI   |       |
| DIPLOMSKI RAD:  | SADRŽAJ NACRTA:                            |       |
| Projekt drvenog krovišta obiteljske stambene zgrade s analizama postojeće konstrukcije i zamjenskih varijanti | Karakteristični presjeci - početnog stanja |       |
| STUDENT:  | KOLEGIJ:                                   |       |
| Robert Kocijan  | Drvene konstrukcije                        |       |
| MENTOR:   | DATUM:                                     |       |
| Izv.prof. dr. sc. Adriana Bjelanović  | MJERILO:                                   |       |
|   | 25.02.2020.                                | LIST: |
|   | M 1:100                                    | 2     |

## TLOCRTNA DISPOZICIJA MODELA: A, B1, B2 I C1



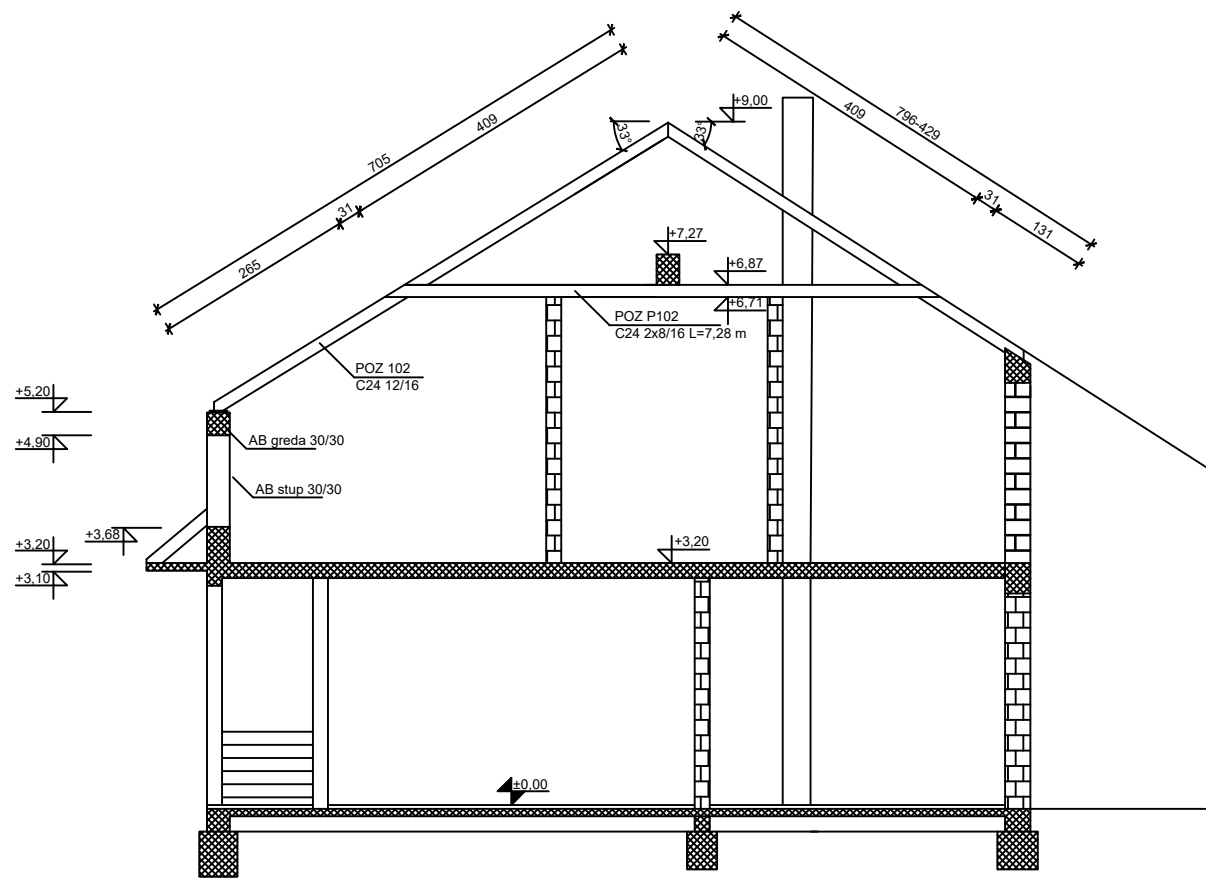
## TLOCRTNA DISPOZICIJA MODELA C2



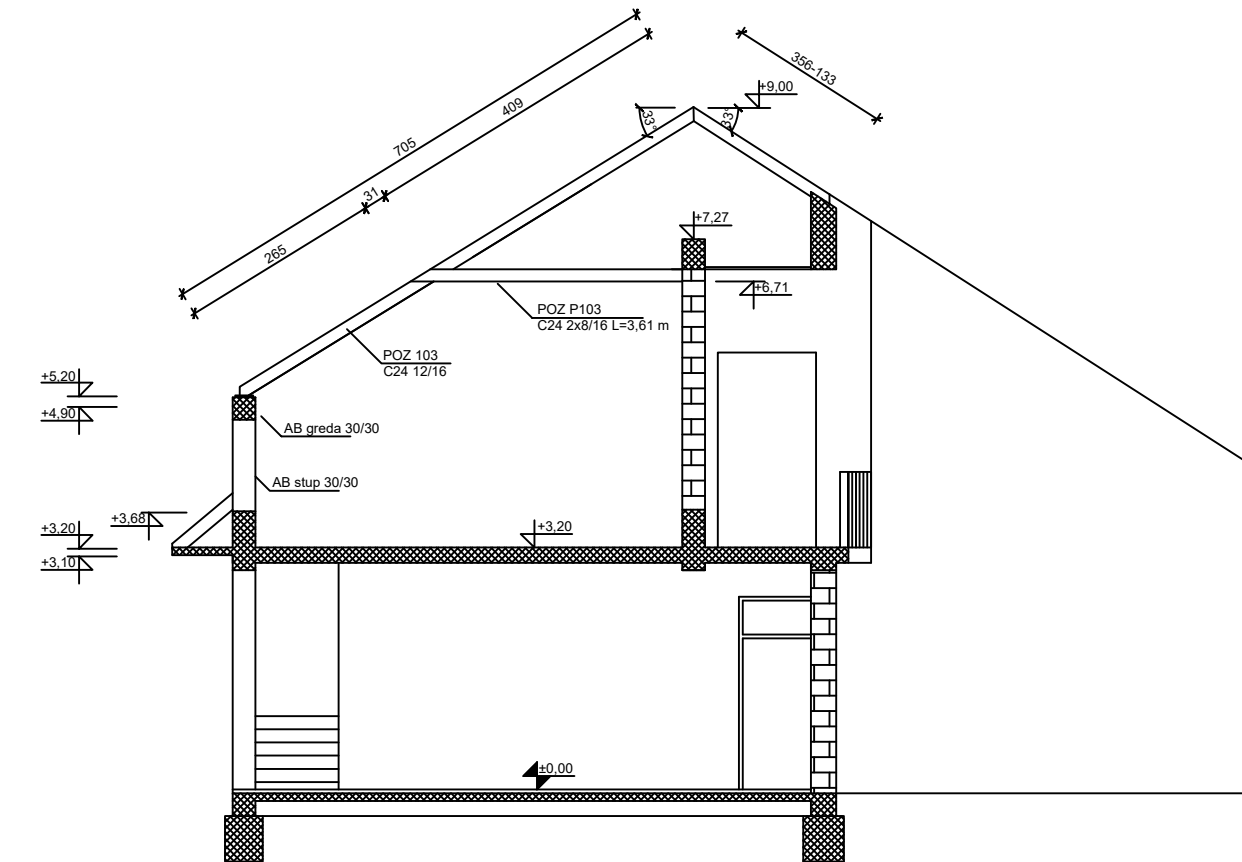
GRAĐEVINSKI FAKULTET SVUČILIŠTA U RIJECI

|   |   |                     |            |
|---|---|---------------------|------------|
| DIPLOMSKI RAD:  | SADRŽAJ NACRTA:                                     |                     |            |
| Projekt drvenog krovišta obiteljske stambene zgrade s analizama postojeće konstrukcije i zamjenskih varijanti | Tlocrtna dispozicija<br>Modela: A1, B1, B2, C1 i C2 |                     |            |
| STUDENT:<br>Robert Kocijan  | KOLEGIJ:<br>Drvene konstrukcije                     |                     |            |
| MENTOR:<br>Izv.prof. dr. sc. Adriana Bjelanović   | DATUM:<br>25.02.2020.                               | MJERILO:<br>M 1:100 | LIST:<br>3 |

KARAKTERISTIČNI PRESJEK 1-1



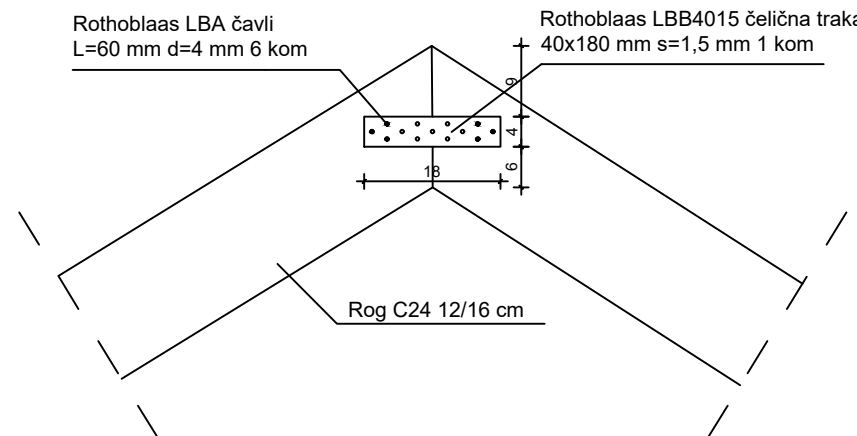
KARAKTERISTIČNI PRESJEK 2-2



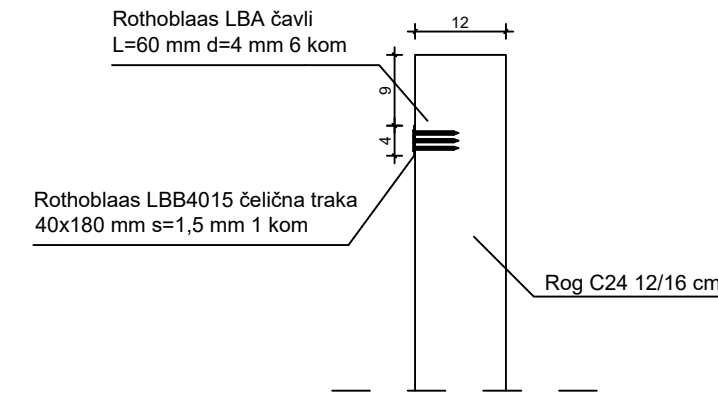
|                |   |  |
|----------------|---|--|
| <b>GF</b>      | GRAĐEVINSKI FAKULTET SVUČILIŠTA U RIJECI  |  |
| DIPLOMSKI RAD: | Projekt drvenog krovišta obiteljske stambene zgrade s analizama postojeće konstrukcije i zamjenskih varijanti | SADRŽAJ NACRTA:<br>Karakteristični presjeci - Model C1 |
| STUDENT:       | Robert Kocijan  | KOLEGIJ:<br>Drvene konstrukcije                        |
| MENTOR:        | Izv.prof. dr. sc. Adriana Bjelanović  | DATUM: 25.02.2020. MJERILO: M 1:100 LIST: 4            |

# DETALJ SPOJA ROGOVA U SLJEMNU

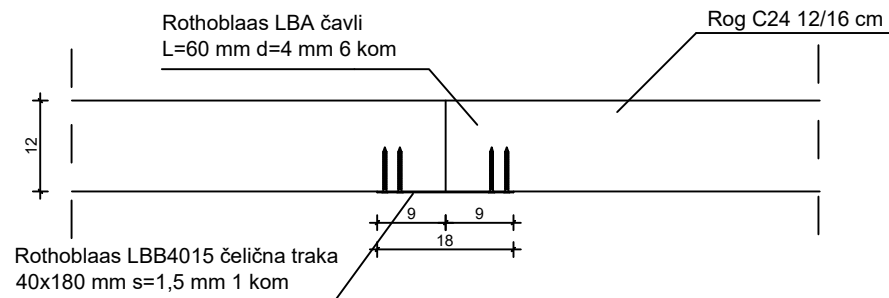
NACRT



BOČNI POGLED



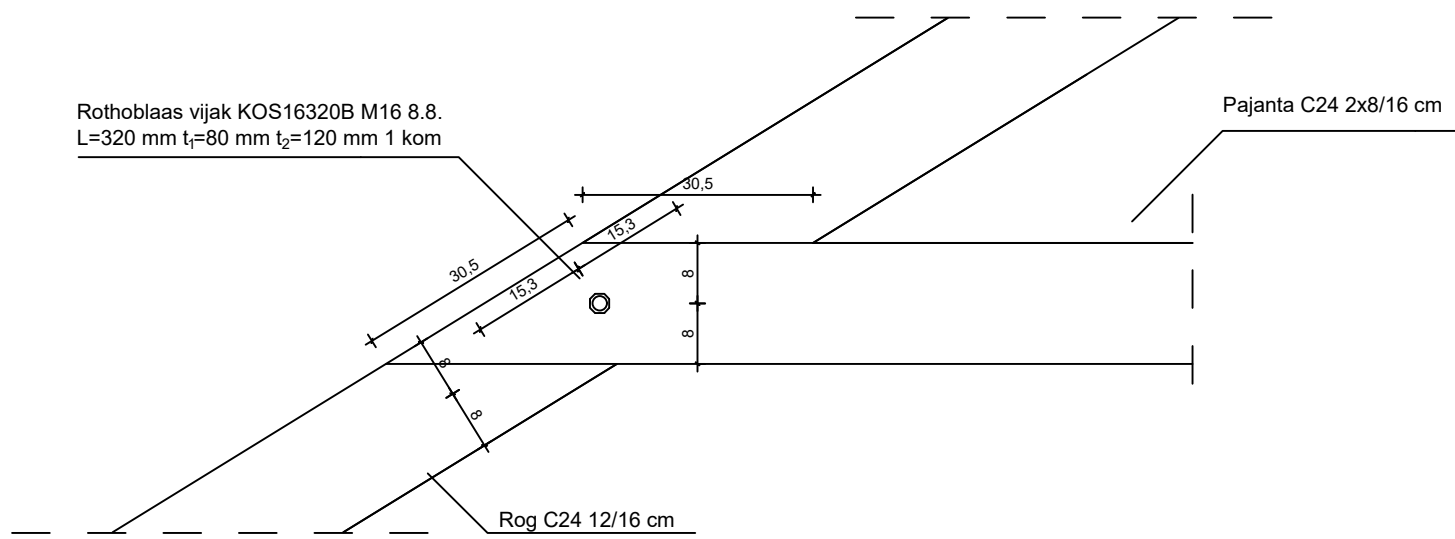
TLOCRT



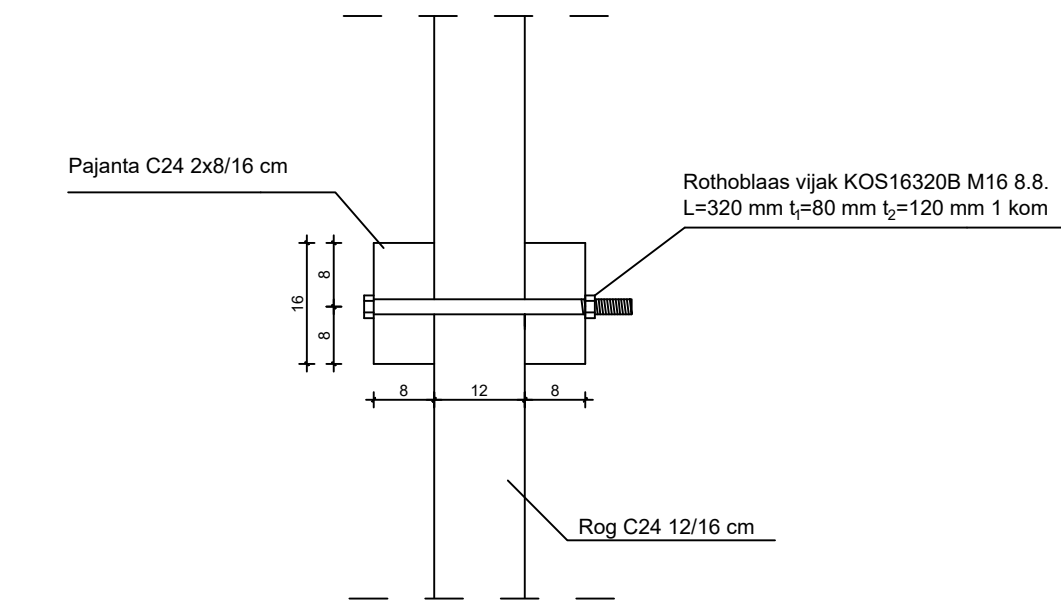
|   |  |            |
|---|--|------------|
| <b>GF</b>   | GRAĐEVINSKI FAKULTET SVUČILIŠTA U RIJECI |            |
| DIPLOMSKI RAD:  | SADRŽAJ NACRTA:                          |            |
| Projekt drvenog krovista obiteljske stambene zgrade s analizama postojeće konstrukcije i zamjenskih varijanti | Detalj spoja rogova u sljemenu           |            |
| STUDENT:  | KOLEGIJ:                                 |            |
| Robert Kocijan  | Drvene konstrukcije                      |            |
| MENTOR:   | DATUM:                                   | MJERILO:   |
| Izv.prof. dr. sc. Adriana Bjelanović  | 25.02.2020.                              | M 1:10     |
|   |  | LIST:<br>5 |

# DETALJ SPOJA ROGOVA U SLJEMNU

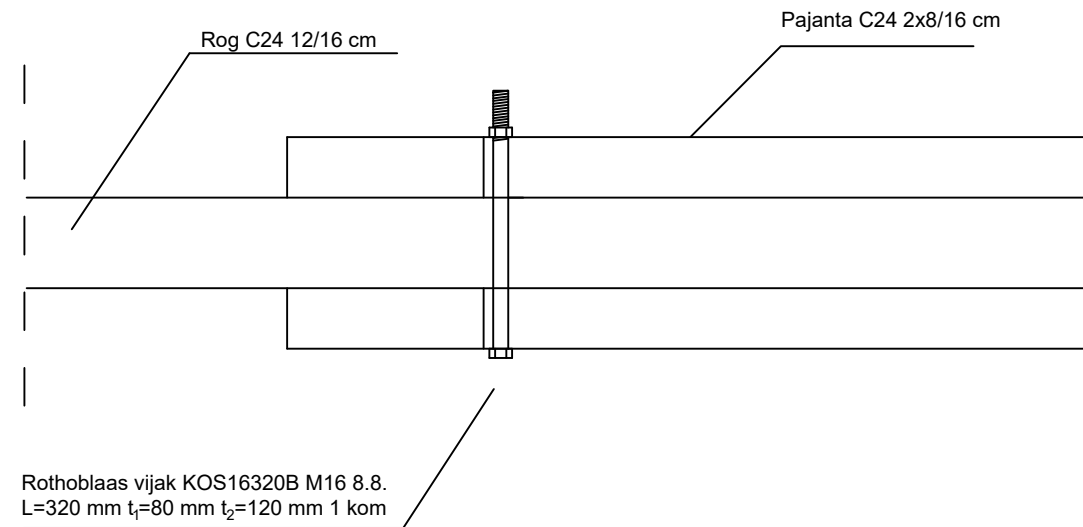
NACRT



BOČNI POGLED



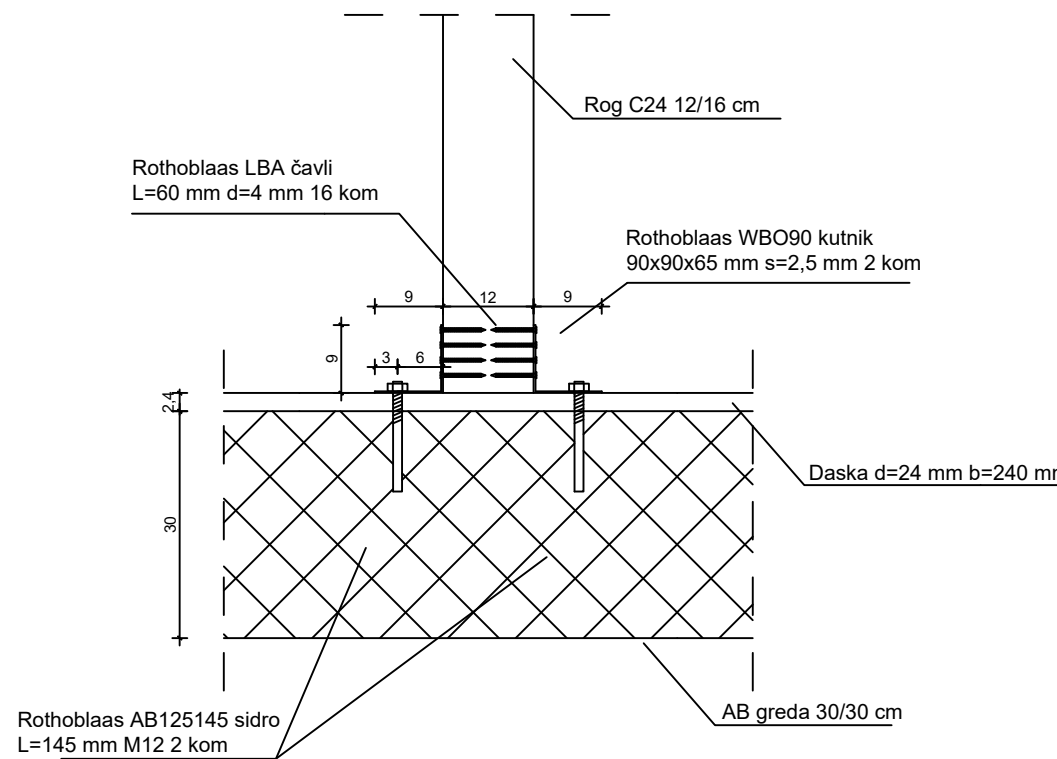
TLOCRT



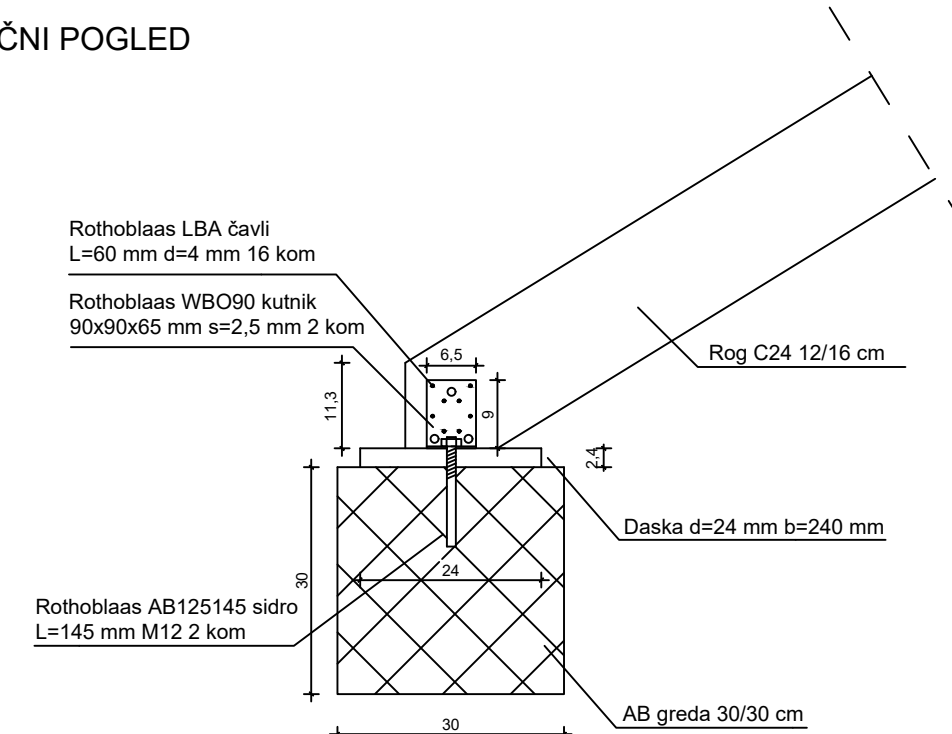
|   |  |          |
|---|--|----------|
| <b>GF</b>   | GRAĐEVINSKI FAKULTET SVUČILIŠTA U RIJECI |          |
| DIPLOMSKI RAD:  | SADRŽAJ NACRTA:                          |          |
| Projekt drvenog krovista obiteljske stambene zgrade s analizama postojeće konstrukcije i zamjenskih varijanti | Detalj spoja rogova i pajante            |          |
| STUDENT:  | KOLEGIJ:                                 |          |
| Robert Kocjan   | Drvene konstrukcije                      |          |
| MENTOR:   | DATUM:                                   | MJERILO: |
| Izv.prof. dr. sc. Adriana Bjelanović  | 25.02.2020.                              | M 1:10   |
|   | LIST:                                    | 6        |

# DETALJ SPOJA ROGOVA I AB GREDE

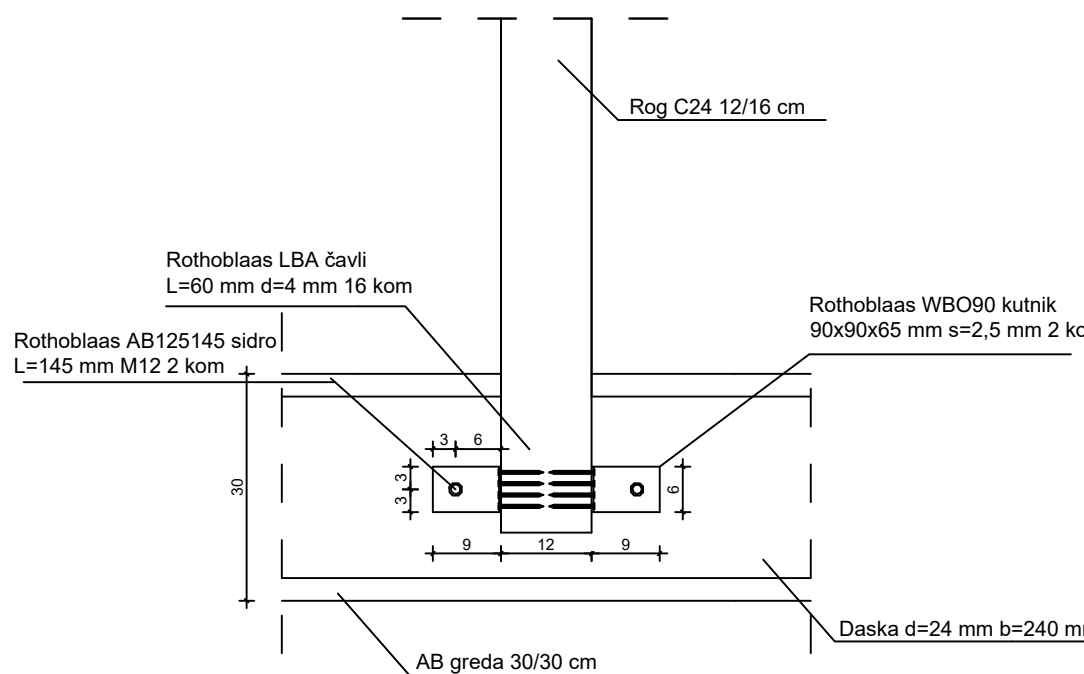
NACRT



BOČNI POGLED



TLOCRT



|   |  |            |
|---|--|------------|
| <b>GF</b>   | GRAĐEVINSKI FAKULTET SVUČILIŠTA U RIJECI |            |
| DIPLOMSKI RAD:  | SADRŽAJ NACRTA:                          |            |
| Projekt drvenog krovista obiteljske stambene zgrade s analizama postojeće konstrukcije i zamjenskih varijanti | Detalj spoja rogova i AB grede           |            |
| STUDENT:  | KOLEGIJ:                                 |            |
| Robert Kocijan  | Drvene konstrukcije                      |            |
| MENTOR:   | DATUM:                                   | MJERILO:   |
| Izv.prof. dr. sc. Adriana Bjelanović  | 25.02.2020.                              | M 1:10     |
|   |  | LIST:<br>7 |